



UNIVERSIDADE FEDERAL DE PERNAMBUCO
CENTRO DE TECNOLOGIA
DEPARTAMENTO DE ENGENHARIA ELETRÔNICA E SISTEMAS

DECODIFICAÇÃO PROBABILÍSTICA
DE
CÓDIGOS LINEARES
POR

RICARDO MENEZES CAMPELLO DE SOUZA

Depart.º de Eng.º Eletrônica e Sistemas
Centro de Tecnologia
Cidade Universitária
50.000 Recife - PE

TESE DE MESTRADO

DECODIFICAÇÃO PROBABILÍSTICA
DE

CÓDIGOS LINEARES

por

Ricardo Menezes Campello de Souza

DEPARTAMENTO DE FÍSICA
UNIVERSIDADE FEDERAL DE PERNAMBUCO
Cidade Universitária - Tel. 227.0871
RECIFE - BRASIL

- 1979 -

UNIVERSIDADE FEDERAL DE PERNAMBUCO

DEPARTAMENTO DE FÍSICA

DECODIFICAÇÃO PROBABILÍSTICA

DE

CÓDIGOS LINEARES

Ricardo Menezes Campello de Souza

Tese apresentada ao Departamento
de Física da Universidade Federal
de Pernambuco como parte dos pre-
requisitos para a obtenção do tí-
tulo de Mestre em Ciências.

Prof. VALDEMAR C. ROCHA J r .

Orientador

AGRADECIMENTOS

Gostaria de expressar meus agradecimentos à CAPES e ao Departamento de Física pelo apoio financeiro concedido durante a elaboração deste trabalho- Ao professor Orlando R. Baiocchi, que tornou possível a realização de meu curso de Mestrado. Ao professor Clylton G. Fernandes pelo auxílio prestado em computação. A senhorita Rosa Maria Alves pela dedicação com que datilografou os originais manuscritos e, em especial, ao professor Valdemar Rocha Jr. por sua constante orientação, incentivo e amizade.

RESUMO

Nos últimos anos tem havido uma crescente interesse na decodificação probabilística de códigos lineares, isto é, na utilização de sistemas para detecção e correção de erros que usam decisão suave. O que se pretende, é evitar a degradação em desempenho que resulta quando se empregam detectores de apenas duas regiões de quantização antes da decodificação, em comparação com os procedimentos ótimos de detecção.

Neste trabalho é feita uma descrição geral da decodificação probabilística de códigos de bloco lineares. Nos três primeiros capítulos são apresentados os conceitos básicos relativos a este tipo de código. No capítulo 4 introduzimos a noção de decisão suave e analisamos o desempenho de alguns algoritmos de decodificação subótimos. Um algoritmo ótimo é então apresentado e seu desempenho é obtido através de simulação em computador. No capítulo 5, os resultados obtidos por simulação são analisados, em comparação com procedimentos que não empregam decisão suave, e algumas sugestões para futuras investigações são feitas.

ABSTRACT

In the last few years there has been a growing interest in the probabilistic decoding of linear codes, i.e., in the utilization of error detecting and correcting systems that use soft decision. The intention is to avoid the degradation in performance that results when hard decision quantisation precedes decoding, in comparison with optimum detection procedures.

This work presents a general description of probabilistic decoding for linear block codes. In the first three chapters the basic concepts of such codes are presented. In chapter 4 we introduce the idea of soft decision and analyse the performance of some suboptimum decoding algorithms. An optimum algorithm is then discussed in detail and its performance is obtained by computer simulation. In chapter 5 the computer simulated results are analysed, compared with procedures that do not use soft decision, and suggestions for future research are made.

I N D I C E

	PAGINA
CAPITULO I - ALGUNS ASPECTOS DA TEORIA MATEMÁTICA DA COMUNICAÇÃO	1
1.1 - Sistemas de Comunicação Digitais	2
1.2 - Canais Discretos sem Memória	9
1.3 - Códigos Corretores de Erros	12
1.4 - Tipos de Códigos	19
1.5 - Aplicações	21
1.5.1 - Transmissão de Dados	22
1.5.2 - Enlaces de HF	22
1.5.3 - Comunicação Via Satélite	23
CAPITULO II ~ CÓDIGOS LINEARES	24
2.1 - Códigos de Bloco	24
2.2 - Formulação Matricial	26
2.3 - Capacidade de Correção	29
2.4 - Códigos de Bloco Simples	32
2.4.1 - Códigos de Repetição	32
2.4.2 - Códigos de um único Dígito de Paridade	33
2.4.3 - Códigos de Matriz	34
2.5 - Códigos Cíclicos	35
2.5.1 - Descrição Geral	36
2.5.2 - Detecção e Correção de Erros	39

	PÁGINA
CAPÍTULO I I I - DECODIFICAÇÃO DE CÓDIGOS LINEARES	43
3.1 — Decodificação por Semelhança Máxima	43
3.2 - O Arranjo Padrão	44
3.3 - Decodificação por Busca Sistemática	50
3.4 - O Código de Hamming	51
CAPÍTULO IV - DECODIFICAÇÃO PROBABILÍSTICA	55
4.1 - Decisão Suave	57
4.2 - Detecção por Zona Nula	63
4.2.1 - Sistemas sem Codificação	66
4.2.2 - Sistemas Codificados	74
4.3 - Procedimentos Subótimos	75
4.4 - Níveis de Quantização Ótimos	79
4.4.1 - Sistemas sem Codificação	84
4.4.2 - Sistemas Codificados	90
4.5 - O Algoritmo de Hartmann e Rudolph	95
CAPÍTULO V - CONCLUSÕES	113
5.1 - Análise dos Resultados	113
5.2 - Comentários	114

	PAGINA
APÊNDICE A - ÁLGEBRA BÁSICA	116
A.1 - Grupos	116
A.2 - Campos	120
A.3 - Espaços Vetoriais	122
APÊNDICE B - PROGRAMA DE COMPUTADOR	128
REFERÊNCIAS	132

ÍNDICE DE FIGURAS

<u>FIGURAS</u>		<u>PAGINA</u>
Fig. 1.1	Diagrama de blocos* de um sistema de comunicação	2
Fig-. 1.2	Diagrama de blocos de um sistema de comunicação digital	4
Fig. 1.3	Formas de onda presentes no diagrama da figura 1.2 (transmissor)	5
Fig. 1.4	Formas de onda presentes no diagrama da figura 1.2 (receptor)	6
Fig. 1.5	Função expoente de erro	8
Fig. 1.6	Canal discreto sem memória	10
Fig. 1.7	Canal binário simétrico	11
Fig. 1.8	Sistema de comunicação digital com codificação de canal	17
Fig. 1.9	Codificador de bloco	19
Fig. 1.10	Codificador convolucional	20
Fig. 2.1	Distância mínima de um código de bloco linear	31
Fig. 2.2	Código de Matriz	34
Fig. 4.1	Operação de um detetor binário	55
Fig. 4.2	Sistema de comunicação com decisão suave	57
Fig. 4.3	Demodulador de decisão suave	59
Fig. 4.4	Deteção por zona nula - Regiões de quantização	63

FIGURAS

Fig.* '4.5	Deteção por zona nula - Probabilidades de transição	64
Fig. 4.6	Probabilidade de erro em um receptor binário	67
Fig. 4.7	Probabilidade de erro em função da relação sinal/ruído para deteção binaria em presença de ruído Gaussiano	69
Fig. 4.8	Deteção por zona nula - Probabilidade de erro	70
Fig. 4.9	Algoritmo de Harrison - Regiões de quantização	76
Fig. 4.10	Algoritmo de Harrison - Curvas de desempenho	78
Fig. 4.11	Curvas de desempenho do algoritmo de Farrell e Kalligeros	80
Fig. 4.12	Deteção por zona-nula - Cálculo do valor ótimo de J	81
Fig. 4.13	Densidade de probabilidade de um pulso de amplitude $A/2$, em presença de ruído Gaussiano	85
Fig. 4.14	Taxa de informação como função da relação sinal/ruído	87
Fig. 4.15	Valor ótimo da região nula em função da relação sinal/ruído	88
Fig. 4.16	Equivocação em função de J em um sistema de deteção por zona nula	89
Fig. 4.17	Deteção por zona nula - Sistemas Codificados	94

LISTA DE SÍMBOLOS E ABREVIACÕES

a	- "Byte" de confiabilidade
A	- Amplitude de um pulso binário
AN	- Sequencia de entrada em um canal discreto sem memoria
ARQ	- Automatic repeat request
BCH	- Bose - Chaudhuri - Hocquenghem
BSC	- Binary symmetric channel
c	- Numero de dígitos de paridade de uma código de bloco
C	- Capacidade, de canal
$C(n,k,d)$	- Código de bloco de parâmetros n,k e d
$C(x)$	- Polinômio resto
$\sum_{t=1}^{n-t} I$	
CCITT	- Comitê Consultatif International Télégraphique et Téléphonique
d	- Distância mínima de um código de bloco
d_s	- Distância suave
$d(u,v)$	- Distância de Hamming entre as n -uplas u e v
DMC	- Discrete memoryless channel
e	- Vetor erro
$e(x)$	- Polinômio erro
$erf(x)$	- Função erro
$erfc(x)$	- Função erro complementar
E	- Eficiência

$E(R)$	- Função expoente de erro
$g(x)$	- Polinómio gerador de um código cíclico
$[G]$	- Matriz geradora de um código linear
$GF(q)$	- Campo de Galois de q elementos
$[H]$	- Matriz de teste de paridade de um código linear
I^K	- Matriz identidade de ordem K
j	- Amplitude da zona nula de deteção
k	- Numero de dígitos de informação em um código de bloco
m	- Bloco de mensagem
$m(x)$	- Polinómio mensagem
n	- Comprimento de um código de bloco
N	- Valor normalizado da amplitude da zona nula
p_0	- Probabilidade de que um dígito binário transmitido seja recebido erradamente
P_{av}	- Potência disponível
P_e	- Probabilidade de erro no canal
P_c	- Probabilidade de erro na saída do decodificador
PCM	- Pulse Code Modulation
q_0	- Probabilidade de que um dígito binário transmitido seja recebido corretamente:
Q	- Número de níveis de quantização
rem	- Resto de uma divisão
(r)	- Palavra recebida
$r(x)$	- Polinómio recebido
R	- Taxa de informação
R^*	- Região nula de deteção
$[s)$	- Síndrome

SNR	- Relação sinal/ruído
a	- Desvio padrão
t	- Capacidade de correção de um código de bloco
t	- Capacidade de correção suave de um código de bloco
TDM	- Time division multiplexing
Cu)	- Palavra código
u(x)	- Polinómio código
V _n	- Espaço vetorial das n-uplas
	- Nulo
	- Maior inteiro < X
CX)	- Matriz X
CX) ^T	- Transposta de [X]
to(v)	- Peso da n-upla v
->fp->	- OU-exclusivo de duas entradas

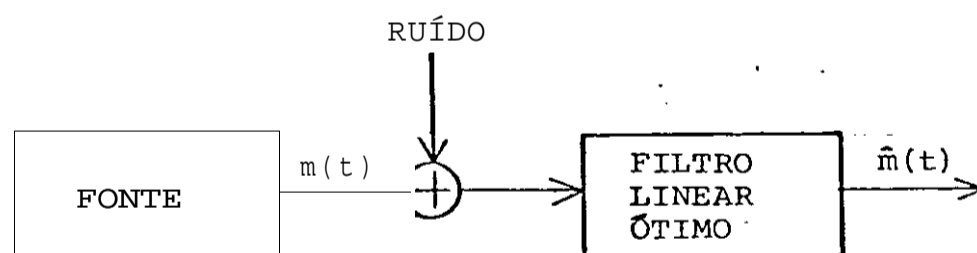
CAPITULO I

ALGUNS ASPECTOS DA TEORIA MATEMÁTICA DA COMUNICAÇÃO

A teoria da Comunicação deu seus primeiros passos em 1924 quando Nyquist mostrou que a taxa de transmissão de pulsos em um canal de banda limitada é proporcional à largura de faixa do canal. A partir daí, com exceção de alguns poucos trabalhos, as contribuições mais importantes surgiram com

(21

Norbert Wiener e Claude Shannon nos anos 40. Wiener em 1942, conseguiu resolver o problema da filtragem linear ótima, isto é, determinou o filtro linear cuja saída $\hat{m}(t)$ é a melhor estimativa para $m(t)$, no sentido de minimizar o erro médio quadrático. O diagrama seguinte mostra a configuração analisada por Wiener,.



Shannon, seis anos mais tarde, mostrou que sob certas condições, as limitações em desempenho impostas pelo ruído podiam ser superadas. Desde então, a teoria da comunicação teve um grande desenvolvimento, chegando ao estado avançado em que se encontra hoje. Neste capítulo faremos uma descrição geral dos problemas que afetam o desempenho dos sistemas de co

municacão e introduziremos o conceito de codificacão de canal, bem como os principais tipos de códigos e algumas de suas aplicacões.

1.1 SISTEMAS DE COMUNICACÃO DIGITAIS

A teoria da comunicacão trata dos sistemas destinados à transmissão de informacão. O diagrama de blocos da figura 1.1 representa, de uma maneira geral, um sistema desse tipo.

RUÍDO

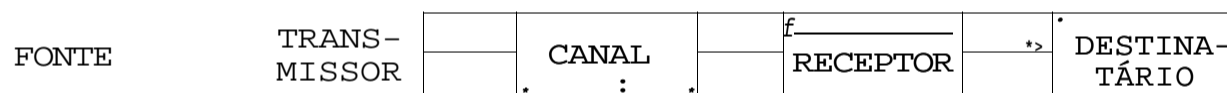


FIG.1.1 - DIAGRAMA DE BLOCOS DE UM SISTEMA DE COMUNICACÃO

A fonte de informacão pode ser, por exemplo, a voz humana, ou um computador que gera dados binários, ou ainda um míssil em um sistema de deteção por radar. O bloco transmissor representa, na verdade, o conjunto de dispositivos e/ou circuitos destinados a produçãõ de um sinal elétrico correspondente a mensagem da fonte de informacão, adequado para transmissãõ sobre o canal. Em um sistema telefônico, esta operacão consistiria basicamente em se ter sinais elétricos proporcionais às ondas de

pressão produzidas pela voz humana. Em um sistema de múltipla xagem por divisão de tempo [TDM] que utiliza modulação por código de pulso [CPCM] cada sinal elétrico associado a uma dada mensagem deve ser sucessivamente amostrado, comprimido, quantizado e codificado; em seguida o conjunto de mensagens é agrupado adequadamente de modo a construir o sinal PCM/TDM (4)

O canal é o meio físico usado para se enviar o sinal do transmissor ao receptor. Ele pode ser, por exemplo., um par de fios, um cabo coaxial, ou mesmo o espaço livre, como é o caso de um enlace de radio frequência. Durante a transmissão através do canal, o sinal sofre diversas perturbações (desvanecimento seletivo, ruído, distorção, etc) de modo que a forma de onda que alcança o receptor não é a mesma enviada pelo transmissor. Sendo assim, o bloco receptor representa o conjunto de dispositivos e/ou circuitos destinados a processar o sinal recebido de modo a entregar ao destinatário uma réplica da mensagem gerada pela fonte de informação.

Nos últimos anos tem havido um rápido crescimento na utilização de sistemas de comunicação digitais, isto é, sistemas onde a mensagem já está em forma digital ou é convertida para este formato, como no caso dos sistemas PCM/TDM. Um diagrama de blocos típico, representativo de um sistema de comunicação digital está mostrado na figura 1.2.

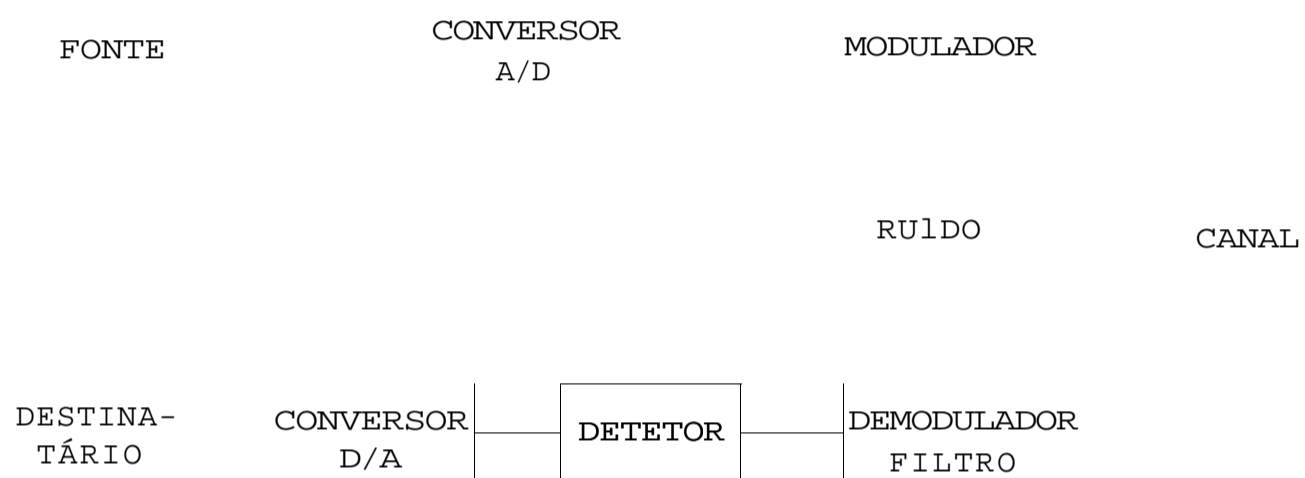


FIG. 1.2—DIAGRAMA DE BLOCOS DE UM SISTEMA DE COMUNICAÇÃO DIGI -
TAL.

Para compreendermos melhor os problemas pertinentes a um sistema desse tipo, passemos a analisar detidamente as formas de onda presentes em alguns estágios do diagrama de blocos da figura 1.2- Consideremos que a saída do conversor analógico/digital, isto é, a forma digital da mensagem $f(t)$ é a que está mostrada na figura 1.3a. Os bits de informação ocorrem a cada intervalo de R segundos de modo que R representa a taxa de transmissão, em bits por segundo. Durante a filtragem do sinal, seja por necessidade ou pela própria resposta em frequência do canal, a energia de cada pulso tende a se espalhar, de modo¹ que pulsos adjacentes tendem a se superpor. Isto provoca o que

é denominado interferência entre símbolos (FIG.1.3b), a qual deve ser

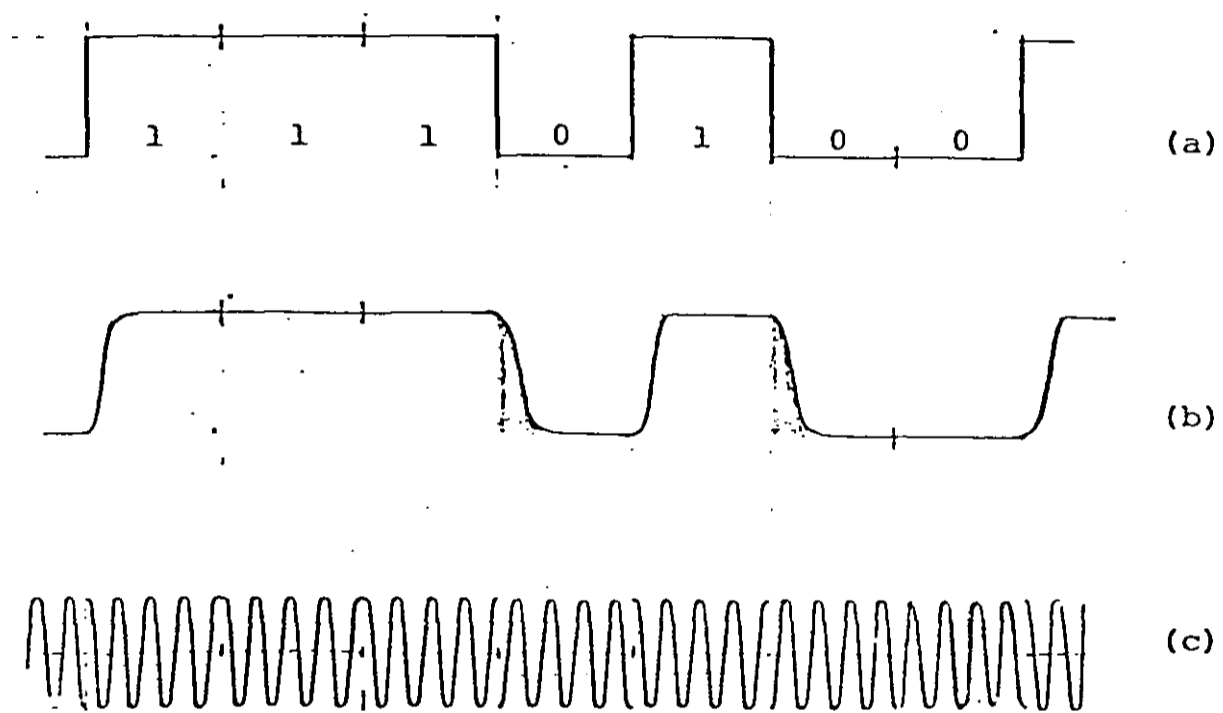


FIG-1-3-FORMAS DE ONDA PRESENTES NO DIAGRAMA DA FIG.1.2 (TRANSMISOR) .

mantida a um nível mínimo, de modo a evitar interpretações errôneas dos bits na recepção, Na figura 1.3c está representada a forma de onda que teria o sinal se o mesmo sofresse uma modulação de fase, antes de ser transmitido^^. Dependendo da natureza do meio transmissor esta operação (modulação) pode se tornar fundamental para o desempenho do sistema, como é o caso de um enlace de HF, onde os sinais são enviados através de antenas para o espaço livre.

Durante sua passagem pelo canal o sinal¹ sofre perturbações de diversos tipos. O termo ruído representa, em um sentido amplo, qualquer sinal presente no canal que não seja o desejado. Na maioria dos casos sua ocorrência é um fenômeno do tipo aleatório, como mostra a figura 1.4a. Se o mesmo soma-se a mensagem, então a saída do bloco demodulador¹ é como a da figura 1.4b e o ruído é dito aditivo. Uma maneira de recuperar a informação na sua forma digital original, seria amostrar o sinal recebido como se vê na figura 1.4b. O sinal recuperado está na figura 1.4c.

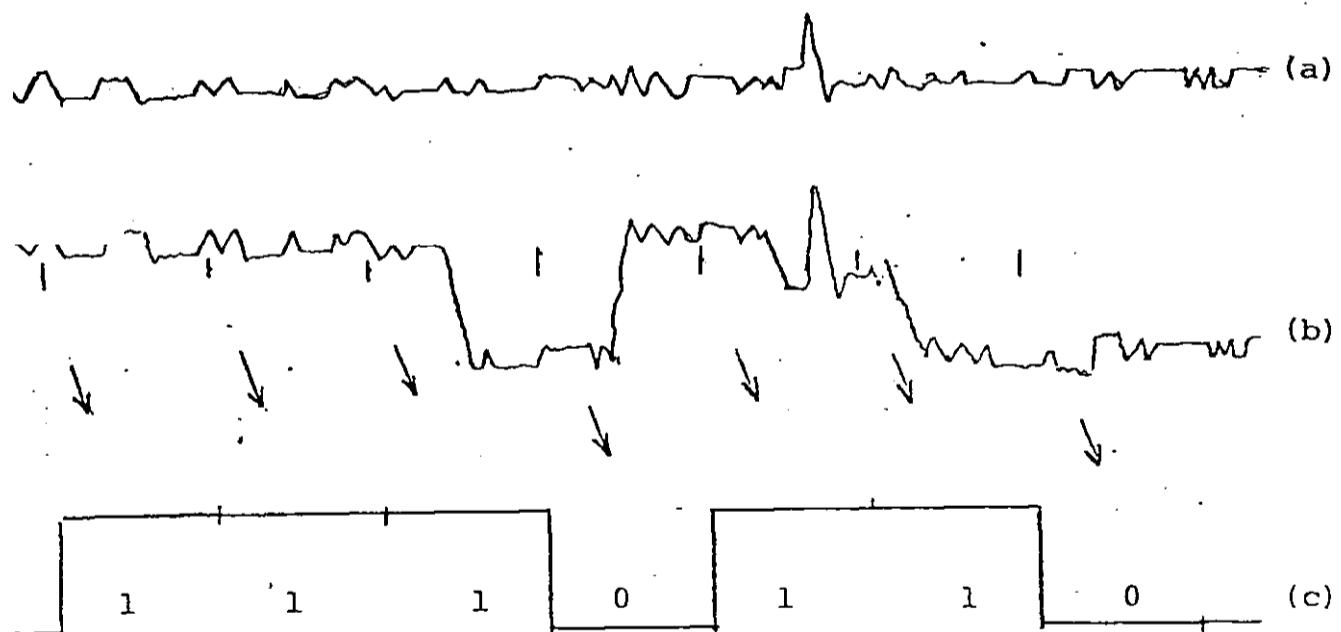


FIG-1.4-FORMAS DE ONDA PRESENTES NO DIAGRAMA DA FIG.1.2 (RECEPTOR).

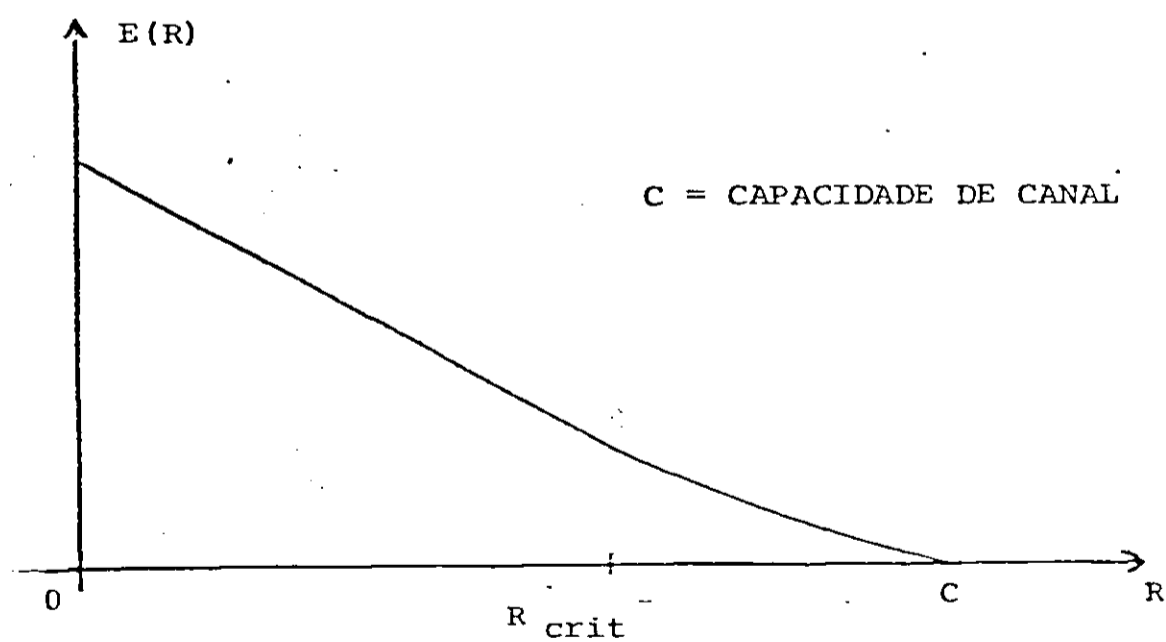
Para que a decisão sobre a ocorrência de um pulso seja confiável é preciso que a relação sinal/ruído no detector permaneça acima de um certo nível. Por outro lado, devido a limitação existente na relação sinal/ruído (a potência do transmissor não pode ser arbitrariamente grande) é uma tarefa bastante difícil eliminar completamente a ocorrência de erros no sistema, de modo que estes sempre tenderão a ocorrer, em maior ou menor quantidade. Na figura, observe que o sexto dígito detectado não está correto.

O objetivo de qualquer sistema de comunicação é transmitir "informação de um ponto a outro, de maneira eficiente, simples e barata. O compromisso inerente a esta afirmação é obvio de modo que é preciso definir-se um critério para que se possa afirmar--que um dado sistema é ótimo. Considerando apenas o aspecto da eficiência, a questão que surge naturalmente é se, para um dado canal de comunicação, é possível transmitir informação com uma ocorrência de erros tão baixa quanto se queira. Esta é uma questão fundamental, uma vez que se a resposta for negativa, não haverá sentido em se tentar construir sistemas mais complexos. Apresentada de forma mais precisa, o que se quer saber exatamente é: Sendo fixadas a potência disponível (P_{av} , em watts) e a taxa de transmissão (R , em bits/seg), é possível, para um dado canal, reduzir a taxa de erros a um valor arbitrariamente pequeno? A resposta a esta pergunta foi dada por Claude Shannon, em 1948, em um trabalho que representa um marco no estudo das Comunicações^{^^}. Shannon desenvolveu uma teoria matemática da comunicação, depois chamada Teoria da Informação, destinada a lidar com os aspectos

mais fundamentais dos sistemas de comunicação. As características principais desta teoria são (1) a abordagem estatística da transmissão da informação (os fenômenos que afetam o desempenho de um sistema de comunicação são essencialmente desta natureza) e (2) um grande destaque ao problema da existência de técnicas de codificação capazes de reduzir a probabilidade de erros na recepção. Entre outros resultados, Shannon mostrou que, para mensagens de duração T segundos, enviadas através de um canal binário simétrico gaussiano, a probabilidade de erro está limitada superiormente através de

$$P_e < e^{-E} \quad (1.1)$$

onde $E(R)$, uma função chamada expoente de erro, tem a forma geral mostrada na figura 1.5 e C representa a mais alta taxa de transmissão para a qual $E(R)$ é não negativo.



FJG. 1-5 - FUNÇÃO EXPOENTE DE ERRO

Da expressão vemos que P pode ser feita tão pequena quanto se queira, para um dado K tal que $E(R) > Q$, aumentando a duração T do sinal.

Neste trabalho não trataremos da Teoria da Informação e o leitor particularmente interessado no assunto deve dirigir-se às referências (3), (6), (7) e (8). O que queremos enfatizar todavia, é a existência de resultados como o da expressão (1.1), baseados em uma teoria matemática bem estabelecida, e a possibilidade de se vislumbrar algoritmos, passíveis de implementação prática, para obtenção de tais resultados. Os códigos corretores de erros representam uma tentativa extremamente importante neste sentido e a abordagem proposta neste trabalho representa, em muitos casos, uma melhoria em relação aos resultados obtidos até agora.

1.2 CANAIS DISCRETOS SEM MEMORIA

Para que se possa anteciper o desempenho de um sistema de comunicação e encontrar técnicas que permitam aumentar sua eficiência é de fundamental importância que se tenha informação precisa sobre o canal de transmissão. Sendo assim, é necessário se estabelecer um modelo matemático que simule as características do canal, o que implica na especificação dos seguintes elementos:

- (1) - O conjunto das possíveis entradas do canal.
- (2) - O conjunto das possíveis saídas do canal.

(3) - As probabilidades de transição relacionando os conjuntos acima.

Modelos das mais diversas complexidades existem para diferentes tipos de canais, porem a realidade física nunca é tão simples de modo que possa ser exatamente representada por um modelo matematicamente tratável. Entre os modelos de canais largamente utilizados no estudo das comunicações está o chamado Canal Discreto sem Memória (DMC), o qual será considerado neste trabalho. Para este tipo de canal, as possíveis entradas e saídas pertencem a um alfabeto finito de símbolos e cada par de entrada e saída está estatisticamente relacionado através de uma probabilidade de transição. Consideremos, por exemplo, um canal discreto sem memória cujo alfabeto de entrada A consista dos L inteiros $0, 1, \dots, L-1$ e cujo alfabeto de saída B consista dos M inteiros $0, 1, \dots, M-1$. O canal é então caracterizado por um conjunto de probabilidades de transição $\{P(m|\ell)\}$, $0 < \ell < L$ e $0 < m < M-1$. Por definição, $P(m|\ell)$ significa a probabilidade de se ter, na saída do canal, o inteiro m , dado que o inteiro ℓ é a entrada do canal. Um canal discreto sem memória é representado esquematicamente como mostra a figura 1.6

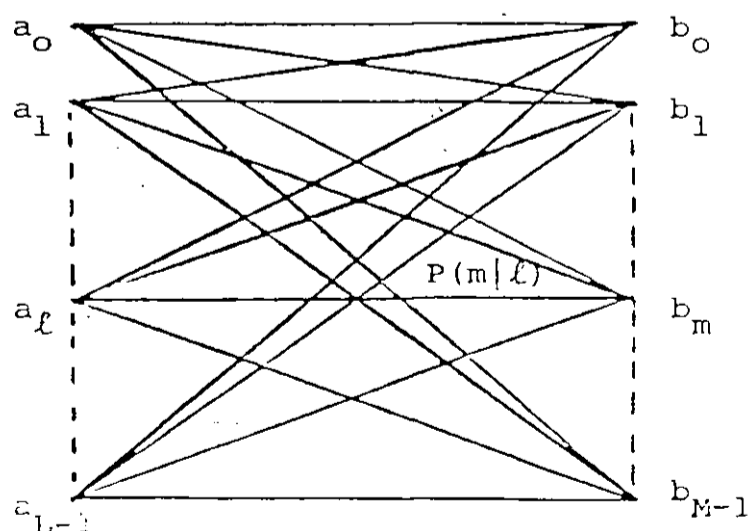


FIG.1.6-
CANAL DISCRETO SEM
MEMÓRIA.

A denominação sem memória significa que as saídas no instante t_0 dependem apenas das entradas naquele instante, sendo independentes de entradas e saídas anteriores. Dito de outra forma, se $\mathbf{A} = (a_0, a_1, \dots, a_{N-1})$ e $\mathbf{B} = (b_0, b_1, \dots, b_{N-1})$ representam, respectivamente, sequências de entrada e saída do canal, então a probabilidade de se ter \mathbf{B} dado \mathbf{A} é dada por

$$P(\mathbf{B} | \mathbf{A}) = \prod_{i=0}^{N-1} P(b_i | a_i) \quad (1.2)$$

Um dos modelos de canais largamente usado na avaliação do desempenho dos sistemas de comunicação e que satisfaz as condições acima, é aquele em que se tem

$$A = B = \{0, 1\} \quad (1.3)$$

Esquemáticamente, este canal, denominado canal binário simétrico (BSC), está representado na figura 1.7.

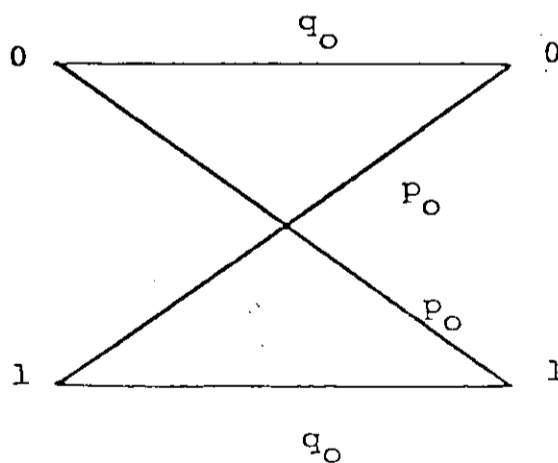


FIG. 1. 7 - CANAL BINÁRIO SIMÉTRICO.

Os números q_0 e p_0 são as probabilidades de recepção respectivamente correta e errônea, em relação ao símbolo transmitido. A probabilidade de se tomar uma decisão errada na recepção depende das propriedades estatísticas do ruído que ocorre na transmissão. Em um canal binário simétrico, se as sequências A_N e B_N diferem em d posições, a probabilidade de erro na recepção será dada por

$$P_e^{-1} = \sum_{n=0}^{N-1} M^n \quad (1-3)$$

$$P_e^{-1} = \sum_{n=0}^{N-d} P_0^n \quad (1-4)$$

onde

$$P_{Cb.}(a_i) = \frac{q_i}{p_0} \text{ se } h_i = a_i \quad (1.5)$$

Como em geral $p < q$, então P cresce monotonicamente com d , de modo que escolher A^* no sentido de maximizar $P(B^*|A^*)$ é equivalente a escolher aquela sequência que difira de B_N no menor número de posições. Se A^* é uma palavra de um dado código, este processo de decodificação é chamado decodificação por semelhança máxima. Esta e outras técnicas de decodificação serão discutidas no Capítulo 3.

1.3 CÓDIGOS CORRETORES DE ERROS.

Desde o surgimento dos trabalhos de Shannon, um grande esforço tem sido feito nas pesquisas dedicadas ao problema de projetar esquemas eficientes que permitam a trans-

missão de informação, de maneira confiável, através de canais de comunicação reais, i.e. canais sujeitos aos problemas de ruído, distorção, interferência entre símbolos, etc. Neste sentido, a codificação de canal representa, até agora, um dos esforços mais bem sucedidos. Por codificação de canal, entende-se a adição controlada de redundância a uma mensagem, no sentido de protegê-la de eventuais distúrbios provenientes do canal. A redundância adicionada permite, em muitos casos, a proteção e mesmo a correção dos erros que ocorreram na mensagem. Códigos que se destinam a realizar tais objetivos são chamados códigos corretores de erros. De um ponto de vista prático, a principal limitação destes tipos de códigos tem sido a complexidade dos circuitos decodificadores, o que tem orientado as pesquisas no assunto para a obtenção de esquemas de fácil implementação. Entretanto alguns fatores tem contribuído de forma significativa para a utilização cada vez maior de códigos corretores de erros em sistemas de comunicação. Entre eles poderíamos citar:

- (1) - O grande desenvolvimento na tecnologia de circuitos integrados digitais, o que tornou possível a implementação de esquemas codificadores/decodificadores que seriam proibitivos há alguns anos atrás.
- (2) - O rápido crescimento de sistemas de comunicação cuja taxa de erros tolerável é muito baixa (computadores-e satélites, p.ex.).
- (3) - O desenvolvimento da própria teoria de códigos com a descoberta de técnicas de codificação e decodificação eficientes como, por exemplo, a decodificação de limiar¹, o algoritmo

mo para decodificar códigos BCH de Berlekamp , a decodifica
(12)

ção sequencial de Wozencraft , o procedimento de Viterbi pa-
ra códigos convolucionais ^^, etc.

(4) - A comprovação, através de, simulação em computador e de
testes em canais reais, de que sistemas que utilizam códigos '
apresentam uma sensível melhoria em desempenho, com uma menor '
probabilidade de erro para uma dada relação sinal/ruído. Valo-
res típicos da redução obtida sobre P. são da ordem de 10^{-4} .

A idéia da utilização de redundância no com-
bate aos efeitos produzidos pelo ruído pode ser entendida de
forma simples através do exemplo dado a seguir. Consideremos o
seguinte texto recebido, em língua portuguesa, correspondente '
a uma mensagem enviada por telegrama:

"VOCE FOI ACEETO PARA O PROGLAMA DE
DOUTORAMELLO DA NOSSO UNEBIRSIDADE
VG QUE SE IMICIA EM 25 DE SETELDRO
PROXIRO."

Percebe-se que os erros existentes na mensagem recebida podem '
ser facilmente detetados e corrigidos, tornando imediata a com-
preensão do texto. Isto se deve à alta redundância presente na
língua portuguesa, no sentido de que muitas combinações de le-
tras simplesmente não ocorrem, tornando possível sua identifi-
cação e conseqüente correção. Surge, porém, uma dúvida em rela-
ção ao número 25. Estaria o mesmo correto? Ou a data original-
mente transmitida foi 15? Ou 24? Claro que não poderia ser 35,
entretanto a dúvida não pode ser prontamente esclarecida, uma

vez que combinações numéricas do tipo acima usam pouca ou nenhuma redundância e assim qualquer número inteiro $1 < M < 30$ poderia/ter ocorrido. Se, em vez de apenas 25 tivéssemos, por exemplo, SEGUNDA-FEIRA 25 DE SETEMBRO, então a redundância acrescentada permitiria a detecção de erros e talvez a correção dos mesmos.

Em um sistema de comunicação digital, as sequências binárias de informação não possuem, por si próprias, nenhuma redundância, de modo que é impossível detectar a presença de erros que possam ter ocorrido durante a transmissão. Para que isto seja conseguido, é necessário acrescentar-se à mensagem bits extras que, embora não conduzindo nenhuma informação nova, permitem a detecção e/ou localização dos erros. Para esclarecer melhor as afirmações acima considere, por exemplo, o seguinte conjunto de mensagens binárias:

```

0 0 0   1 0 0
0 0 1   1 0 1
0 1 0   1 1 0
0 1 1   1 1 1

```

Vê-se que o mesmo não contém redundância desde que estão presentes todas as palavras formadas por três caracteres binários. Se definirmos a eficiência de uma mensagem como sendo a relação entre a informação contida na mesma e a máxima informação possível de ser transmitida e consideramos que as 8 mensagens são igualmente prováveis, então teremos:

$$E = \frac{\log 8}{3 \log_2 2} = 100\% \quad (1-6)$$

e a redundância

$$1 - E = 0\% \quad (1.7)$$

O resultado (1.7) significa que não há nenhuma possibilidade de detecção/correção de erros para as 8 mensagens. De fato, a ocorrência de qualquer configuração de erros sobre alguma palavra, converte-a em outra palavra igualmente válida. Considere agora que um bit extra é adicionado a cada mensagem de acordo com a seguinte regra: Se o número de 1's da palavra é par, então o bit extra é 0 (zero) e em caso contrário é 1; ou seja, o quarto bit é calculado através da soma módulo 2 dos caracteres da palavra. Procedendo assim, formaríamos o seguinte conjunto de mensagens:

0	0	0	0	1	0	0	1
0	0	1	1	1	0	1	0
0	1	0	1	1	1	0	0
0	1	1	0	1	1	1	1

Admitamos que a palavra 0 0 11, tendo sido transmitida, sofreu uma alteração na segunda posição e foi recebida como 0 1 1 1. Recalculando o bit redundante vê-se que o mesmo deveria ser 0 e não 1, de modo que assim detectamos a presença de um erro. Observe que sempre que ocorrer um número par de erros, estes não poderão ser detectados. Por outro lado, a não verificação do bit de paridade acrescentado implica apenas na ocorrência de um número ímpar de erros. O preço pago por esta capacidade de detecção está na diminuição da eficiência, pois agora

$$E = \frac{. \log_2 8}{4 \log_2 2} = 75\% \quad (1-10)$$

$$1 - E = 25\% \quad (1-11)$$

Hã então um compromisso entre eficiência de transmissão e capacidade de controle sobre os erros, cuja solução õtima é função das características particulares de cada problema. O código descrito acima é um código de um bit de paridade (redundância) e pertence à classe dos códigos de bloco lineares, descritos no capítulo 3.

O diagrama de blocos da figura 1.8¹ descreve um sistema de comunicação digital que faz uso da codificação de canal.

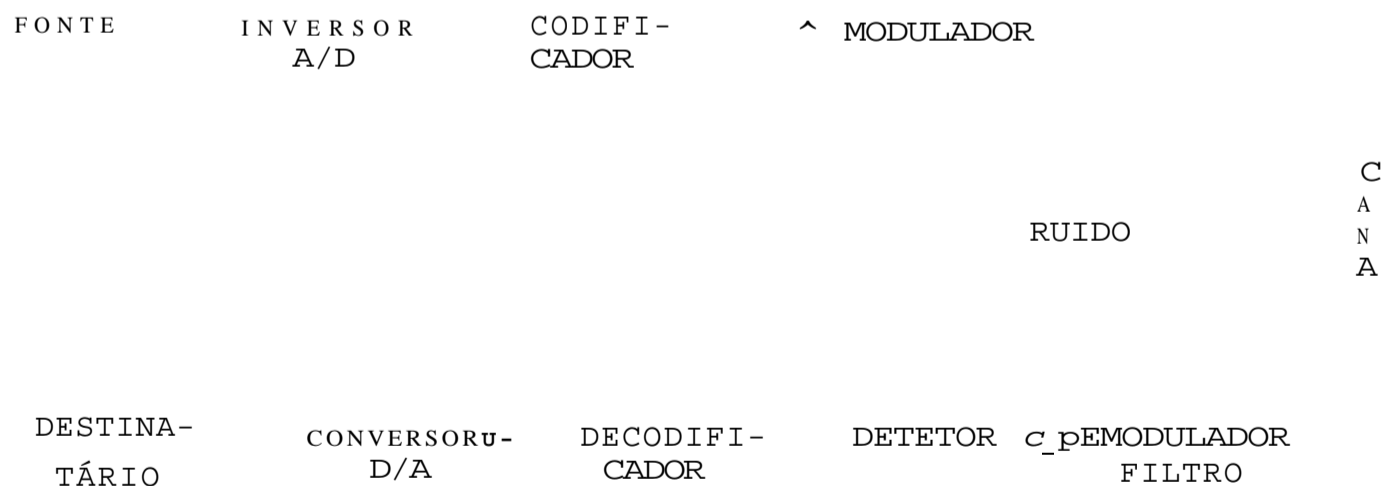


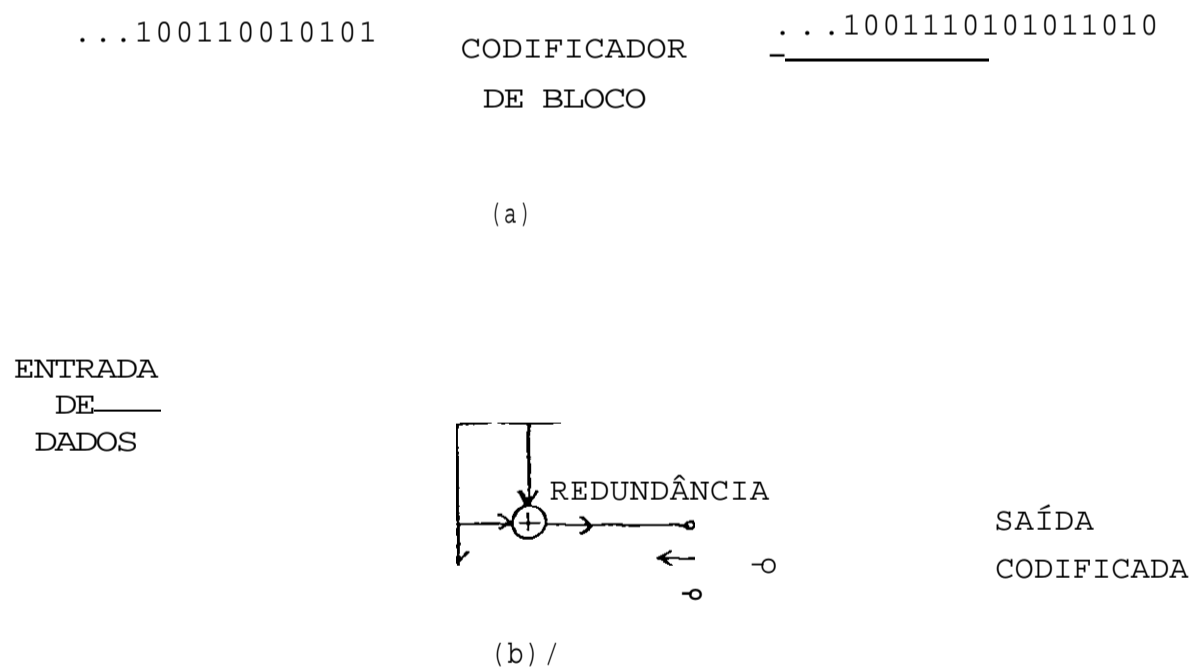
FIG.1-S - SISTEMA DE COMUNICAÇÃO DIGITAL COM CODIFICAÇÃO DE CANAL,

A escolha do tipo de código a ser usado é função de muitos fatores e nem sempre é uma decisão fácil de ser tomada. De uma maneira geral, entretanto, códigos de aplicação prática devem ter uma boa capacidade de detecção e correção de erros, ser eficientes (i.e. usar pouca redundância) e de fácil implementação. A obtenção destas características tem sido a meta dos pesquisadores nesta área, cujo trabalho teve início há quase três décadas. Em 1950 ,
(14)

Richard Hamming, em um artigo pioneiro da teoria da codificação, encontrou um código capaz de corrigir um erro ou detectar dois erros por palavra. Durante esta década outros códigos foram construídos, porém quase sempre para propósitos específicos. Uma classe importante de códigos capazes de corrigir mais de um erro por palavra foi descoberta em 1959/60 de maneira independente, por Bose/Chaudhuri^{^^} nos Estados Unidos da América do Norte e Hocquenghem^{^^}, na França. O surgimento de outras classes de códigos capazes de corrigir t erros por palavra seguiu-se imediatamente, o que representou um grande impulso na abordagem algébrica da teoria da codificação. Nesse aspecto os trabalhos de Reed e Solomon (1960), Bose e Chaudhuri (1960), Hocquenghem (1959), Gorenstein e Zierler (1961), * Peterson (1961) e Berlekamp (1963), desempenharam um papel extremamente importante. Desde então a teoria da codificação de canal desenvolveu-se bastante sendo atualmente responsável por uma vasta área de pesquisa. A literatura no assunto é bastante ampla e artigos atuais sobre códigos podem ser encontrados nas referências citadas no presente trabalho.

1.4 TIPOS DE CÓDIGOS

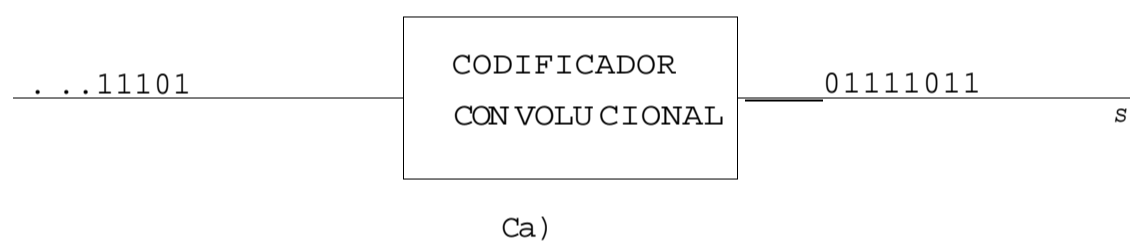
Dependendo da maneira como se adiciona redundância a uma mensagem, dois tipos básicos de códigos corretores de erros podem resultar. Se o codificador processa a informação em blocos, isto é, secciona a sequência de dígitos de informação em palavras de um dado comprimento e opera de modo independente com estas palavras, o código resultante é chamado código de bloco. Neste caso, a redundância acrescentada a cada bloco serve para corrigir e/ou detetar erros apenas naquele bloco. A operação de um codificador de bloco está mostrada na Figura 1.9.



FlG.1.9-(a) Procedimento de um codificador de bloco

-(b) Versão simplificada de um circuito codificador.

A outra classe, de códigos, denominada códigos de árvore, é aquela onde a redundância adicionada a cada bloco é função de mais de um bloco de informação, de modo que estes não são tratados de forma independente. A subclasse mais importante destes códigos é a dos "códigos convolucionais, que são mais simples e de mais fácil implementação que outros tipos de códigos de árvore. A operação de um codificador convolucional está mostrada na figura 1.10



ENTRADA DE DADOS	à REDUNDÂNCIA	SAÍDA CODIFICADA
------------------------	---------------	---------------------

(b)

FIG.1-10- (a) Procedimento de um codificador convolucional.
- (b) Versão simplificada de um circuito codificador.

Destes dois tipos de códigos, os códigos de

bloco tem uma teoria mais bem desenvolvida e a razão para isto é a existência de estruturas matemáticas bem compreendidas associadas a eles. Dessa forma, os blocos têm sido responsáveis por um maior volume de literatura que os códigos de árvore. Entretanto, ambos têm capacidade de correção e detecção de erros semelhantes e apresentam certas limitações básicas, de modo que a decisão em favor de um deles é função de fatores como o formato dos dados, o retardo permitido na decodificação, o tipo de canal, a complexidade requerida para um dado desempenho, etc.

Neste trabalho lidaremos apenas com códigos de bloco, de modo que não consideraremos os códigos de árvore além das definições acima. O leitor interessado neste tipo de códigos deve dirigir-se às referências (13) e (17).

1.5 APLICAÇÕES

Técnicas de codificação de canal, usando códigos convolucionais ou de bloco, vem sendo aplicadas com sucesso a sistemas de comunicação já há vários anos. Em situações onde a probabilidade de erro tolerável pelo sistema é bastante baixa, a transmissão de informação de forma confiável muitas vezes só é economicamente viável quando se utilizam códigos corretores de erros. A partir de 1970, experiências com canais de HF, canais telefônicos e enlaces de microondas, vieram comprovar a viabilidade da utilização dos códigos corretores de erros em muitas situações de interesse prático. Nesta seção

apresentaremos algumas de suas principais aplicações.

1.5.1 - TRANSMISSÃO DE DADOS

Segundo as recomendações do CCITT, a taxa de erros em transmissão de dados na rede pública deve ser inferior a 10^{-6} , isto é, em média um bit errado em 10^6 transmitidos. Em sistemas que utilizam modems de alta velocidade, com taxas de transmissão superiores a 9600 bits/seg, técnicas de detecção e retransmissão (ARQ) dos dígitos errados tornam-se impraticáveis, de modo que as taxas de erros admissíveis só podem ser alcançadas, sem que o custo e a complexidade do sistema aumentem em demasiado, através do uso de códigos corretores de erros. Códigos para correção de erros aleatórios e erros em blocos ("bursts") têm sido usados em sistemas de comunicação por telegrafia, telex e computadores. Exemplos típicos de códigos utilizados são ASCII, o código de Hamming e códigos cíclicos.

1.5.2 - ENLACES DE HF

A faixa do espectro correspondente às altas frequências de 3 a 30 MHz é normalmente utilizada para transmissão de sinais de voz e sinais telegráficos via rádio. Estas transmissões sofrem os efeitos de ruído feito pelo homem, de perturbações atmosféricas (variação nas condições de propagação) e de interferência produzida pelos usuários da faixa, normalmente radioamadores.

Devido a esta diversidade de fontes de erros, um sistema de transmissão de dados mesmo bem projetado e trabalhando na melhor frequência disponível apresenta taxas de erro da ordem

de 10^{-3} - 10^{-2} por períodos de 5 a 10 minutos. Resultados teóricos e experimentais

mostram que a diferença entre estas taxas e a desejada (da ordem de 10^{-6}) pode ser superada sem que se perca muito em eficiência, com a utilização de códigos corretores de erros.

1.5.3 COMUNICAÇÃO VIA SATÉLITE

Diversas razões justificam a necessidade da utilização de códigos em sistemas de comunicação via satélite

- Quando uma chamada telefônica atinge o destino errado, há uma grande diferença se isto ocorre em uma rede urbana ou em um sistema de comunicação via satélite.

- Devido às limitações de largura de faixa e potência, é de extrema importância que se transmita informação a uma taxa tão próxima quanto possível da capacidade de canal. Códigos de alta eficiência e complexidade de implementação média permitem uma transmissão "livre de erros e são uma solução econômica para o problema.

- Nas condições normais de operação o canal de comunicação por satélite pode ser modelado por um canal binário simétrico o qual é o mais simples para controle de erros

Códigos típicos para este tipo de enlace são códigos cíclicos, BCH e convolucionais.

CAPÍTULO XI

CÓDIGOS LINEARES

Neste capítulo, serão apresentados os conceitos básicos que definem a estrutura dos códigos lineares binários de bloco. Estes códigos possuem uma formulação matemática bem estabelecida, o que torna sua implementação mais fácil, na maioria dos casos, em comparação com os códigos do tipo não linear. Examinaremos alguns tipos simples de códigos de bloco, bem como sua subclasse mais importante, que são os códigos cíclicos.

2.1 CÓDIGOS DE BLOCO

Um código $C(n,k,d)$ é um conjunto de 2^k n -uplas binárias, chamadas palavras código, as quais diferem entre si pelo menos em d posições e formam um subespaço do espaço vetorial V de todas as n -uplas. O processo de codificação consiste basicamente de duas etapas:

- (1) - Os dígitos de informação são segmentados em blocos de comprimento k .
- (2) - Cada bloco de informação é transformado em outro bloco de comprimento n ($n > k$). Os $(n-k)$ dígitos acrescentados ao bloco de comprimento k são chamados dígitos de teste de paridade e representam a redundância que vai permitir a detecção e/ou correção de erros que venham a ocorrer no sistema de comunicação.

Para os códigos lineares q -ários, sendo q uma potência de um primo, os dígitos de paridade são

calculados a partir da soma modulo q dos dígitos de informação.. Isto é equivalente a dizer que um código (n,k,d) é linear se e somente se o conjunto das 2^k palavras código é um subespaço do espaço vetorial de todas as n -uplas. A seguir apresentamos um exemplo que esclarecerá melhor os conceitos até aqui definidos.

EXEMPLO 2.1 -

Considere o código $(7,3,4)$, cujas equações de teste de paridade são

$$\begin{aligned} c_1 &= k_1 + K_2 \\ c_2 &= K_2 + k_3 \\ c_3 &= k_1 + k_3 \\ c_4 &= k_1 + k_2 \end{aligned}$$

Assim, cada bloco de informação de 3 dígitos é codificado em uma palavra código de 7 dígitos, como mostra a tabela abaixo.

MENSAGEM			PALAVRA - CÓDIGO						
k_1	k_2	k_3	c_1	c_2	c_3	c_4	c_5	c_6	c_7
0	0	0	0	0	0	0	0	0	0
0	0	1	0	0	1	0	1	1	1
0	1	0	0	1	0	1	1	0	1
1	0	0	1	0	0	1	0	1	1
0	1	1	0	1	1	1	0	1	0
1	0	1	1	0	1	1	1	0	0
1	1	0	1	1	0	0	1	1	0
1	1	1	1	1	1	0	0	0	1

Desde que $K=3$, existem 8 mensagens diferentes que são codificadas em oito sextuplas, formando um subespaço de dimensão 3 sobre o espaço vetorial das sextuplas.

2.2 FORMULAÇÃO MATRICIAL

Sabemos da álgebra linear (apêndice A) * que se S^k representa um subespaço do espaço vetorial de todas as n -uplas, é possível encontrar K n -uplas linearmente independentes em S^k , que formam uma base para este subespaço.

S^k tem dimensão K e possui 2^k n -uplas. Este resultado sugere uma maneira de descrever um código linear $C(n, k, d)$ através de uma matriz $(k \times n)$, cujas K linhas linearmente independentes formam uma base para o subespaço formado pelas 2^k palavras do código. Esta matriz é chamada matriz geradora do código e tem a forma

$$CG) = \begin{pmatrix} v. \\ v. \\ v. \\ | \\ | \\ | \\ v. \end{pmatrix}$$

Dessa forma, as 2^k palavras do código pertencem ao espaço 1×2^k linha de $[G]$, isto é, se $[m] = (m^1, \dots, m^k)$ representa um bloco de informação, então a palavra código correspondente é dada por

$$(u) = [m] (G) = (m^1, m^2, \dots, m^k) \begin{pmatrix} v. \\ | \\ | \\ v. \end{pmatrix} \dots \quad (2.2)$$

ou
$$(u) = m_1 \alpha^j + m_2 \alpha^{2j} + \dots + m_k \alpha^{(k-1)j} \quad (2.3)$$

Vê-se então que as palavras de C são obtidas por combinações lineares das linhas de G e é dito que as linhas de G geram um código linear $C(n, k, d)$.

EXEMPLO 2.2 -

Vamos descrever o código definido no exemplo 1 pela sua matriz geradora G . De acordo com as equações de teste de paridade, cada palavra do código é da forma

$$Cu = (k_1, k_2, k_3, k_1 + k_2, k_1 + k_3, k_2 + k_3)$$

cuja representação matricial é

$$Cu = (k_1, k_2, k_3) \begin{pmatrix} 1 & 0 & 0 & 1 & 0 & 1 & 1 \\ 0 & 1 & 0 & 1 & 1 & 0 & 1 \\ 0 & 0 & 1 & 0 & 1 & 1 & 1 \end{pmatrix}$$

sendo assim, o código do exemplo 1 é um código $C(7, 3, 4)$ cuja matriz geradora é

$$\begin{pmatrix} 1 & 0 & 0 & 1 & 0 & 1 & 1 \\ 0 & 1 & 0 & 1 & 1 & 0 & 1 \\ 0 & 0 & 1 & 0 & 1 & 1 & 1 \end{pmatrix}$$

De maneira geral, um código linear $C(n, k, d)$ pode ser descrito por uma matriz geradora, a qual tem a seguinte forma:

$$\mathbb{G}) = \begin{pmatrix} 1 & 0 & 0 & \dots & 0 & P_{1,2} & \dots & P_{1,n-k} \\ 0 & 1 & 0 & \dots & 0 & P_{2,2} & \dots & P_{2,n-k} \\ 0 & 0 & 1 & \dots & 0 & P_{3,2} & \dots & P_{3,n-k} \\ \vdots & \vdots & \vdots & \ddots & \vdots & \vdots & \ddots & \vdots \\ 1 & 1 & 1 & \dots & 1 & 1 & \dots & 1 \\ 1 & 1 & 1 & \dots & 1 & 1 & \dots & 1 \\ 0 & 0 & 0 & \dots & 1 & P_{k,2} & \dots & P_{k,n-k} \end{pmatrix} \quad (2.4)$$

ou

$$\mathbb{G}] = I_k \oplus P \quad (2.5)$$

onde I_k representa a matriz identidade de ordem k e P uma matriz do tipo $k \times (n-k)$.

Uma segunda descrição matricial para os códigos em bloco lineares e a que faz uso da matriz (H) , chamada matriz de teste de paridade. A matriz (H) é construída de modo que o produto escalar de qualquer combinação linear das linhas de (G) por uma linha de (H) é nulo, isto é, $(\mathbb{G}H)^T = 0$ ortogonal ao espaço-linha de (\mathbb{G}) . Assim se

$$\mathbb{C}H) = \begin{pmatrix} h_{11} & h_{12} & \dots & h_{1n} \\ h_{21} & h_{22} & \dots & h_{2n} \\ \vdots & \vdots & \ddots & \vdots \\ h_{(n-k)1} & h_{(n-k)2} & \dots & h_{(n-k)n} \end{pmatrix} \quad (2.6)$$

$$\mathbb{C}u) = (u_1, u_2, \dots, u_n) \quad (2.7)$$

representam respectivamente a matriz de teste de paridade e um vetor do espaço- \mathbb{F}_2 de $[G]$ então devemos ter

$$Cu) (H)^T = (0 \ 0 \ 0 \ \dots \ 0) . \quad (2.8)$$

Dessa forma, $Cu)$ é uma palavra código do código linear $C(n,k,d)$ gerado por (G) se e só se (2.8) se verificar.

De maneira semelhante a expressão (2.5) a matriz H $C(n-k) \times n$ pode ser colocada na forma

$$H = CP^T ; I_{n-k} \quad (2.9)$$

onde P e I_{n-k} representam respectivamente a transposta da matriz P e a matriz identidade de ordem $(n-k)$.

2.3 CAPACIDADE DE CORREÇÃO

Dois tipos distintos de erros podem ocorrer em sistemas de comunicação:

- (1) Os símbolos transmitidos podem ser afetados de maneira independente. São os chamados erros aleatórios.
- (2) Em alguns canais ocorrem perturbações cuja duração é maior que o tempo alocado para cada símbolo, de modo que vários deles podem ser afetados consecutivamente. São os chamados erros em bloco ("burst").

Neste trabalho trataremos apenas do primei-

ro tipo de erro. Para estabelecermos a capacidade de correção de erros aleatórios de um código linear de bloco $C(n,k,d)$, precisamos introduzir algumas definições.

*

DEFINIÇÃO 2.1 - Seja v uma n -upla binária. O peso de v , que denotaremos por $w(v)$, e o número de posições não nulas de v .

DEFINIÇÃO 2.2 - Sejam u e v duas n -uplas binárias. A distância de Hamming entre u e v , que denotaremos por $d(u,v)$, é o número de posições em que as mesmas diferem.

De acordo com as definições acima, vê-se que

$$d(u,v) = w(u \oplus v) \quad (2.10)$$

uma vez que a operação \oplus representa adição módulo 2.

k

As 2^k palavras de um código de bloco linear $C(n,k,d)$ formam um grupo, de modo que a soma de duas palavras código quaisquer é uma palavra código. Este fato, juntamente com a expressão (2.10), nos permite concluir que a menor distância entre duas palavras, chamada distância mínima do código, é dada pela n -upla de menor peso, excetuando-se a n -upla toda nula, isto é,

$$d = w(v^*) \quad (2.11)$$

onde v^* representa a n -upla de menor peso de C . Baseado neste

conceito de distância mínima vamos agora determinar a capacidade de correção/deteção de um dado código. Observamos que a ocorrência de um erro em uma palavra transmitida resultara em uma distância de Hamming igual a 1 entre esta e a palavra recebida. Sendo assim, a ocorrência de uma quantidade $<(d-1)$ de n erros em uma palavra transmitida resultará em uma das $(2^n - 2^k)$ n-uplas que não são palavras código, o que possibilita a deteção de uma dada configuração de erros. Portanto, um código com distância mínima d e capaz de detetar $(d-1)$ erros. Sua capacidade de correção pode ser entendida com o auxílio da

figura 2.1, onde d_{ij} ($i, j=1, 2, \dots, 2^k$, com $i \neq j$) representa a distância de Hamming entre as palavras código i e j . Se d representa

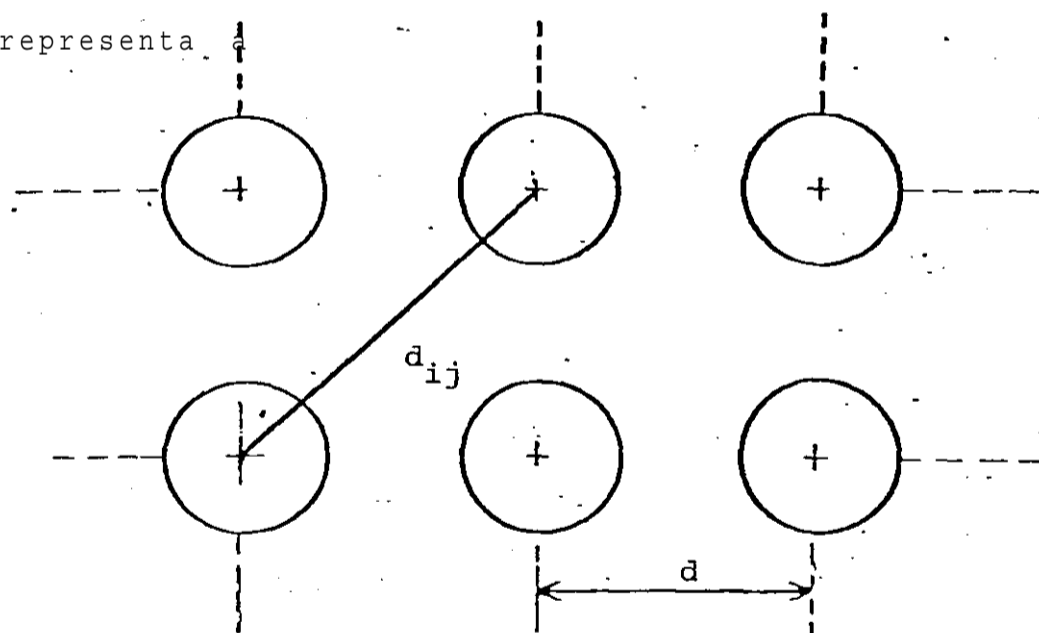


FIG.2.1 - DISTANCIA MÍNIMA DE UM CÓDIGO DE BLOCO LINEAR -

distância mínima, vi-se que a ocorrência de $d/2$ ou mais erros transformará a palavra transmitida em uma n-upla que es-

tá mais próxima, em termos de distância de Hamming, de outra palavra código. Dessa forma, como o decodificador decide pela palavra que mais se aproxima da n-upla recebida, resultará uma decodificação errada. Para que a palavra transmitida seja decodificada corretamente devemos ter, então:

$$t < \frac{n-1}{2} \quad (2.12)$$

onde t representa o número de erros que podem ser corrigidos e $\lfloor x \rfloor$ quer dizer o maior inteiro $< x$.

Assim, o problema de encontrar um código com uma determinada capacidade de correção, consiste basicamente em achar um código que tenha uma dada distância mínima. Na verdade, sendo conhecidos n e k , existem limites que estabelecem os valores extremos para d . Um dos problemas que ainda permanece sem solução na teoria dos códigos corretores de erros é como formar as equações de teste de paridade para garantir um dado d , sendo dados n e k .

2.4 CÓDIGOS DE BLOCO LINEARES SIMPLES

2.4.1 - CÓDIGOS DE REPETIÇÃO

Dentre os exemplos mais simples de códigos binários encontram-se os chamados códigos de repetição. Para este tipo de código tem-se

$$\begin{aligned}
 k &< 1 \\
 c &\text{ qualquer} \\
 n &= k + c = 1 + \dots
 \end{aligned}$$

de modo que existem apenas duas palavras, que são as sequências de n 0's e n 1's. Os dígitos de paridade são todos iguais ao dígito de mensagem. Devido a ocorrência de erros no canal, alguns dígitos são alterados e o decodificador avalia o número de 0's e de 1's da palavra recebida, decidindo pelo bit que apareceu mais vezes. Em caso de igualdade (n -par) nenhuma decisão é tomada. A distância mínima e a eficiência de um código de repetição valem, respectivamente

$$\begin{aligned}
 d &= n \\
 R &= \frac{1}{n}
 \end{aligned}$$

de modo que qualquer configuração de erros que atinja menos que a metade de uma palavra pode ser detectada e corrigida.

2.4.2 - CÓDIGOS DE UM ÚNICO DÍGITO DE PARIDADE

Estes códigos são caracterizados por:

$$\begin{aligned}
 c &\text{ qualquer} \\
 c &= 1 \\
 n &= k + c = k + 1.
 \end{aligned}$$

Devido ao fato de usarem mínima redundância, são códigos de

alta eficiência, a qual é tanto maior quanto fôr o valor de n , pois

$$R = \frac{n-1}{n}$$

Seu único dígito de paridade é gerado pela soma modulo 2 dos $n-1$ dígitos de informação, de modo que suas palavras são todas de peso par. Sendo assim, um código de um dígito de paridade (SPC) tem distância mínima igual a 2 e é capaz de detectar qualquer configuração de um número ímpar de erros. Entretanto, apesar desta baixa capacidade de controlar erros, são largamente usados na prática. Os códigos descritos nesta seção e na anterior representam as soluções extremas para o compromisso capacidade de detecção/correção versus eficiência, de modo que a maioria dos códigos de bloco lineares situa-se numa posição intermediária em relação aos mesmos.

2.4.3 - CÓDIGOS DE MATRIZ

Estes códigos, em sua forma mais simples, são obtidos através da extensão, para duas dimensões, dos códigos de um dígito de paridade. Dessa forma dígitos de paridade horizontais e verticais são acrescentados a uma matriz retangular de dígitos de informação, conforme está ilustrado na figura 2.2

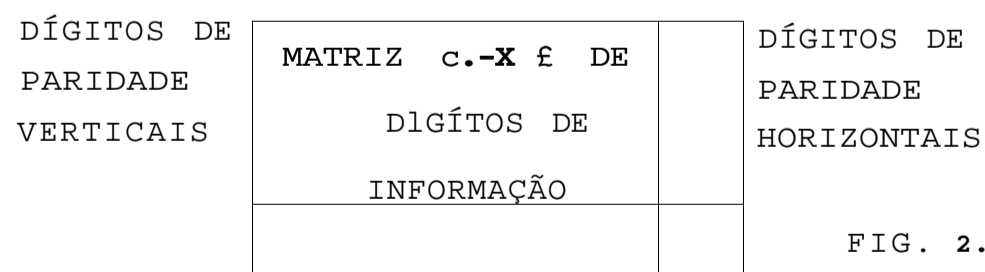


FIG. 2.2

Devido a dupla verificação de paridade existente, qualquer erro isolado pode ser corrigido, enquanto que todas as configurações de dois erros podem ser detetadas. A eficiência e a distância mínima de um código de matriz valem, respectivamente

$$R = \frac{1}{2} * c - (U+1) * (c+1)$$

$$= 4$$

2.5 CÓDIGOS CÍCLICOS

Grande parte da pesquisa dedicada aos códigos corretores de-erros tem sido orientada no sentido de se obter códigos que estejam associados a alguma estrutura matemática bem definida. A razão para isto é que, devido a esta associação, procedimentos para codificação e decodificação, bem como a estratégia a ser seguida para se conseguir certas características desejáveis, podem ser obtidos com relativa facilidade. Uma subclasse dos códigos lineares binários em bloco que preenche as condições acima, é a dos chamados códigos

(21)

cíclicos, introduzidos em 1957 por Prange. Estes códigos são bastante usados em aplicações práticas e foram responsáveis por grande parte das investigações feitas em códigos de bloco, durante a década de 60. Nesta seção faremos uma descrição sumária dos códigos -cíclicos,-apresentando algumas de suas principais propriedades.

2.5.1 - DESCRIÇÃO GERAL

Um código cíclico em geral é um código de bloco linear $C(n,k,d)$ que possui a propriedade de que qualquer versão deslocada, de maneira cíclica, de uma palavra código é também uma palavra código. Dessa forma se

$$c = (c_0, c_1, \dots, c_{n-1})$$

então

$$c^{(i)} = (c_{n-i}, c_{n-i+1}, \dots, c_{n-1}, c_0, c_1, \dots, c_{n-i-1})$$

onde $c^{(i)}$, por definição representa a n -upla (U) deslocada cíclicamente para a direita, de i posições. Para descrever os

o procedimento que faz uso da correspondência existente entre n -uplas binárias e polinômios racionais com coeficientes em $GF(2)$, o campo de Galois de dois elementos $(0,1)$. Assim a

palavra código

$$[u] = (u_0, u_1, \dots, u_{n-1})$$

é representada por

$$u(x) = u_0 + u_1x + u_2x^2 + \dots + u_{n-1}x^{n-1} \quad (2.13)$$

sendo que $u(x)$ é usualmente chamado polinômio código. A construção de um código cíclico é baseada na existência de um po-

polinômio $g(x)$ chamado polinômio gerador, para o qual são válidos os seguintes teoremas⁽²³⁾

TEOREMA 2.1 - Em um código cíclico $C\{n,k,d\}$ existe um e apenas um polinômio código $g(x)$ de grau $(n-k)$, do tipo

$$g(x) = x^{n-k} + g_{n-k-1}x^{n-k-1} + \dots + g_2x^2 + g_1x + 1 \quad (2.14)$$

de modo que qualquer polinômio código $u(x)$ em C é um múltiplo de $g(x)$ e todo polinômio de grau $n-1$ ou menor, que é múltiplo de $g(x)$, é um polinômio código.

TEOREMA 2.2 - O polinômio gerador de um código cíclico (n,k,d) é um fator de $x^n + 1$.

TEOREMA 2.3 - Se $g(x)$ tem grau $(n-k)$ e é um fator de $x^n + 1$, então $g(x)$ gera um código cíclico (n,k,d) .

Vejamos um exemplo para ilustrar a construção de um código cíclico.

EXEMPLO 2.3 - O código cíclico $(7,4,3)$ cujo polinômio gerador é

$$g(x) = 1 + x + x^3$$

é aquele para o qual as palavras códigos são da forma

$$u(x) = m(x) (1 + x + x^3)$$

onde $u(x)$ representa o polinómio mensagem. Assim a mensagem 1100 em forma codificada é

$$u(x) = (1 + x) (1 + x + x^3)$$

$$u(x) = 1 + x + x^3 + x^4$$

ou $Cu3 = (1 0 1 1 1 0 0)$

As 16 palavras deste código estão na tabela abaixo:

MENSAGEM	PALAVRA CÓDIGO
0 0 0 0	0 0 0 0 0 0 0
1 0 0 0	1 1 0 1 0 0 0
0 1 0 0	0 1 1 0 1 0 0
1 1 0 0	1 0 1 1 1 0 0
0 0 1 0	0 0 1 1 0 1 0
1 0 1 0	1 1 1 0 0 1 0
0 1 1 0	0 1 0 1 1 1 0
1 1 1 0	1 0 0 0 1 1 0
0 0 0 1	0 0 0 1 1 0 1
1 0 0 1	1 1 0 0 1 0 1
0 1 0 1	0 1 1 1 0 1 1
1 1 0 1	1 0 1 0 0 0 1
0 0 1 1	0 0 1 0 1 1 1
1 0 1 1	1 1 1 1 1 1 1
0 1 1 1	0 1 0 0 0 1 1
1 1 1 1	1 0 0 1 0 1 1

Estas palavras apresentam os dígitos de informação. Os dígitos de paridade (os bits de controle) misturados Para colocá-los em forma sistemática, isto é, fazer com que cada palavra seja do tipo $tk^k, k_1, k_2, \dots, k_n/k^k, \dots, C_n$ é suficiente (23) fazermos:

$$v(x) = C(x) + x^{n-k} m(x) \quad (2.15)$$

onde $C(x)$ é resto da divisão de $x^{n-k} m(x)$ por $g(x)$:

$$C(x) = \text{rem} \frac{x^{n-k} m(x)}{g(x)} \quad (2.16)$$

Nesse caso $C(x)$ representa a seção de dígitos de paridade de cada palavra código. Este resultado permite a formulação de métodos práticos para codificação, os quais utilizam apenas circuitos registradores a deslocamento com realimentação e so-

(22)
raadores modulo 2. Esta característica de simplicidade dos circuitos codificadores é um dos aspectos extremamente importantes dos códigos cíclicos.

2.5.2 - DETEÇÃO E CORREÇÃO DE ERROS

A detecção de erros em palavras código, como as do tipo (2.15) pode ser feita de maneira simples. Desde que as 2^k palavras código de $C(n, k, d)$ são todas múltiplas do polinómio gerador $g(x)$ uma missão do decodificador consiste em verificar este fato. De um modo geral a palavra recebida é

$$r(x) = u(x)g(x) + e(x) \quad (2.17)$$

onde $e(x)$ é o polinómio erro introduzido no canal. Sua divisão por $g(x)$ resulta

$$\frac{r(x)}{g(x)} = \frac{u(x)g(x) + e(x)}{g(x)} = u(x) + \frac{e(x)}{g(x)} \quad (2.18)$$

Então, se o resultado (2.18) não for exato, a ocorrência de erros durante a transmissão será detetada. Portanto o polinómio gerador $g(x)$ deve ser escolhido de tal modo que as configurações de erros $e(x)$ que se quer detetar não sejam divisíveis por ele. Os teoremas enunciados a seguir mostram algumas relações entre a capacidade de deteção de um código cíclico e seu polinómio gerador.

TEOREMA 2.4 - O número de termos do polinómio-gerador de um código cíclico $(n, k, 2)$ é > 2 .

DEFINIÇÃO 2.3 - Um polinómio $f(x)$ pertence ao expoente n se n é o menor inteiro positivo para o qual $f(x)$ divide $x^n - 1$.

TEOREMA 2.5 - O comprimento de um código cíclico $(n, k, 3)$ não é maior que o expoente ao qual pertence seu polinómio gerador.

De uma maneira geral, entretanto, não há uma relação simples entre $g(x)$ e d , a distância mínima do código. Na tabela a seguir apresentamos as principais características de alguns códigos cíclicos de comprimento 15.

. K .	d	
14	2	(0,1)
11	3	(0,1,4)
10	4	(0,1) (0,1,4)*
7	5	(0,1,4) (0,1,2,3,4)
6	6	(0,1) (0,1,4) (0,1,2,3,4)
5	7	(0,1,4) (0,1,2,3,4) (0,1,2)
4	8	(0,1) (0,1,4) (0,1,2,3,4) (0,1,2)
2	10	(0,1) (0,1,4) (0,1,2,3,4) (0,3,4)
1	15	(0,1,4) (0,1,2,3,4) (0,3,4) (0,1,2)

TABELA - Alguns códigos cíclicos de comprimento 15.

* O símbolo (0,1) (0,1,4) representa o polinómio:

$$(1 + x) (1 + x + x^4) = 1 + x^2 + x^4 + x^5 \quad (0,2,4,5) .$$

Um dos aspectos mais positivos dos códigos cíclicos é a existência de diversos algoritmos de decodificação eficientes, que podem ser implementados com relativa facilidade. Dentre estes, citamos como mais importantes a decodificação de Meggitt (24) (1960), a decodificação por lógica majoritária (25) (Rudolph, 1967), e o método conhecido por "error-trapping" (Rudolph e Mitchell, 1964). Estas técnicas fazem uso essencialmente do conceito de síndrome para localização de erros e a escolha por uma delas é função de fatores como o tipo de erro presente no canal, a classe de códigos cí

clicos usada, a capacidade de memória disponível, o retardo¹ na decodificação, etc.

Dentre os códigos cíclicos conhecidos são particularmente importantes os códigos de Bose-Chaudhuri e * Hocquenghem. Para qualquer escolha de m e t existe um código BCH de comprimento $2^m - 1$ que é capaz de corrigir t erros ou detetar $2t$ erros por palavra e que requer um polinómio gerador de grau $< mt^{**}$. O primeiro algoritmo de decodificação (27)

ção para este tipo de código foi devido a Peterson. Alguns anos mais tarde outros procedimentos mais eficientes foram estabelecidos por Chien⁽²⁸⁾ (1963), Berlekamp⁽²⁹⁾ (1965) e Massey (1969), de modo que os códigos BCH são de grande aplicação prática e bastante usados nos sistemas de comunicação atuais.

CAPÍTULO I I I

• -DECODIFICAÇÃO DE CÓDIGOS LINEARES

A decodificação frequentemente representa um sério obstáculo à utilização prática dos códigos corretores de erros. Isto se deve ao fato de que os algoritmos de decodificação existentes apresentam uma complexidade que cresce exponencialmente com o comprimento dos blocos ⁽²²⁾, tornando sua implementação proibitiva. Neste capítulo apresentamos alguns dos principais métodos existentes para decodificação de códigos lineares, comparando e discutindo a complexidade dos mesmos.

3.1 DECODIFICAÇÃO POR SEMELHANÇA MÁXIMA

O método descrito nesta seção raramente é usado na prática devido às dificuldades de implementação que apresenta. Sua importância reside no fato de ser largamente usado como um padrão, sempre que se deseja comparar diferentes técnicas de decodificação. Esta técnica, quando se usam palavras código equiprováveis, é ótima no sentido de que a probabilidade de erro na saída do decodificador é minimizada

Em um canal binário simétrico, a probabilidade de não ocorrer erros em uma n -upla binária transmitida é q^n . A probabilidade de que a palavra recebida seja dife-

rente da palavra transmitida em i posições e p_i, q_i . Desde que $q_i > p_i$, qualquer palavra com um erro é mais provável de ser recebida que uma palavra com dois erros e assim por diante. Baseado neste resultado é possível decodificar códigos em bloco lineares como a seguir é descrito. Na recepção o decodificador compara a n -upla recebida $C(r)$ com as 2 palavras código existentes e escolhe aquela que mais se aproxima de $C(r)$ em termos de distância de Hamming, isto é, decide por aquela palavra que difere de $C(r)$ no menor número de posições.

Em sistemas operando "on line" esta comparação deve ser feita durante o intervalo de tempo correspondente à duração de n dígitos no canal, o que eventualmente vem a limitar a aplicabilidade deste processo quando o código utilizado tem um grande número de palavras. Este método de decodificação por semelhança máxima pode ser aplicado a canais sem memória que não sejam binários.

3.2 O ARRANJO PADRÃO

O processo de decodificação envolve uma decisão sobre qual palavra código foi transmitida. Isto pode ser feito distribuindo as 2^n n -uplas em 2^k conjuntos disjuntos de modo que cada um deles contenha apenas uma palavra código. Desta maneira a decodificação é feita corretamente se a n -upla recebida $C(r)$ estiver no subconjunto da palavra transmitida. Escrevemos as 2^n n -uplas em uma linha e abaixo da n -upla nula colocamos uma n -upla C_e que não está na primeira'

linha. A segunda linha é formada somando-se os elementos da primeira a Ce_{2-} , como mostrado abaixo:

$$\begin{array}{l}
 (0, 0, \dots, 0) \quad (CV-1) \quad (IV_1) \quad \dots \quad (CV_{j-1}) \\
 \\
 (Ce_2) \quad (Ce_2] + CV_2) \quad (e_{2-} + CV_3) \dots (e_{2-} + CV_{k-})
 \end{array}$$

As linhas subsequentes são formadas de maneira semelhante, sendo que cada nova linha começa com um elemento não usado anteriormente. Resulta assim a seguinte tabela, denominada arranjo padrão.

$$\begin{array}{l}
 (0, 0, \dots, 0) \quad (IV_2) \quad (CV-J) \quad \dots \quad (CV_{2^k}) \\
 \\
 (Ce_3) \quad (Ce_3] + CV_2) \quad (e_{3-} + CV_3) \quad \dots \quad (e_{3-} + CV_J)
 \end{array}$$

$$(Ce_{n-k}) \quad (Ce_{n-k}] + CV-1) \quad (e_{n-k} + CV_{2^k}) \quad \dots \quad (e_{n-k} + CV_{2^k})$$

As linhas obtidas são chamadas "cosets" e o elemento mais à esquerda em cada linha é o "coset leader". O processo descrito acima é chamado decomposição do código em "cosets". Basicamente, a utilização do arranjo padrão para decodificação envolve dois passos:

- 1) Determinação do "coset" Ce portanto do "coset leader" associado) ao qual a n-upla recebida pertence.

2) Subtrair da n-upla recebida o "coset leader" encontrado acima. .

O resultado obtido no segundo passo é a estimativa da palavra transmitida. Isto, em geral, não é fácil de implementar, de modo que o conceito de arranjo padrão é mais útil como uma maneira de compreender a estrutura dos códigos lineares, do que como um algoritmo de decodificação prática. Entretanto, o arranjo padrão apresenta algumas propriedades que nos permitem estabelecer um método de decodificação potencialmente prático, o qual será descrito na seção seguinte. Estas propriedades estão contidas nos dois teoremas que apresentamos a seguir:

TEOREMA 3.1 - Seja $C(n,k)$ um código de bloco binário linear. Então o arranjo padrão obtido pela decomposição de C em cosets não apresenta n-uplas repetidas.

PROVA: Consideremos que na j -ésima linha existem duas n-uplas idênticas. Então devemos ter

$$i^*j) \cdot C^v.) = r^*j \} [^v_> \text{ onde } e \wedge m \quad (3.1)$$

e portanto

$$(v_e) = lv_m)$$

o que é impossível pela própria construção da tabela. Resta então mostrar que uma mesma n-upla não aparece em diferentes

linhas. Considerando que uma n -upla aparece nas linhas i e j ($i < j$), então devemos ter:

$$t_{e_i} + t_{v_j} = C_e J + C_v J \quad (3.2)$$

então:

$$t_{v_j} J = t_{e_i} \cdot U (v_e + v_m) \quad (3.3)$$

desde que v_e e v_m são vetores códigos, então $(v_e + v_m)$ também é um vetor código, que vamos representar por v^* . Dessa forma

$$(e_j)_3 = (e_x)_3 + (v_x)_3 \quad (3.4)$$

da equação (3.4) concluímos que $(e_j)_3$ está na i -ésima linha, o que contradiz o fato de que o primeiro elemento de uma linha do arranjo padrão é um elemento não usado anteriormente. Dessa forma a prova está completa.

* Antes de apresentarmos o teorema 2 vamos conceituar o que chamamos de síndrome de uma palavra. Consideremos um código linear em bloco $C(n,k,d)$ cuja matriz de paridade é H . O vetor de $(n-k)$ componentes definido por

$$(S) = (Cr) \cdot [CH]^T \quad (3.5)$$

é denominado a síndrome da palavra r . Da definição de (S) vemos que r é uma palavra do código se e só se sua síndrome (S)

for nula. Na recepção, o decodificador tenta extrair a mensagem enviada a partir de (3.5)- Em geral

$$r = Cu + Ce \quad (3.6)$$

onde

$$e = (e_1, e_2, \dots, e_n) \quad (3.7)$$

representa o vetor erro introduzido pelo ruído no canal, de modo que

$$e_i = \begin{cases} 0, & \text{se o ruído não afeta o } i\text{-ésimo dígito} \\ 1, & \text{em caso contrário.} \end{cases} \quad (3.8)$$

Ficamos então com

$$rH^T = (Cu + Ce)H^T = rH^T + eH^T \quad (3.9)$$

$$s = eH^T \quad (3.10)$$

o que mostra que a síndrome associada a uma palavra código depende apenas da configuração de erros que atingiu a mesma.

TEOREMA 3.2 - No arranjo padrão de um código linear $C(n, k, d)$ as 2^n n-uplas de um dado "coset" tem a mesma síndrome e as 2^n síndromes de cosets diferentes são diferentes.

PROVA: Consideremos inicialmente que o m-ésimo e o f-ésimo

coset tem síndromes iguais, isto é.

$$te_{j-1} [K]^T = Ce^j (H)^T \quad (3.11)$$

ou

$$\{te_m\} + Ce^j z \quad (3.12)$$

Sendo assim, a n-upla $\{te^j\} + Ce^j z$ é uma palavra código, a qual vamos representar por (u^j) . Então

$$Ce^j z = Ce^j z + f_{j-1} V^T \quad (3.13)$$

ou seja, o vetor (e^j) pertence à j -ésima linha do arranjo padrão, o que não é possível devido à forma como o mesmo é construído. Para concluir vamos mostrar que os vetores de um mesmo coset tem a mesma síndrome. Consideremos o j -ésimo "coset", cujo "coset leader" é f_{j-1} . A síndrome associada a uma n-upla (u^j) pertencente a este coset e dada por

$$S = (te^j + Ce^j z + f_{j-1} V^T) (H)^T \quad (3.14)$$

Como (u^j) é uma palavra de C , então (3.14) reduz-se à

$$S = (te^j) (H)^T \quad (3.15)$$

que é a síndrome para qualquer membro do coset, conforme foi visto em (3.10).

3.3 DECODIFICAÇÃO POR BUSCA SISTEMÁTICA

Vimos - na seção anterior que a síndrome associada a uma n -upla (r) é um vetor de $(n-k)$ componentes, de modo que o número total de síndromes distintas é 2^{n-k} . Este fato, juntamente com as propriedades do arranjo padrão de um código linear (Teoremas 3.1 e 3.2) nos leva a concluir que existe uma correspondência biunívoca entre síndromes e "cosets". Escolhendo para "coset leaders" as configurações de erros mais prováveis, i.e., as de menor peso, para um canal binário simétrico, é possível estabelecer um procedimento para decodificar códigos lineares binários em bloco que consiste em:

T

19 - "Calcular a síndrome (r) associada à n -upla (r) recebida.

29 - Encontrar o "coset leader" correspondente a esta síndrome, ou seja, o vetor erro introduzido no canal.

39 - Somar o vetor erro à palavra recebida a fim de corrigi-la.

O procedimento descrito acima, denominado decodificação por busca sistemática, é de aplicabilidade bastante limitada se o código usado não apresenta outras propriedades além de linearidade. Isto porque sua implementação requer operação de geração e comparação envolvendo 2^{n-k} $(n-k)$ -uplas binárias (gerador de síndromes), uma vez que se o código corrige t erros por blocos, devemos ter

$$C_n^1 + C_n^2 + \dots + C_n^* \leq 2^{n-k} - 1 \quad (3-16)$$

Portanto, mesmo para códigos de comprimento moderado (i.e. $n = 100$, $k = 70$) esta técnica de decodificação apresenta uma complexidade que a torna proibitiva (22)

3.4 O CÓDIGO DE HAMMING

Um código binário perfeito é aquele para o qual a seguinte condição se verifica:

$$C_n^1 + C_n^2 + \dots + C_n^{2^k} = 2^{n-k+1} - 1 \quad (3.17)$$

Os únicos códigos binários perfeitos não triviais existentes, são o código de Hamming e o código de Golay (32)

Examinemos mais detidamente a expressão (3.10) que pode ser reescrita como

$$CS)^T = CH) \quad íe)^T, \quad (3.18)$$

isto é,

$$CS) \begin{array}{c} \left| \begin{array}{c} h_{11} \\ h_{21} \\ \vdots \\ h_{(n-k)1} \end{array} \right| \begin{array}{c} - \\ \vdots \\ + \end{array} \left| \begin{array}{c} h_{12} \\ h_{22} \\ \vdots \\ h_{(n-k)2} \end{array} \right| \dots \left| \begin{array}{c} h_{1n} \\ h_{2n} \\ \vdots \\ h_{(n-k)n} \end{array} \right| \end{array} \quad (3.19)$$

De (3.19) vê-se que um código linear binário em bloco é capaz de corrigir todas as configurações de um erro, se as colunas de sua matriz de teste de paridade são todas distintas e não nulas. Nesse caso, uma palavra recebida com um dígito afetado resultará em uma síndrome não nula igual à i -ésima coluna da matriz \mathbf{EHP} indicando que o erro se encontra na i -ésima posição. Sendo assim, a matriz (\mathbf{H}) de um código cuja distância mínima é d deve ter $(d-1)$ colunas linearmente independentes. Como \mathbf{CH} tem $(n-k)$ linhas, para que seja possível a correção de qualquer erro isolado, o número de colunas deve ser igual a $2^d - 1$, o que dá origem a um código $C(n, k, d)$, onde

$$\begin{aligned} n &= 2^d - 1 && \text{C3.20.a1} \\ k &= n - c = 2^d - c - 1 && \text{C3.20.b1} \\ d &= 3 && \text{(3.20.c1)} \end{aligned}$$

O código descrito acima foi introduzido em 1950 por Richard Hamming em um artigo pioneiro sobre códigos corretores de erros. Hamming propôs que a i -ésima coluna correspondesse à representação binária do decimal i . Dessa forma a conversão para decimal da $(n-k)$ -upla correspondente à síndrome indicava a posição em que se encontrava o erro. Vejamos um exemplo.

EXEMPLO 3.1 - O código $(7,4,3)$ de Hamming é aquele cuja matriz (\mathbf{H}) é

$$\{\mathbf{H}\} = \begin{pmatrix} 0 & 0 & 0 & 1 & 1 & 1 & 1 \\ 0 & 1 & 1 & 0 & 0 & 1 & 1 \\ 1 & 0 & 1 & 0 & 1 & 0 & 1 \end{pmatrix}$$

Para uma palavra código $C = c_1 c_2 c_3 c_4$ as equações de paridade, são

$$c_1 = K_2 + K_3 + K_4.$$

$$c_2 = K_1 + K_3 + K_4$$

$$c_3 = K_1 + K_2 + K_4$$

Assim, se a palavra código transmitida (1 0 1 0 1 0 1] é recebida como (1 0 1 0 1 0 0], isto é, com um erro na sétima posição (c_3) / então:

$$(S) = Cr] \oplus H^T]$$

$$CS] = (1\ 0\ 1\ 0\ 1\ 0\ 0] \begin{array}{ccc|ccc} 0 & 0 & 1 & 1 & 0 & 0 \\ 0 & 1 & 0 & 1 & 0 & 1 \\ 0 & 1 & 1 & 1 & 1 & 0 \\ 1 & 0 & 0 & 1 & 1 & 1 \\ 1 & 0 & 1 & 1 & 1 & 1 \\ 1 & 1 & 0 & 1 & 1 & 1 \\ 1 & 1 & 1 & 1 & 1 & 1 \end{array} = (1\ 1\ 1]$$

indicando portanto um erro na sétima posição.

A eficiência do código de Hamming é dada por

$$R = \frac{n - c - 1}{n} = 1 - \frac{c}{n} \quad (3.21)$$

ou

$$R = 1 - \frac{n-K}{n-k} \quad \text{C3-22)}$$

de modo que os códigos de Hamming longos tem uma eficiência¹ que se aproxima da ideal.

Embora o código descrito acima tenha surgido pela primeira vez na literatura no clássico artigo de Shannon, em 1948, a orientação dada por Hamming foi inteiramente original. Portanto, é a ele que se deve a criação de vários conceitos e de uma terminologia própria aos códigos corretores de erros. Gostaríamos de mencionar, porém, que muitos dos resultados da teoria da codificação foram descobertos primeiramente em contextos bastantes diferentes como, por exemplo, em álgebra moderna e estatística. Nesse aspecto, o espaço de tempo existente entre as descobertas dos códigos de Hamming e dos¹

*

códigos capazes de corrigir t erros por bloco representa, segundo alguns autores, mais do que uma década de pesquisa.

Estamos nos referindo a códigos de estrutura semelhante¹ aos códigos de Hamming como, por exemplo, os códigos BCH.

CAPITULO XV

PECOPIFICAÇÃO. PROBABLTTSTICA

Desde o surgimento dos trabalhos de Ehan non sobre a teoria da informação tem havido um crescente interesse no desenvolvimento de sistemas de comunicações eficientes, confiáveis e de fácil implementação. Sendo uma abordagem eficaz para o problema da confiabilidade, os códigos corretores de erros têm sido responsáveis por uma grande quantidade de pesquisa nas duas últimas décadas. Teoremas e técnicas de implementação sofisticadas tem sido desenvolvidas para este tipo de códigos, as quais, em geral, assumem a existência de canais com saída binária. Assim, a maioria dos detetores existentes consiste basicamente de um demodulador analógico seguido por um decodificador digital que opera sobre os dígitos binários produzidos pelo demodulador (FIG.4.1).

DEMODULADOR

DECODIFICADOR

$m(t)$

FIG.4.1 - OPERAÇÃO DE UM DETETOR - BINÁRIO

O bloco demodulador atua como um quantizador de apenas um limiar de referência. Isto significa que de acordo com o valor da amostra que é colhido (acima ou abaixo do limiar) um dígito binário correspondente (0 ou 1) é entregue ao decodificador. Dessa forma a informação probabilística, potencialmente útil, entregue ao demodulador e inteiramente destruída, o que reduz substancialmente a eficiência do sistema de comunicação (31)

O processo de detecção (demodulação e decodificação) que utiliza a informação probabilística associada à mensagem recebida, de modo a obter uma melhor estimativa da mesma, é chamado DECISÃO SUAVE. A idéia é fornecer ao decodificador informação sobre a confiabilidade dos dígitos recebidos, evitando assim a degradação dos sistemas de comunicação que utilizam uma quantização de apenas duas regiões, antes da decodificação. As duas técnicas de decodificação mais conhecidas, que usam decisão suave e são ótimas no sentido de minimizar a probabilidade de erro por palavra, quando as palavras código são equiprováveis, são a decodificação por correlação de códigos em bloco e o método de Viterbi para decodificação de códigos convolucionais. Entretanto, estes sistemas apresentam certa complexidade de implementação, a qual só permite sua utilização para códigos de comprimento pequeno, devido as dificuldades de realização das operações de correlação e armazenamento. Por este motivo, tem havido um crescente interesse nos últimos anos em esquemas de decodificação que usam decisão suave, que possam ser aplicados a códigos de alta eficiência.

Neste capítulo faremos uma descrição geral da decodificação probabilística de códigos lineares. Um algoritmo ótimo é apresentado, sendo estudado seu desempenho quando de sua utilização com códigos cíclicos. Alguns algoritmos mais simples são também discutidos, os quais, embora sub-ótimos, representam uma considerável melhoria em desempenho em relação aos sistemas que utilizam quantização binária.

4.1 DECISÃO SUAVE

O conceito do que chamamos decisão suave pode ser entendido com o auxílio da figura 4.2 abaixo.

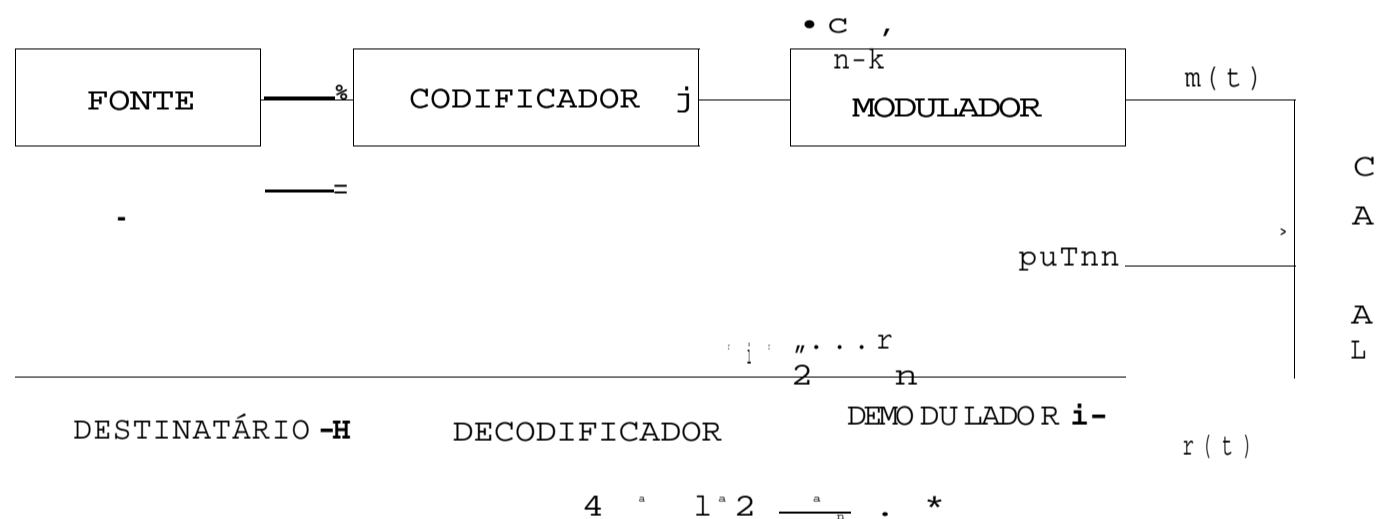


FIG. 4.2 - SISTEMA DE COMUNICAÇÃO COM DECISÃO SUAVE

Cada sequência de k dígitos binários de informação (m_1, m_2, \dots, m_k) é codificada em um bloco de n dígitos (m^1, m^2, \dots, m^n) o qual é entregue a um modulador que daí gera uma forma de onda $m(t)$ a ser transmitida. Na recepção quando o processo de decisão envolve apenas dois níveis de quantização ("hard decision"), o demodulador entre-

ga uma sequência de n dígitos ao decodificador. O método chamado DECISÃO SUAVE consiste em se ter, na saída do demodulador, além da sequência binária de comprimento n uma sequência de n números positivos (a_1, \dots, a_n) os quais fornecerão informações sobre a confiabilidade relativa dos dígitos r_i . - Dessa forma, se o decodificador considerará que r_i tem mais chances de estar correto que r_j . Isto pode ser feito se a saída do demodulador da figura 4.2 é quantizada em Q níveis de modo que a estimativa do dígito binário recebido é dada pelo "byte" de decisão-suave

$$C_{r_i} = C_{r_1} \dots C_{r_{j-1}} \dots C_{r_{j+1}} \dots C_{r_n} \quad (4.1)$$

onde $Q = 2^J$. A confiabilidade do dígito r_i pode ser definida através do "byte" de comprimento $(J - 1)$

$$C_{r_i} = C_{r_1} \dots C_{r_{j-1}} \dots C_{r_{j+1}} \dots C_{r_n} \quad \text{se } r_i = 0$$

Portanto, a confiabilidade de um dado dígito pode variar desde $C_{r_i} = 0.03$, que representa a mais baixa confiabilidade até $C_{r_i} = 1.0$, que representa a confiabilidade máxima.

Para esclarecer melhor os conceitos¹ introduzidos nesta seção, vamos considerar um exemplo de um demodulador que quantiza a região $(-A/2, +A/2)$ em 8 níveis distintos, de modo que $2^J = 8$ e $J = 3$ (FIG.4.3)

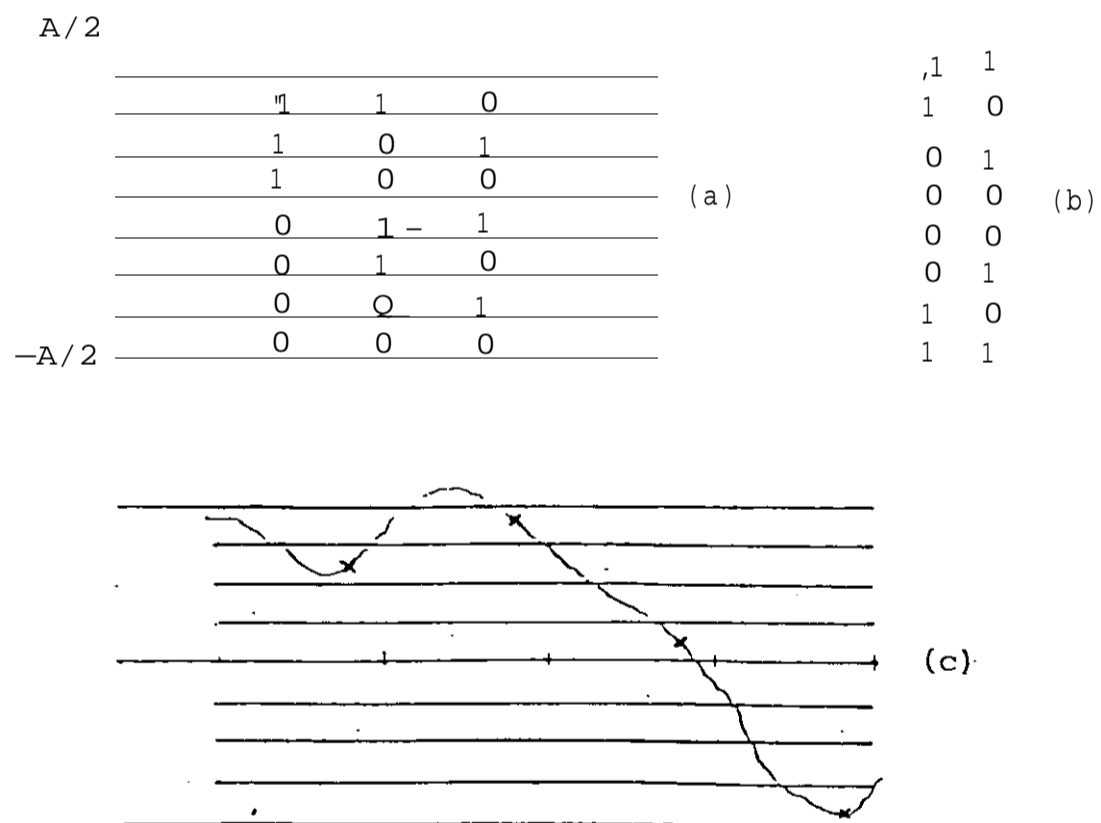


FIG.4.3 - DEMODULADOR DE DECISÃO SUAVE

a-REGIÕES DE QUANTIZAÇÃO

b-NÍVEIS DE CONFIABILIDADE

c-SINAL RECEBIDO -

Sendo assim, a saída do demodulador correspondente à forma ¹ de onda de entrada da figura (4-3c] seria a sequência binária 1(10)1(11)1(00)0(11}. Os "bytes" de comprimento dois entre parênteses representam as confiabilidades dos dígitos de (1110). Note que o terceiro 1, a partir da esquerda, é o dígito de mais baixa confiabilidade, de modo que se neste bloco de comprimento 4 o decodificador detecta a presença de um erro, este dígito de mais baixa confiabilidade é o que mais chances tem de estar errado. Na verdade, este resultado se baseia nas propriedades estatísticas do ruído e no comportamento monotonicamente decrescente com t da probabilidade de ¹ ocorrência de t erros por bloco, em um canal binário simétrico f 18). Neste caso, isto quer dizer que não se pode afirmar se o terceiro dígito era 1 ou 0 originalmente, com a mesma segurança que se pode fazê-lo para os outros três. Este fato é indicado pelo "byte" de confiabilidade, o qual localiza assim a posição mais-provável em que se encontra o erro.

Através do exemplo acima pode-se ver que, se este esquema de decisão suave é usado juntamente com um código detetor de erros capaz de detectar 1 erro por bloco ($d = 2$), ele permite estender esta capacidade tornando ¹ possível a correção de 1 erro por bloco. Em média, a capacidade de correção de um código pode ser duplicada quando se (33) utilizam demoduladores de decisão suave. Isto se deve ao fato de que os $(d - 1)$ erros detetados podem agora ser localizados através de suas informações de confiabilidade. Esta ¹ afirmação pode ser melhor visualizada com o conceito de dis -

tância suave. Introduzido a seguir-

DEFINIÇÃO 4:1 -

A distância suave entre duas n -uplas binárias u e v é a soma das distâncias, expressas em níveis, entre seus dígitos. Considerando que a distância entre níveis adjacentes é igual a 1, tem-se

$$d_s = d_{CQ} - 1) \quad (4.2)$$

onde d representa a distância de Hamming entre u e v .

A capacidade de correção e/ou.deteção de erros de nível de um código, pode -agora ser estabelecida de maneira análoga â que foi feita no capítulo 2. Se d representa a distância.mínima de um código linear então, em termos de decisão suave,as palavras código distam entre sí de no mínimo

$$d_s = d(Q - 1) , \quad (4.3)$$

o que permite a correção de t erros de nível por bloco onde

$$t < \frac{s - 2}{2} \quad (4.4)$$

Para fixar idéias consideremos o código de Hamming $(7,4,3)$

capaz de corrigir 1 erro por bloco, e uma quantização de 8 níveis. Neste caso

$$d - d(Q - 1) = 21$$

e

$$t_s \leq 10$$

Como a quantidade de erros de níveis de quantização mínima necessária para provocar uma interpretação errônea no demodulador é $Q/2$, vemos que as configurações mais prováveis de 8 erros, que correspondem a 8 erros de nível, podem ser corrigidas, o que duplica a capacidade de correção do código.

A utilização de mais de duas regiões de quantização é uma tentativa de se diminuir a perda de informação que resulta quando Q é igual a 2. Portanto o detetor ótimo, isto é, aquele que no processo de decisão retém toda a informação contida no sinal recebido, seria aquele que entregaria ao decodificador o valor exato das amostras colhidas, precisando portanto de um número infinito de níveis de quantização. Este limite de desempenho quando comparado com o sistema que não usa decisão suave, representa um ganho em potência de aproximadamente 2db.

Entretanto, este ganho que se pode conseguir com o aumento do número de níveis, significa um crescimento na complexidade dos circuitos detetores. Observa-se entretanto que, a medida que o valor de Q aumenta, o ganho incremental em relação sinal/ruído para-se obter uma dada probabilidade de erro, é cada vez menor, de modo que

grande parte da degradação que ocorre quando Q vale 2 pode ser superada sem que a complexidade do sistema se torne proibitiva.

4.2 - DETEÇÃO POR ZONA NULA

A forma mais simples de decisão suave¹ é aquela que utiliza apenas três regiões de decisão, conforme mostra a fig 4.4.

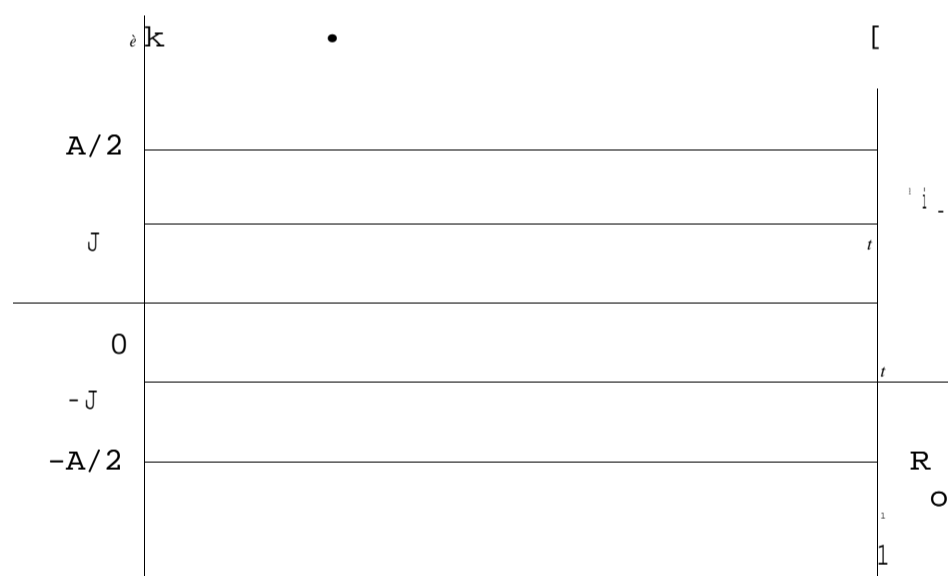


FIG. 4.4 - DETEÇÃO* POR ZONA NULA - REGIÕES DE QUANTIZAÇÃO

Dessa forma o sinal recebido

$$y(t) = m(t) + n(t)$$

é detetado, no instante $t-Q$, como sendo

$$1, \text{ se } Y(t_0) \in R \quad (4.5a)$$

$$X, \text{ se } Y(t_0) \in R^{\wedge} \quad (4.5b)$$

$$0, \text{ se } Y(t_0) \in R^{\vee} \quad (4.5c)$$

onde as regiões R_0 , R^{\wedge} e R^{\vee} são definidas por

$$R_0 = \{Y \in R \mid Y > J\} \quad (4.6a)$$

$$R^{\vee} = \{Y \in R \mid -J < Y < J\} \quad (4.6b)$$

$$R^{\wedge} = \{Y \in R \mid Y < -J\} \quad (4.6c)$$

Em (4.5b) X é um valor próximo à linha de decisão binária e portanto de valor duvidoso uma vez que as probabilidades de transição $P(X \mid 0)$ e $P(X \mid 1)$ tem valores próximos. Assim, quando o valor da amostra colhida situa-se na região R^{\wedge} , o detetor nada decide sobre ele. Nesse caso., diz-se que um nulo foi detetado. Este esquema de decisão suave e conhecido como deteção por zona nula e representa um considerável ganho em termos de probabilidade de erro (ou da taxa de informação transmitida) sobre o sistema de decisão de apenas duas regiões -

(31) - O diagrama das probabilidades de transição de um sistema que utiliza deteção por zona nula é mostrado na fig. 4.5, onde é suposto que $P(1 \mid 1) > P(0 \mid 1)$

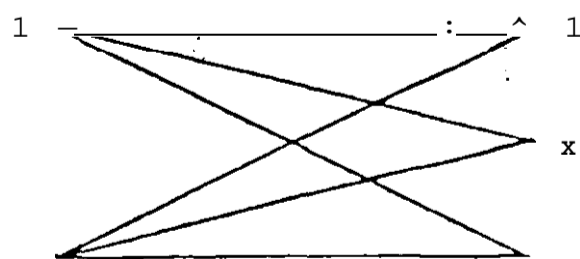


FIG.4.5 - DETEÇÃO POR ZONA NULA - PROBABILIDADES DE TRANSIÇÃO

Neste trabalho vamos considerar que o ruído existente no canal se comporta como uma variável aleatória Gaussiana, de valor médio zero e variância σ^2 , conhecida. Isto quer dizer que, se amostrarmos o ruído $n(t)$ em um instante de tempo t_0 qualquer, a probabilidade de que o valor medido esteja entre n e $(n + dn)$ é dada por $f(n) dn$, onde

$$f(n) = \frac{1}{\sigma\sqrt{2\pi}} e^{-n^2/2\sigma^2} \quad (4.7)$$

Este modelo do ruído aditivo é, em muitas aplicações, uma representação válida das perturbações reais em sistemas de comunicação.

Devido à simetria das regiões de quantização (estamos supondo que 0's e 1's são transmitidos com igual probabilidade), são válidas as seguintes relações entre as probabilidades de transição:

$$P(0|1) = P(1|0) \quad (4.8a)$$

$$P(X|1) = P(X|0) \quad (4.8b)$$

$$P(1|1) = P(0|0) \quad (4.8c)$$

Os símbolos X que são gerados num receptor que utiliza esta técnica de decisão suave, representam a informação de confiabilidade fornecida pelo canal. Para utilizá-los no sentido de produzir uma melhor estimativa da pala-

vra recebida, devemos considerar se o sistema em questão utiliza, ou não, codificação de canal. Na próxima seção exploraremos estas duas possibilidades.

4.2.1 - SISTEMAS SEM CODIFICAÇÃO -

A probabilidade de erro em um sistema que emprega duas regiões de decisão pode ser determinada como a seguir é descrito. Assumindo que pulsos binários de amplitudes $\pm A/2$ são transmitidos em presença de ruído Gaussiano, a forma de onda $v(t)$ sobre a qual o detetor opera é uma variável aleatória cuja função densidade de probabilidade é do tipo:

$$f_0(v) = \frac{e^{-Cv + A/2)^2 / 2\sigma^2}}{\sigma \sqrt{2\pi}} \quad \text{se um 0 foi transmitido} \quad (4.9)$$

$$f(v) = \frac{e^{-Cv - A/2)^2 / 2\sigma^2}}{\sigma \sqrt{2\pi}}, \quad \text{em caso contrário} \quad (4.10)$$

O detetor incorrerá em erros sempre que acontecer

$$v(t) - + n(t) < 0 \quad (4.11a)$$

ou

$$v(t) - -4- -f n(t) > 0 \quad (4.11b)$$

As probabilidades de ocorrência de (4.11a) e (4.11b) denominadas respectivamente P_{e1} e P_{e0} , podem ser calculadas por

$$P_{e1} = \text{Prob}(v(t) < 0) = \int_0^{\infty} f_x(v) dv \quad (4.12)$$

$$P_{e0} = \text{Prob}(v(t) > 0) = \int_0^{\infty} f_y(v) dv$$

P_{e1} e P_{e0} são indicados na figura 4.6

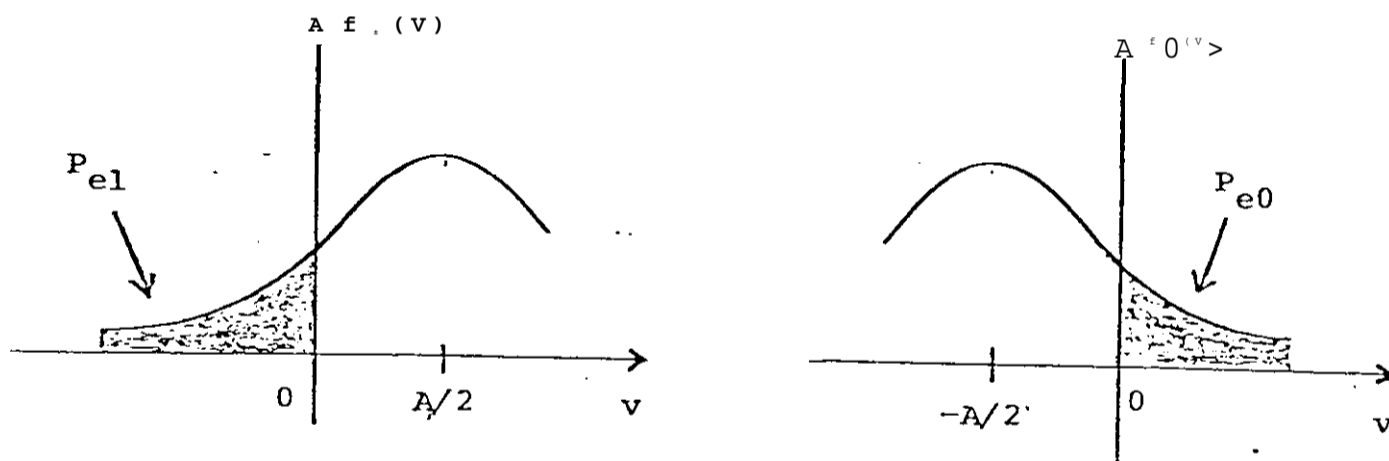


FIG.4.6 PROBABILIDADES DE ERRO EM UM RECEPTOR BINÁRIO

A probabilidade total de erro no sistema é dada por

$$P_e = P_{e1} + P_{e0} \quad (4.13)$$

onde F_1 e P_0 são, respectivamente, as probabilidades de transmissão dos símbolos 1 e 0. Admitindo que os mesmos têm igual chance de ocorrer, então

$$e = \int_0^{\infty} f_1(v) dv + \int_0^{\infty} f_0(v) dv \quad (4.14)$$

ou

$$e = \frac{1}{\sigma\sqrt{2\pi}} \int_0^{\infty} e^{-\frac{(v-A/2)^2}{2\sigma^2}} dv + \frac{1}{\sigma\sqrt{2\pi}} \int_0^{\infty} e^{-\frac{(v+A/2)^2}{2\sigma^2}} dv \quad (4.15)$$

fazendo a mudança de variável

$$x = \frac{(v + A/2)}{\sigma}$$

e possível chegarmos a

$$e = 1 - \operatorname{erf} \left(\frac{x}{\sigma\sqrt{2}} \right) \quad (4.16)$$

onde

$$\operatorname{erf}(x) = \frac{2}{\sqrt{\pi}} \int_0^x e^{-y^2} dy \quad \text{é chamada função erro de } x$$

Vê-se que a probabilidade de erro depende somente da relação sinal/ruído A/σ do sistema. em função de A/σ é traçada na figura 4.1

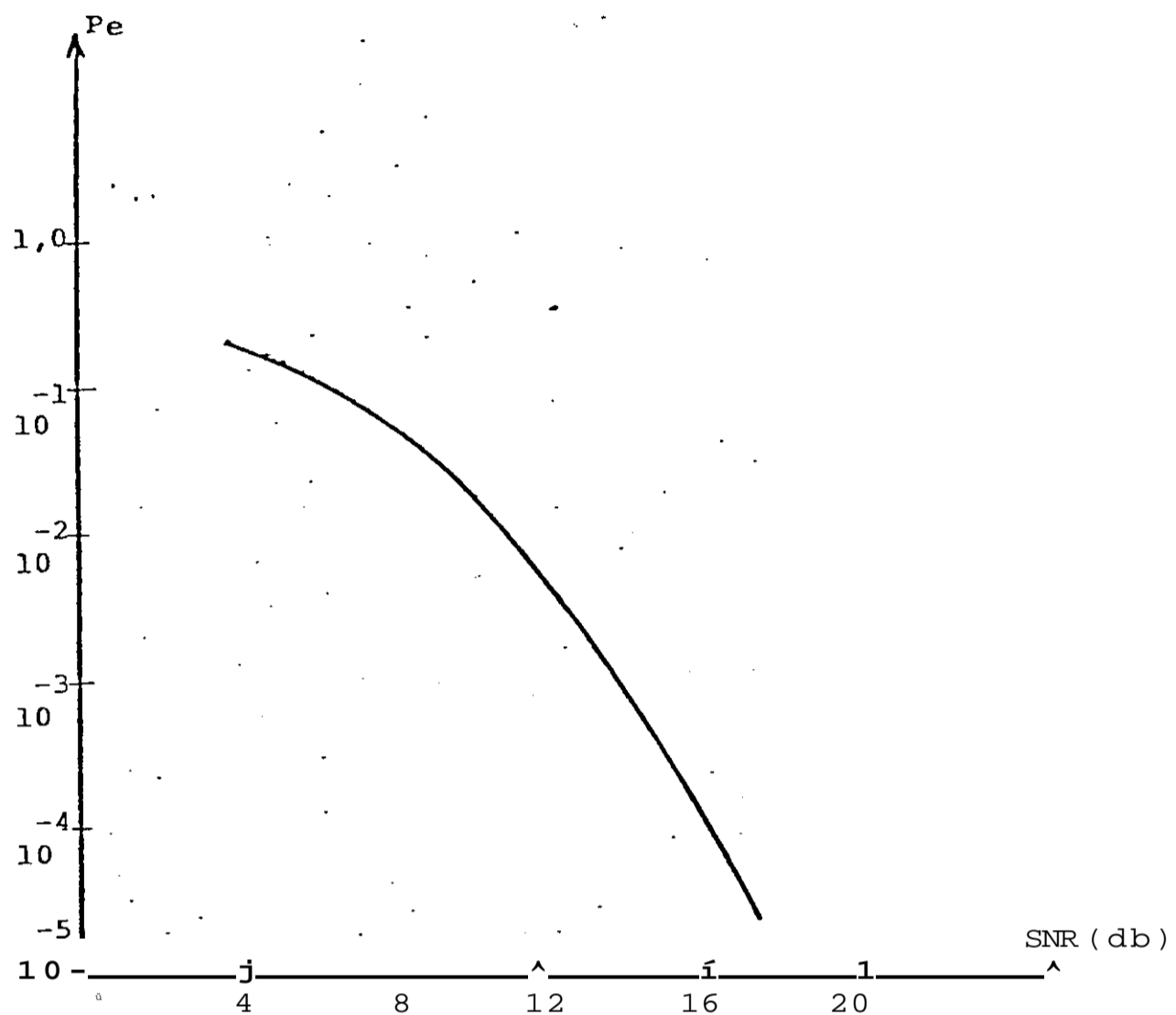


FIG.4.7 - PROBABILIDADE DE ERRO EM FUNÇÃO DA RELAÇÃO SINAL/RUÍDO PARA DETEÇÃO BINÁRIA EM PRESENÇA DE RUÍDO GAUSSIANO

Assim, para uma relação sinal/ruído de 16,4 db, P_e vale 10^{-4} , o que significa, em média, um dígito detectado erroneamente em cada 10⁴ transmitidos. Existem em funcionamento diversos sistemas de comunicação onde a taxa de erros tolerável é $<10^{-4}$, o que requer uma relação sinal/ruído superior a 18 db. Vejamos agora como este valor pode ser reduzido através da detecção por zona nula.

Em um sistema de comunicação que usa decisão suave sem codificação de canal, torna-se necessária a existência de um canal de realimentação, para que a informação de confiabilidade possa ser aproveitada. Através deste canal são enviadas as solicitações para repetição dos dígitos detectados como nulos. Para ilustrar o cálculo da probabilidade de erro consideremos a figura 4.8, onde J define a região nula de detecção-

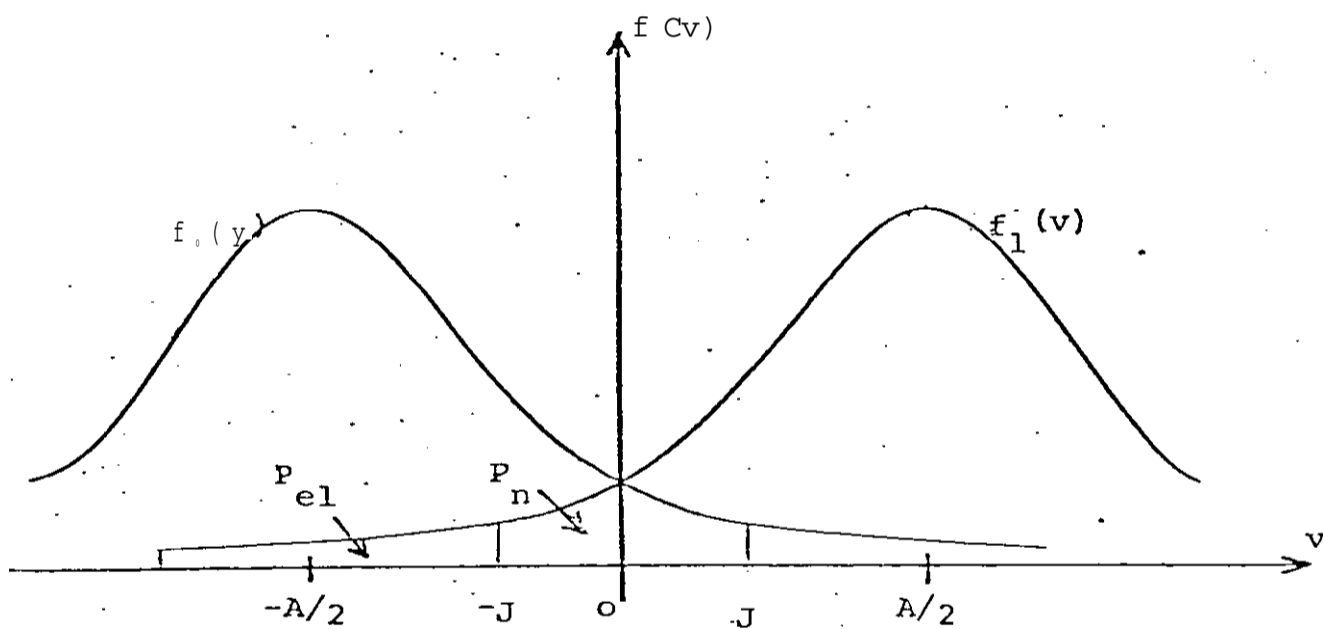


FIG. 4.8 - Detecção por zona nula - Probabilidades de erro

P_n , agora, é a probabilidade de que o sinal recebido (pulso de amplitude $\pm A/2$ mais ruído) tenha um valor abaixo de $+J$. Se P_{el} representa a probabilidade de que o sinal recebido esteja na região nula, a probabilidade de erro, se o 1 for transmitido, é a soma das probabilidades de que [1) a amostra recebi

da tenha um valor menor que $-J$, (2) a amostra situe-se na região nula e a retransmissão tenha um valor menor que $-J$, (3) a amostra e a 1ª retransmissão situem-se na zona nula e a 2ª retransmissão tenha um valor menor que $-J$, e assim sucessivamente.

Logo

$$P_e = \sum_{k=1}^{\infty} P_n^k e^{-P_n k} \quad (4.17)$$

ou

$$P_e = \frac{P_n}{1 - P_n} \quad (4.18)$$

O número médio de transmissões efetuadas até que o detetor tome uma decisão (correta ou não) é dado por

$$N = \sum_{j=1}^{\infty} j (1 - P_n)^{j-1} P_n \quad (4.19)$$

$$N = \sum_{j=1}^{\infty} j (1 - P_n)^{j-1} P_n$$

$$N = \frac{d}{d P_n} \sum_{j=1}^{\infty} (1 - P_n)^j P_n$$

$$N = \frac{d}{d P_n} \left[\frac{1 - P_n}{1 - P_n} \right]$$

$$N = \frac{1}{P_n} \quad (4.20)$$

Combinando (4.18) e (4.20) podemos escrever

$$P_e = N P \quad (4.21)$$

Para se ter uma idéia quantitativa do que é possível obter com a zona nula, consideremos que a probabilidade de erro sem a mesma é 10^{-4} (figura 4.7), o que requer uma relação sinal/ruído de 18 db. O deslocamento do nível de decisão de zero para $\pm J/2$ é equivalente, em termos de probabilidade de erro, a manter o mesmo em zero e reduzir A de J unidades. Para J/a igual a 2 db tem-se

$$A - J \text{ db} = 16 * P_n = 10^{-4}$$

$$R'' = \frac{1}{1 - P_n} = 1,0001$$

$$- \quad * \quad 4$$

de modo que em media, apenas um digito binário em 10 precisa ser repetido. Para calcular o efeito sobre a probabilidade de erro lembremos que uma zona nula de largura J equivale a manter o limiar de decisão em zero e aumentar A de J unidades. Então:

$$P_e = \frac{1}{2} \left[1 - \operatorname{erf} \left(\frac{A+J}{2\sigma\sqrt{2}} \right) \right] = \frac{1}{2} \left[\operatorname{erfc} \left(\frac{A+J}{2\sigma\sqrt{2}} \right) \right] \quad (4.22)$$

onde

$$\operatorname{erfc}(x) = 1 - \operatorname{erf}(x)$$

é a função erro complementar de x . Para $A/\sigma \gg 1$, podemos usar a expansão assintótica para $\operatorname{erfc}(x)$

$$\operatorname{erfc}(x) \sim \frac{e^{-x^2}}{x\sqrt{\pi}} \quad x \gg 1 \quad (4.23)$$

de modo que

$$P_e \sim \frac{e^{-(A+J)^2/8\sigma^2}}{x\sqrt{\pi}} \quad (4.24)$$

Para $A + J = 20 \text{ db}$, obtém-se

$$P_e = 0,6 \times 10^{-6}$$

ou seja, há uma redução na probabilidade de erro em mais de uma ordem de grandeza, ao passo que a taxa de transmissão praticamente não foi afetada. ••

4.2.2 - SISTEMAS CODIFICADOS -

é sabido que um código com distância mínima d é capaz de corrigir t erros por bloco, onde

^

C4.25,

Em um receptor que usa detecção por zona nula antes da decodificação, esta capacidade de correção pode ser aproximadamente duplicada. A idéia é que agora o detetor entrega ao decodificador informação sobre a confiabilidade dos dígitos recebidos. Os dígitos detetados como nulos tem mais chance de estar errados. Sabendo disso, o decodificador, ao detetar a presença de erros, tem as localizações mais prováveis onde os mesmos se encontram e pode então corrigi-los. Desde que a quantidade de dígitos detetados como nulos seja $< (d - 1)$, os mesmos podem ser corrigidos na maioria dos casos, e o código tem sua capacidade de correção aproximadamente dobrada. No caso da palavra recebida ter mais que $(d - 1)$ dígitos de baixa confiabilidade, então o decodificador simplesmente ignora esta informação de confiabilidade e opera como se a quantização no detetor fosse de apenas duas regiões. Dessa forma, o desempenho de um receptor que usa detecção por zona nula é, no mínimo, igual aquele que usa dois níveis de quantização apenas. Uma questão extremamente importante relativa à utilização conjunta de detecção por zona nula e codificação de canal é a escolha da abertura da janela (região nula), isto é, do limiar de decisão J . Se J é um valor de tensão muito pequeno, então poucos dígitos serão de baixa confiabilidade, levando pouca informação ao decodificador. Por outro lado, se J é um va

lor de tensão muito alto, então quase todos os dígitos recebidos serão de baixa confiabilidade, o que não interessa ao decodificador. De um modo ou de outro, o receptor se comportaria como se Q fosse igual a 2. Percebe-se então a existência de um valor ótimo para J , no sentido de minimizar a probabilidade de erro na saída do decodificador, o qual é função da relação sinal/ruído existente e do tipo de código usado.

4.3 - PROCEDIMENTOS SUBÓTIMOS

Nesta seção descrevemos dois algoritmos de decodificação com decisão suave que são subótimos no sentido de que o ganho teórico máximo possível de obter com este tipo de decisão não é atingido. O primeiro deles, devido a Harrison^{^^^}, utiliza o código de Hamming (7,4,3) e é descrito a seguir.

Sabe-se que quanto maior for o número de níveis de quantização em um esquema de decisão suave, maior é a quantidade de informação útil à qual o decodificador tem acesso. Entretanto pode ser mostrado, que a utilização de mais de 16 níveis tem pouco efeito sobre a probabilidade de erro do sistema. Como a complexidade dos circuitos detetores/decodificadores aumenta rapidamente com o acréscimo do número de níveis Harrison analisou o desempenho de um sistema que utilizava apenas 4 regiões de decisão, como mostra a figura 4.9, onde

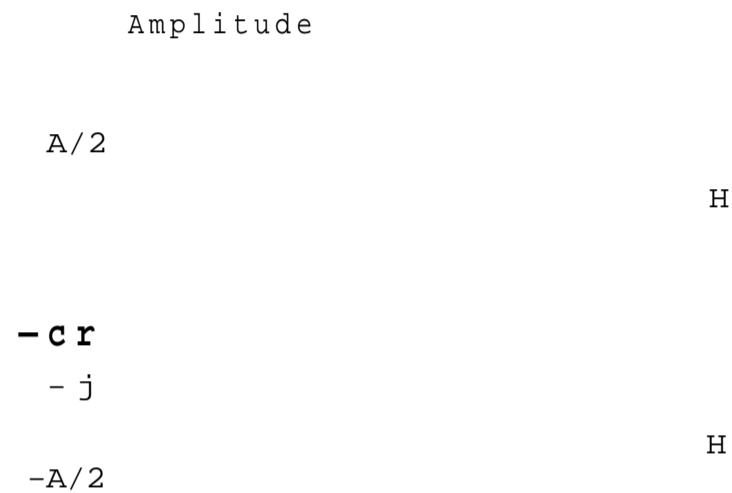


FIG.4.9 - ALGORITMO DE HARRISON - REGIÕES DE QUANTIZAÇÃO

H e L representam as regiões de alta e baixa confiabilidade respectivamente. Vimos; no cap. -3 que a síndrome de uma "palavra recebida é igual a i -ésima coluna da matriz H se um erro ocorreu na posição i . Todavia, se dois dígitos estão errados, a síndrome indica a ocorrência de um erro em uma terceira posição, que está correta, e ao tentar corrigi-la, o decodificador introduz um outro erro na palavra. Este efeito pode ser diminuído quando se usa decisão suave, fazendo-se com que 'o decodificador tente corrigir somente as posições de baixa confiabilidade. O procedimento de Harrison consiste basicamente dos seguintes passos:

1 - Se a palavra recebida possui 0,1 ou mais que dois dígitos' de baixa confiabilidade então o decodificador~atua normalmente, como se não tivesse havido decisão suave na detecção.

2 - Se a palavra recebida tem dois dígitos de baixa confiabilidade, -então a síndrome da mesma é calculada e então:

a) Se S é igual a zero então a palavra é suposta estar correta e é liberada.

b) Se S indica um erro sobre uma posição de baixa confiabilidade, então a mesma é corrigida e a palavra liberada.

c) Se S indica um erro em uma posição de alta confiabilidade então os dois dígitos de baixa confiabilidade são invertidos e a síndrome é recalculada. Se o novo valor de S for zero então dois erros foram detetados e corrigidos. Em caso contrario ocorreu um erro em uma posição de alta confiabilidade e o decodificador-deve -operar normalmente, desprezando a informação probabilística.

.. As curvas de desempenho obtidas com este algoritmo para três limiares de decisão diferentes, são mostrados na figura 4.10. Observemos a existência de um valor ótimo para J entre 40/50% da amplitude dos pulsos binários transmitidos, que permitem um ganho de aproximadamente 1 db para o algoritmo proposto por Harrison.

O segundo procedimento subotimo que descrevemos, devido a Farrell e Kalligeros^{^^} utiliza um código, de um dígito de paridade, de comprimento igual a 8, e um detetor de decisão suave quantizado em 8 regiões, cujos níveis valem $+Q,25V, \pm Q,5V$ e $+0,75y$, para sinais de amplitude $\pm IV-$

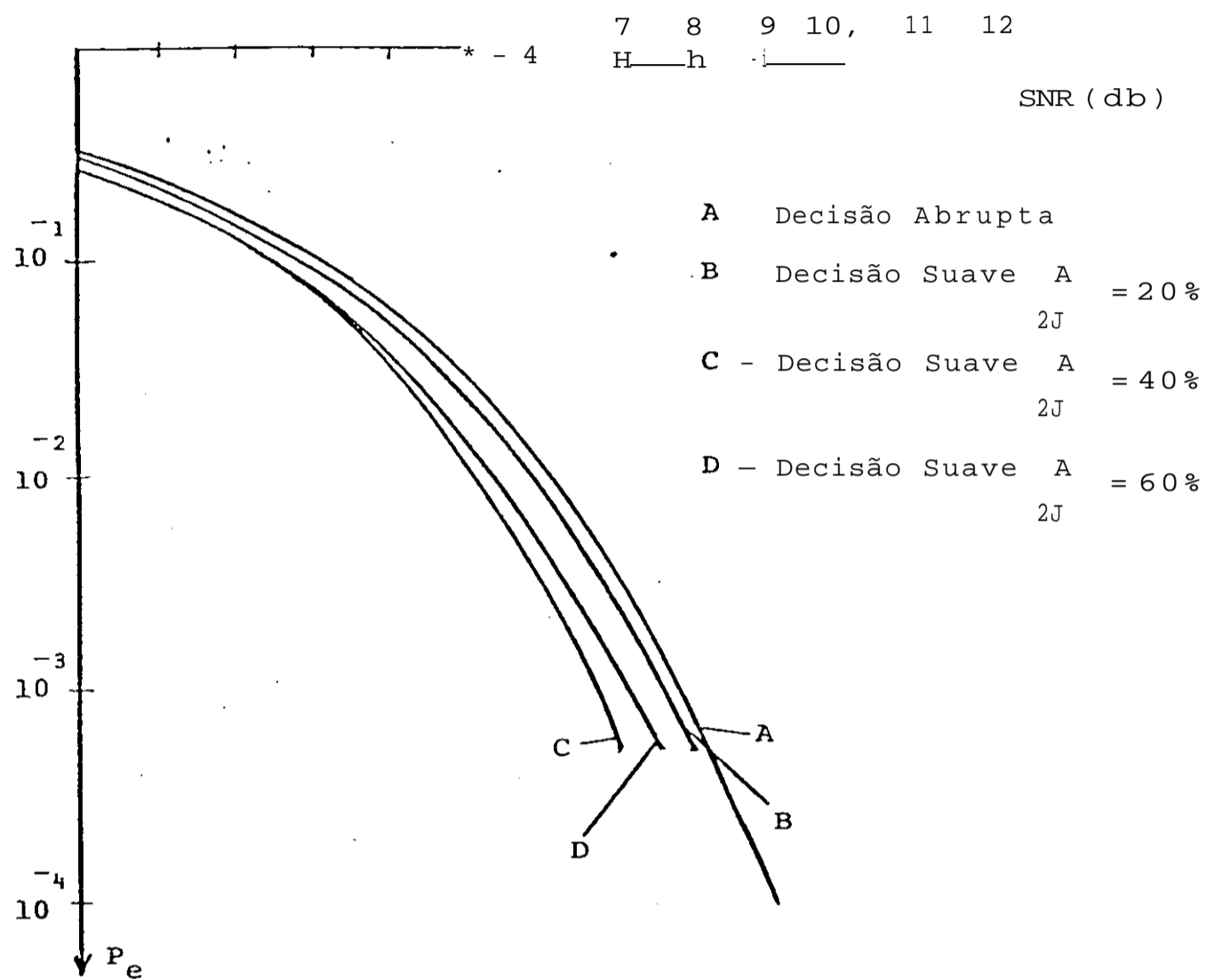


FIG. 4.10 - ALGORITMO DE HARRISON - CURVAS DE DESEMPENHO. _

O algoritmo consiste basicamente dos seguintes passos:

a) Avaliar os dígitos $\pm 2^{*} 6^{*} 7^{*} 1^{*} 6^{*} 4^{*} 5^{*}$ "bytes" de confiabilidade.

b) Recalcular o dígito de paridade C^{\wedge} a partir dos dígitos de informação e compará-lo com o valor recebido de C^{\wedge} .

b-1 - Se estiver correto, assumir que não houve erros e liberar a palavra.

b-2 - Em caso contrário, inverter o dígito de mais baixa confiabilidade, de modo a corrigir o erro isolado* mais provável, e liberar a palavra.

A curva de desempenho, obtida por simulação em computador, relacionando probabilidade de erro e relação sinal/ruído para este algoritmo é mostrado na figura 4.11. Para relações sinal/ruído maiores que -2.5 db observa-se um ganho em relação ao sistema sem codificação, o qual é maior * que aquele obtido por um código de Hamming de mesmo comprimento e/ou eficiência.

Os procedimentos descritos acima não apresentam nenhuma propriedade de otimalidade em relação a algum critério. De fato, os limiares de decisão (abertura da janela no método de Harrison e o posicionamento dos níveis de quantização no trabalho de Farrell/Kalligeros) são estabelecidos de maneira inteiramente arbitrária, o que é responsável, em parte, pelo desempenho subótimo dos dois algoritmos.

Na seção seguinte abordaremos algumas investigações teóricas, baseadas em certos critérios de otimização, que levam a definição de valores ótimos para J .

4.4 - NÍVEIS DE QUANTIZAÇÃO ÓTIMOS -

A definição dos níveis de quantização em um receptor que faz uso de decisão suave é uma questão fundamental no projeto dos sistemas de comunicação que empregam es

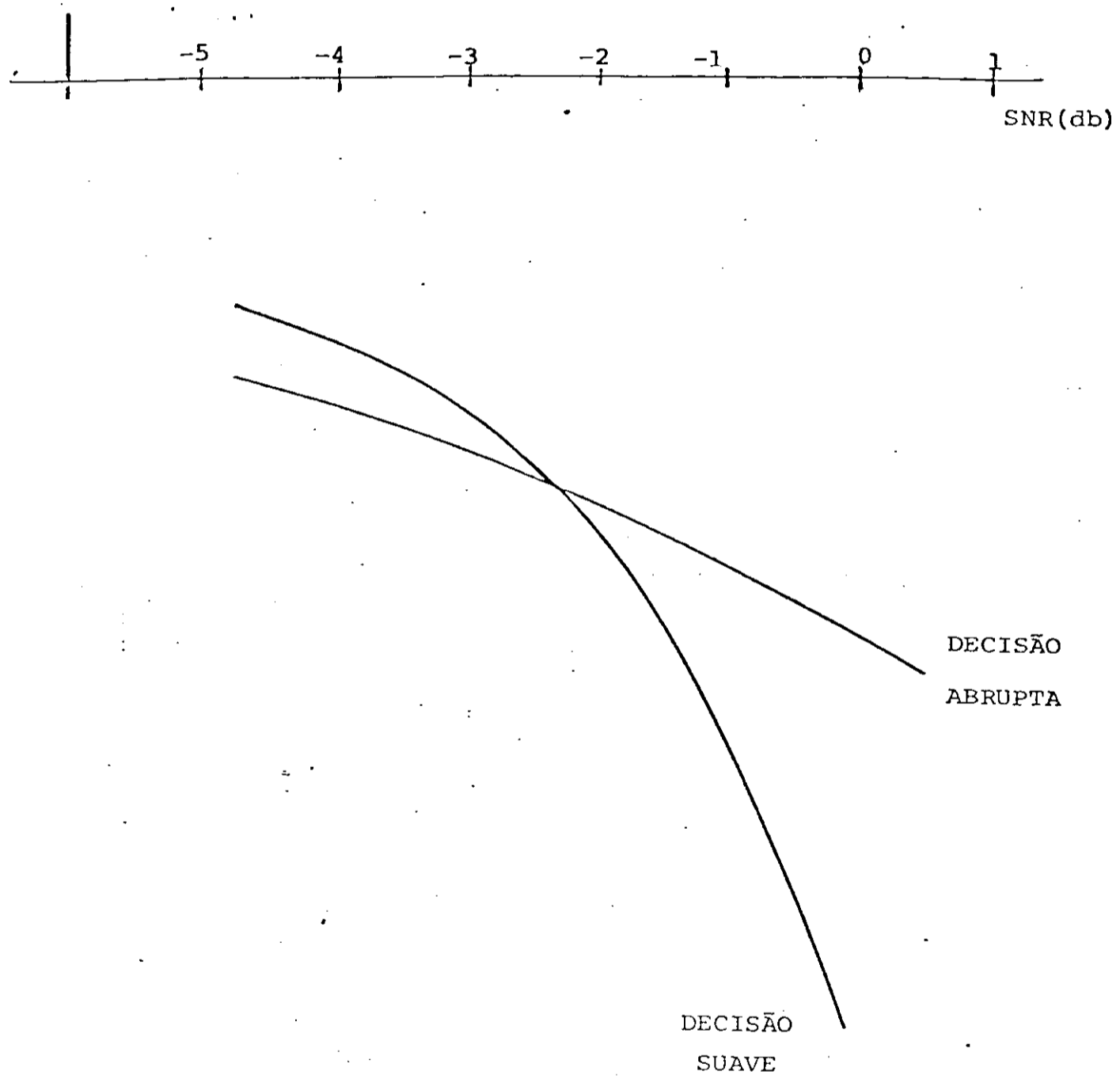
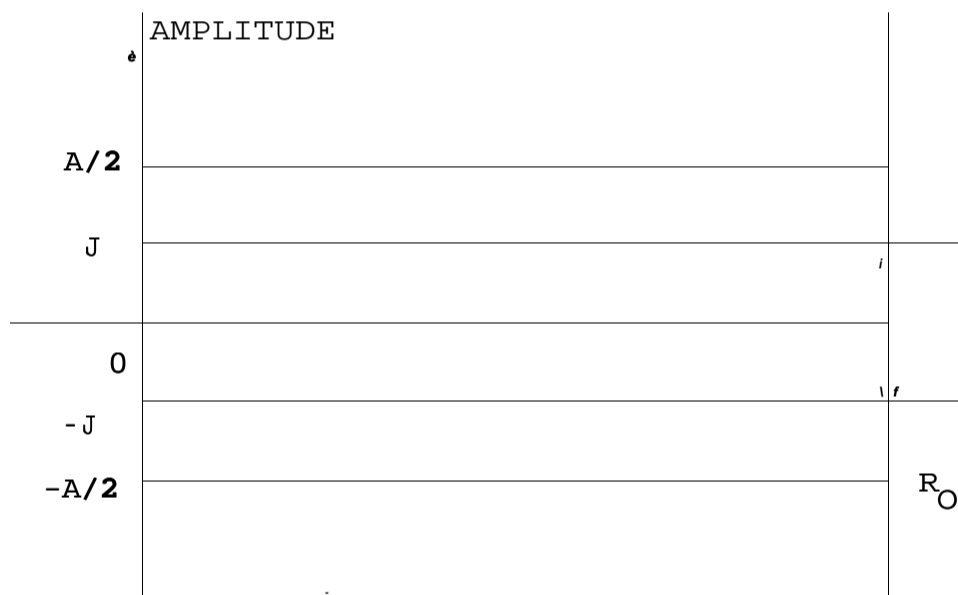


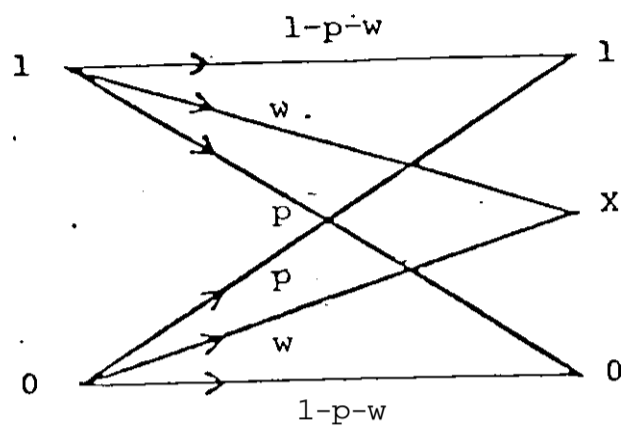
FIG.4.11 - CURVAS DE DESEMPENHO DO ALGORITMO DE FARRELL E KALLIGEROS

te tipo de detecção. Nesta seção, abordaremos este tipo de problema para um receptor cujo espaço de sinal é quantizado em três regiões, isto é, tentaremos encontrar o valor ótimo da abertura J , conforme a figura 4.12. Este procedimento é devido a Bloom et al



FIG, 4.12 - DETEÇÃO POR ZONA NULA - CÁLCULO DO VALOR ÓTIMO DE J

Inicialmente provaremos a existência de um valor ótimo para J , no sentido de maximizar a taxa de informação, em bits por símbolo. O diagrama de probabilidades de transição referente à figura 4.12 é mostrado a seguir



e w são definidos por

$$p = \frac{r \int_0^a e^{-(v-A/2)^2/2\sigma^2} dv}{a/2\sqrt{\pi}} \quad (4.26)$$

$$w = \frac{r^J}{2\sqrt{\pi}} \int_0^a e^{-(v-A/2)^2/2\sigma^2} dv \quad (4.27)$$

A taxa de informação para este tipo de canal é dada por⁽³⁾

$$R(J) = P(1|D) \log_2 \frac{2P(1U)}{P\{1|1\}+P\{0|1\}} + P(0|D) \log_2 \frac{2P(011)}{P\{1|1\}+P\{0|1\}} \quad (4.28)$$

ou

$$R(J) = (1-p-w) \log_2 \left| \frac{2\zeta(1-p-w)}{1-w} \right| + p \log_2 \left| \frac{2w}{1-w} \right| \quad (4.29)$$

Para mostrar que $R(J)$ possui um máximo para algum $J > 0$, precisamos que

$$\frac{-3K}{J} \sim 0 \quad ? \cdot 0 \quad C4-30)$$

Isto pode ser feito se escrevermos

$$P(1|1) = 1 - \int_{-J}^{J-A/2} f_n(v-A/2)dv - \int_{-J}^{J-A/2} f_n(v-A/2)dv \quad C4.31a)$$

ou

$$P(1|1) = \int_{-J}^{J-A/2} f_n(v-A/2)dv + \int_{-J}^{J-A/2} f_n(x)dx \quad (4.31b)$$

: -J

$$P(0|1) = \int_{-J}^{J-A/2} f_n(v-A/2)dv \quad (4.32)$$

ou

$$P(0|1) = \int_{-J-A/2}^{J-A/2} f_n(x)dx \quad (4.33)$$

derivando (4.28) obtemos

$$R(J) = P'(1|1) \log_2 \frac{2P(1|1)}{P(1|1)+P(0|1)} + P'(0|1) \log_2 \frac{2P(0|1)}{P(1|1)+P(0|1)} \quad (4.34)$$

onde

$$P'(1|1) = -f_n(J-A/2) \quad (4.35)$$

$$P'(0|1) = -f_n(J-A/2) \quad (4.36)$$

Segue-se então que

$$C = - f_c - v_2 \log_2 \frac{4P(1|1)P(0|1)}{P(1|1)+P(0|1)} \quad (4.37)$$

Considerando que $P(1|1) > P(0|1)$

tem-se

$$P(1|1) + P(0|1) > 4P(1|1)P(0|1)$$

e assim $R' > 0$ desde que $f_c > 0$. Portanto, a taxa de informação R atinge um máximo para algum valor de $J > 0$. No que se segue encontraremos valores ótimos para J relacionados com a figura 4.12 e determinaremos o ganho que o mesmo apresenta em relação aos sistemas que não usam decisão suave.

4.4.1 - SISTEMAS SEM CODIFICAÇÃO -

O ganho que se pode ter em relação a probabilidade de erro com um esquema como o da figura 4.9 e função do tipo de ruído existente no sistema. Quando o mesmo é do tipo aditivo Gaussiano, as probabilidades de transição p e w são dadas pelas expressões (4.26) e (4.27). As probabilidades $P(1|1)$ e $P(0|1)$ podem ser calculadas diretamente com o auxílio da figura 4.13.

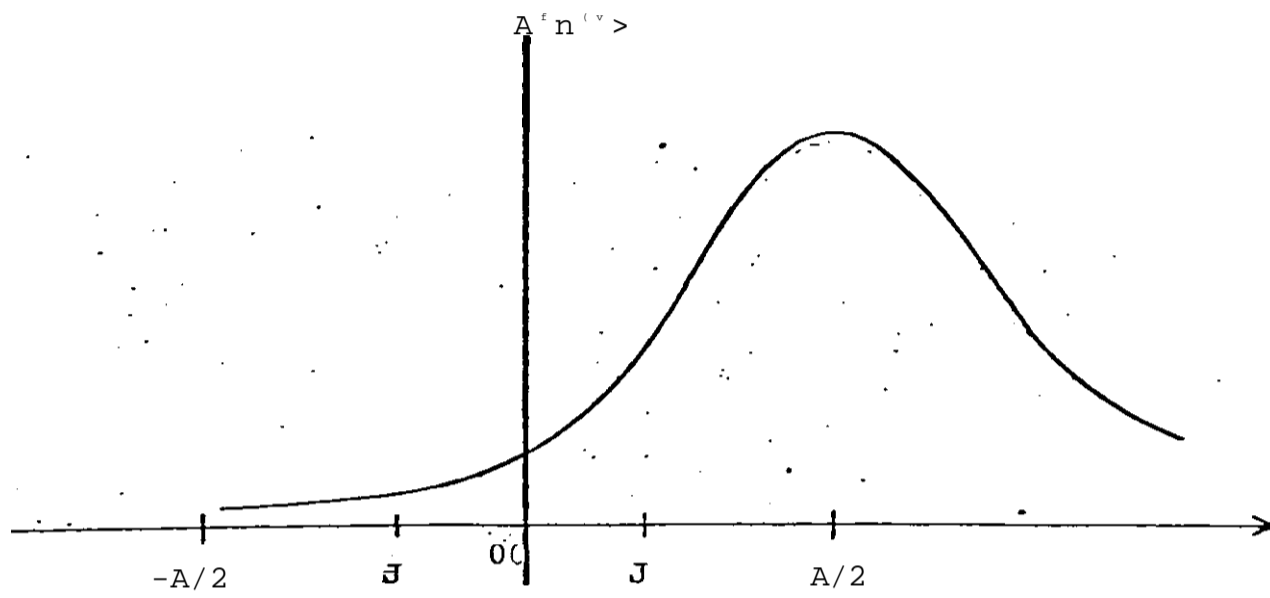


FIG.4.13 - Densidade de probabilidade de um pulso de amplitude $A/2$, em presença de ruído Gaussiano

Temos

$$\frac{1}{\sigma\sqrt{2\pi}} \int_{-A/2}^{A/2} e^{-(v-A/2)^2/2\sigma^2} dv \quad (4.38)$$

ou

$$P(1|D) = \frac{1}{\sigma\sqrt{2\pi}} \int_{-A/2}^{A/2} e^{-x^2} dx \quad (4.39)$$

e assim

$$P(1|1) = \frac{1}{2} \left[1 + \operatorname{erf} \frac{A/2 - X}{\sigma} \right] \quad (4.40)$$

De maneira análoga

$$P(0|1) = \int_{-a}^{a} \frac{1}{\sqrt{2\pi}} e^{-\frac{(v - J - A/2)^2}{2\sigma^2}} dv \quad (4.41)$$

ou

$$P(0|1) = \frac{1}{\sqrt{2\pi}} \int_{\frac{-J-A/2}{\sigma}}^{\frac{J-A/2}{\sigma}} e^{-x^2} dx \quad (4.42)$$

$$P(0|1) = \frac{1}{2} \left[1 - \operatorname{erf}\left(\frac{J-A/2}{\sigma}\right) \right] \quad (4.43)$$

O valor ótimo de J ocorre quando (4.34) torna-se zero e pode ser obtido com o auxílio de (4.40) e (4.43). A figura 4.14 mostra a taxa de informação R como função da relação sinal/ruído, quando J assume este valor ótimo. Para efeito de comparação apresentamos os resultados obtidos para os casos extremos de apenas duas regiões de decisão e de um número infinito de níveis de quantização.

Observamos que, com o emprego da zona nula podemos obter cerca de 50% do ganho teórico possível. Um desempenho superior a este requer um maior número de regiões de quantização, porém, acima de 16 níveis o acréscimo em ganho não justifica a complexidade dos circuitos detetores ⁽³¹⁾

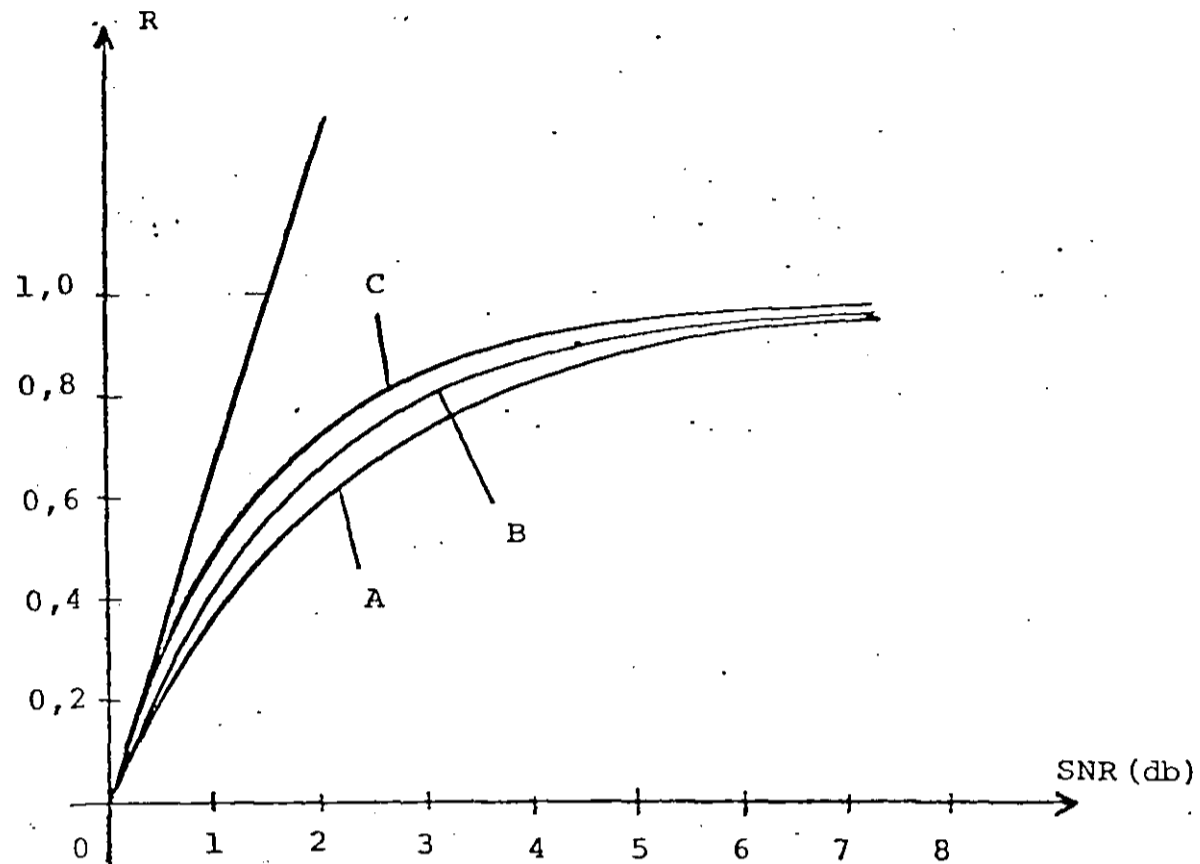


FIG. 4.14 - TAXA DE INFORMAÇÃO COMO FUNÇÃO DA RELAÇÃO SINAL / RUÍDO

- (A) DECISÃO ABRUPTA ($Q=2$)
- (B) DETEÇÃO POR ZONA NULA
- (C) $Q = -$

. Um aspecto importante relacionado com os níveis de quantização ótimos de um esquema de decisão suave é o fato de que os mesmos dependem da relação sinal/ruído do sistema, a qual nem sempre é constante. Sendo assim, é praticamente impossível manter-se a propriedade de otimalidade de um dado nível de decisão. Para um esquema como o da figura 4.9 portanto, é importante que se analise o comportamento do sistema em relação a variações de A/σ . Para se fazer isto é conveniente introduzirmos um fator N , o qual representa a am

plituãe da. janela J normalizada em relação a amplitude do¹
sinal- Assim

$N \hat{a}$

Na figura 4.15, obtida diretamente da expressão 4.34, está mostrada a dependência entre N e a relação sinal/ruído do sistema.

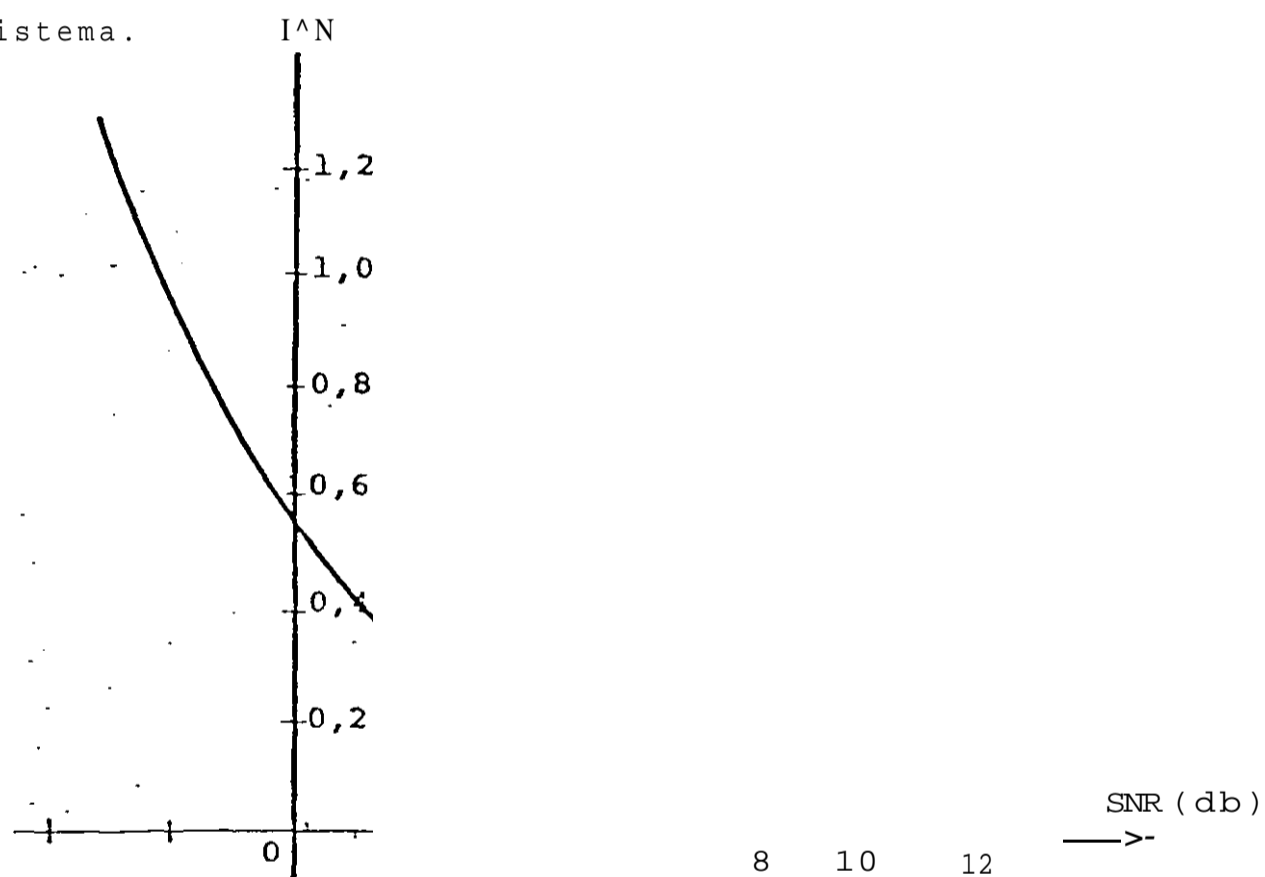


FIG-4.15 - VALOR ÔTXMO DA REGIÃO NULA EM FUNÇÃO
DA RELAÇÃO SINAL/RUIDO

Se considerarmos um valor N_0 fixo, que é ótimo para uma dada relação sinal/ruído e acontece da mesma maneira diminuir, então N estará entre zero e o novo valor ótimo. Observando a figura 4.16, onde está mostrada a equivocação, em função de J , para diversos valores da relação sinal/ruído, vê-se que

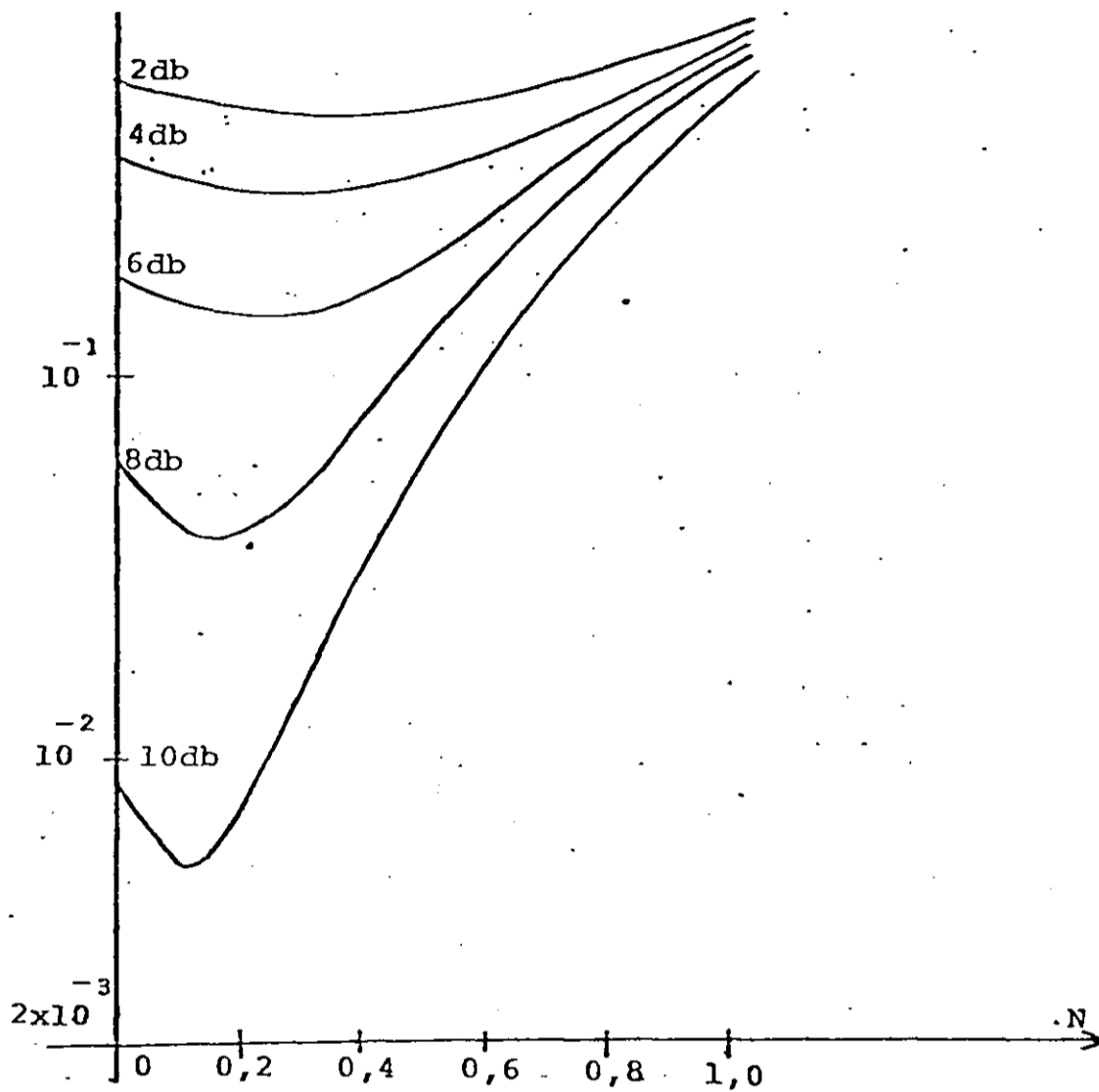


FIG.4.16 - EQUIVOCAÇÃO EM FUNÇÃO DE JS EM UM SISTEMA DE DETEÇÃO POR ZONA NULA.

para valores pequenos de A/σ o sistema de detecção por zona nula que estamos analisando tem um desempenho superior àquele que usa apenas duas regiões de decisão. Porém, o contrário acontece quando A/σ aumenta. Isto acontece porque nesse caso o sistema de detecção destrói muita informação, parte da qual é de alta confiabilidade e está disponível no esquema de dois níveis. Esta degradação em desempenho pode ser superada se o espaço de sinal é quantizado em quatro regiões e

a performance obtida, é sempre superior aos outros dois casos. Observamos ainda que quando o valor de J é aproximadamente duas vezes seu valor ótimo, o sistema tem um desempenho inferior aquele que teria se Q fosse igual a 2. Esta sensibilidade em relação sinal/ruído (ou do valor ótimo de J) é uma característica negativa do sistema de detecção por zona nula.

4.4.2 - SISTEMAS CODIFICADOS -

Veremos agora como o desempenho de um código corretor de erro pode ser melhorado se o mesmo é usado juntamente com um detetor de decisão suave. Consideremos o código de Hamming $(n, n-1, 2)$, capaz de detetar um erro em cada bloco de n dígitos. Este é um código de um dígito * de paridade, o qual é calculado pela soma módulo 2 dos $n-1$ dígitos de informação. O emprego de três regiões de decisão¹ (zona nula) permite que o dígito de paridade seja utilizado¹ não apenas para detecção de erros mas também, em muitos casos, para correção dos mesmos. Sempre que uma palavra recebida tiver um X (nulo), o dígito de paridade é usado para preencher esta posição e a palavra é aceita. Se q^j/p_j e u^j representam, respectivamente, as probabilidades de que um dígito transmitido seja recebido corretamente, erradamente ou como um nulo, então pode-se mostrar que

$$\langle \hat{i}_x \rangle = \frac{1}{2} \left[C_1 + \operatorname{erf} \left(\frac{CA_0 - J_0 n}{\sigma} \right) \right] \quad (4.45a)$$

$$P_1 = \frac{1}{2} \left[C_1 + \operatorname{erf} \left(\frac{A_0 + J_0}{\sigma} \right) \right] \quad (4.45b)$$

$$u_x = \frac{1}{2} \left[\operatorname{erfc} \left(\frac{A_0 + J_0}{\sigma} \right) - \operatorname{erf} \left(\frac{A_0 - J_0}{\sigma} \right) \right] \quad (4.45c)$$

onde

$$\sigma^2 = \frac{A_0}{2} \quad (4.46a)$$

$$\sigma^2 = \frac{A_0}{2} \quad (4.46b)$$

A probabilidade de que uma palavra aceita na recepção difira em r posições da palavra código-enviada é dada por

$$P_r = \sum_{i=0}^{n-r} \binom{n-r-i}{i} q_1^i p_1^{n-r-i} + \sum_{i=0}^{n-r-1} \binom{n-r-i}{i} q_1^i p_1^{n-r-i} \quad (4.47)$$

Para que isto ocorra é preciso a interpretação errada de r posições, sendo r um número par. A expressão (4.47) vem do fato de que isto pode ocorrer de três modos diferentes:

1 - Quando não existirem brancos (x) e r erros forem cometidos.

2 - Quando um branco for recebido e preenchido corretamente, tendo ocorrido r erros.

3 - Quando um branco for recebido e preenchido erradamente,

tendo ocorrido $r \sim 1$ erros.

Para que uma palavra recebida seja aceita ela deve conter, no máximo, um "nulo". Assim, se g , p e u representam, respectivamente, as probabilidades de que uma palavra código recebida seja aceita corretamente, erradamente, ou não seja aceita, temos

$$p + q + u = 1 \quad (4.48)$$

$$P_{+q} = \sum_{r=0}^n C_{n,r} p^r q^{n-r} \quad (4.49)$$

A taxa de informação, em bits por palavra, é

$$R = n(p+q) \log_2(p+q) + \sum_{r=0}^n C_{n,r} p^r q^{n-r} \log_2 p \quad (4.50)$$

A fim de encontrar valores ótimos para J consideremos o sistema para valores altos de A/σ , onde a probabilidade de ocorrência de mais de um erro (ou nulo) é pequena, ou seja

$$P_0 \approx 2^{-2A/\sigma^2} \quad (4.51)$$

nesse caso (4.50) torna-se

$$R = n Q_0 = n q \quad (4.52)$$

ou

$$R = n C_{n,1} q + (n+1) q^2 \quad (4.53)$$

diferenciando em relação a ϵ obtemos

$$- \sum_i p_i + n q_j^{-1} \epsilon u = 0 \quad (4.54)$$

e daí

$$p_i = \frac{1}{n} \quad (4.55)$$

Fazendo uso das expressões (4.45), a condição de otimalidade reduz-se a

$$e^{-\epsilon} = \frac{4A J}{n U (A_0 - J_0) - \bullet C A_0 - J_0 J} \frac{1 + \epsilon (A - J)}{2} \quad (4.56)$$

Aplicando a expansão assintótica para a função erro (expressão 4.23) ficamos com

$$e^{-\epsilon} \approx \frac{2 / (1 + \epsilon (A - J)) \bullet (A - J_0)^2}{n}$$

e assim

$$e^{-\epsilon} \approx \frac{2 (A - J_0)^2}{n} \quad (4.58)$$

ou

$$N = \frac{J}{A} = \frac{13-2/2}{2} = 17,16\% \quad (4.59)$$

Este valor ótimo para J representa um ganho em potência de aproximadamente 1,4 db em relação ao sistema onde Q vale 2- Um aumento de 0,5 db sobre este resultado, pode ser conse

guido quando se usam quatro regiões de decisão, ou seja, uma zona nula dupla. A principal desvantagem do método de zona nula para sistemas sem codificação, i.e. sua sensibilidade em relação a variação de J , também existe quando se usam códigos de modo que para certos valores de J , sistemas codificados que usam decisão suave apresentam um desempenho inferior aqueles que usam decisão abrupta antes da decodificação. Na figura 4.17 mostramos a equivocação, em função da relação sinal/ruído, para diversos esquemas de detecção. Observamos que o sistema que emprega quatro regiões de decisão (zona nula dupla) tem um desempenho apenas ligeiramente superior aquele que usa somente uma zona nula. Sua principal vantagem sobre este último, está na baixa sensibilidade, em relação a variações do nível ótimo, que o mesmo apresenta.

(37)

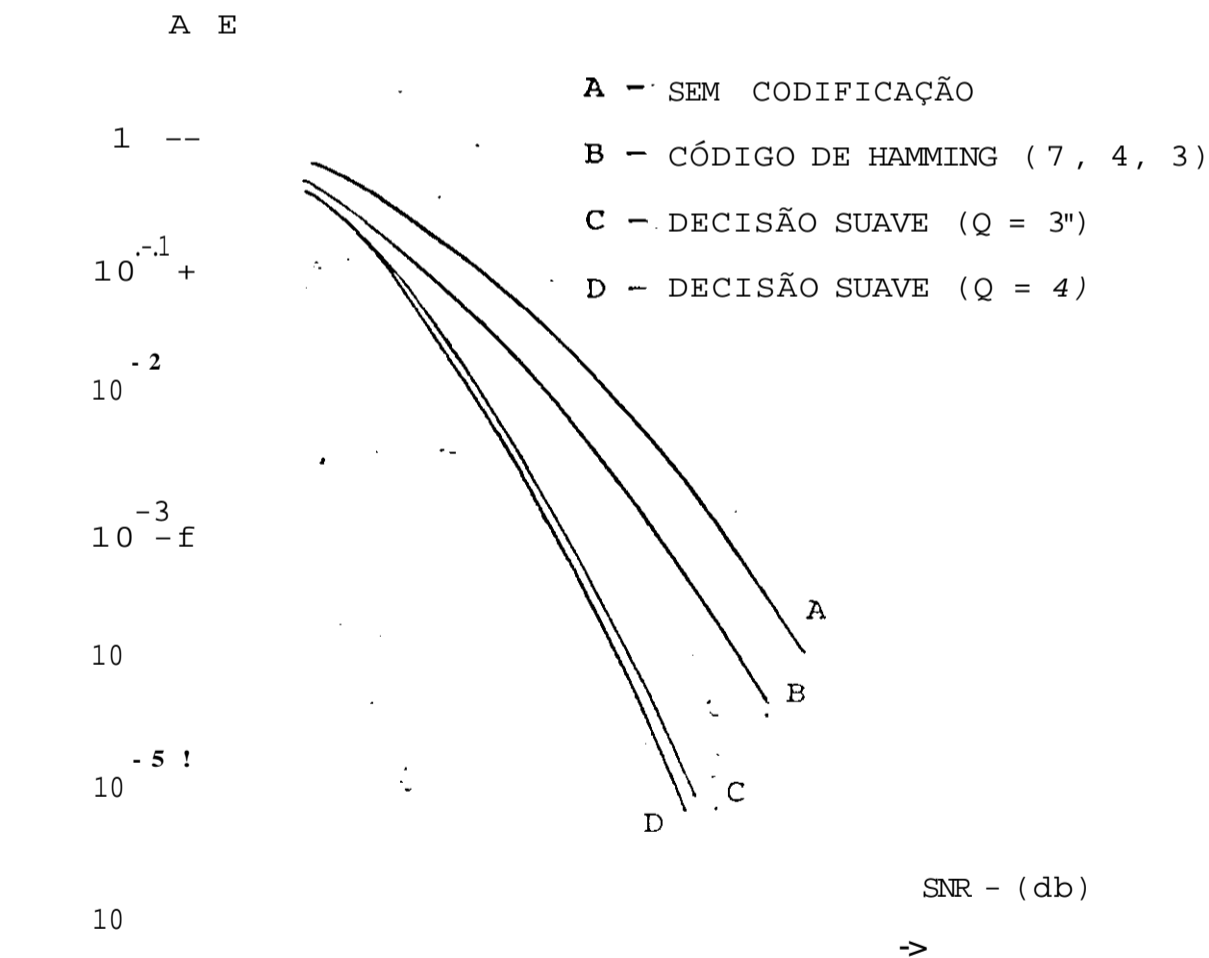


FIG. 4.17 - DETEÇÃO POR ZONA NULA - SISTEMAS CODIFICADOS

4.5 - O ALGORITMO DE HARTMANN E RUDOLPH.

Hartmann e Rudolph¹¹ introduziram um algoritmo de decodificação que é ótimo no sentido de que minimiza a probabilidade de erro por símbolo para palavras¹ código equiprováveis, em um canal binário simétrico, sendo exaustivo no sentido de que toda palavra do código dual é usada no processo de decodificação. Para um código de bloco linear $C(n,k,d)$, o código dual é $C^1(n,n-k,d^1)$, de modo que esta última característica torna-o bastante prático para códigos de alta eficiência, ao contrário do que acontece nas técnicas convencionais de códigos lineares. O algoritmo, descrito a seguir, é essencialmente estatístico sendo aplicável a códigos de bloco e códigos convolucionais.

Seja $c = (c_0, c^1, \dots, c_{n-1})$ uma palavra de um código de bloco linear $C(n,k,d)$ e $c^1 = (c^1_0, \dots, c^1_{n-k-1})$ a j -ésima palavra do código dual $C^1(n,n-k,d^1)$. A palavra c é transmitida através de um canal discreto sem memória cujo alfabeto de saída é B , de modo que a palavra recebida é $r = (r_0, r^1, \dots, r_{n-1}) / r^i \in B$. A questão que o algoritmo se propõe a resolver é, dado r , calcular uma estimativa \hat{c}_m do dígito $c_m \in E$, de modo que a probabilidade de que $\hat{c}_m = c_m$ seja máxima. Isto pode ser feito se mostrarmos-que

$$P(\hat{c}_m = s | r) = A_m(s), \quad \text{cte} \quad (4.60)$$

e estimarmos $\hat{c}_m = s$ como sendo o valor que maximiza $A_m(s)$

O lado esquerdo de (4.60) é dado por

$$P_{j-Cc^s | r} = \sum_{C \in C} P_{C | r} \cdot P_{C, c_m = s} \quad (4.61)$$

ou

$$P_{C, c_m = s | r} = \sum_{C \in C} P(r | c) \frac{P(c)}{P(r)} \quad (4.62)$$

Considerando que os símbolos de C são elementos de $GF(p)$ então tem-se

$$P(c) = \frac{1}{p^k} \quad (4.63)$$

e (4.62) pode ser reescrita como

$$P(c_m = s | r) = \sum_{C \in C} \frac{1}{p^k} P(r | c) \quad (4.64)$$

onde

$$\delta_{t,j} = \begin{cases} 1, & \text{se } t = j \\ 0, & \text{em caso contrario} \end{cases}$$

$$e = \sum_{m=0}^{m-1} \left(\frac{1}{p} \right)^m \dots \left(\frac{1}{p} \right)^{m(n-1)}$$

(4-1)
Pode-se mostrar que -

$$\sum_{t=0}^{p-1} \quad (4.65)$$

$$u.c \tag{C4.66}$$

onde

$$F(r, u) = \sum_{v \in V_n} Y_p(r | v) w^{-u \cdot v} \tag{4.67}$$

$w = e^{i 2\pi / p}$ representa a p-ésima raiz com -plexa da unidade. -Substituindo (4.65) e (4.66) em (4.64) e levando em conta que (apêndice A)

$$v.c \quad p, se v \in c \\ 0, \text{ em caso contrario}$$

chegamos a

$$P(c_m = s | r) = \sum_{t=0}^{n-1} \frac{P(r)}{P(r)} \sum_{j=0}^{p-1} Z^{j \cdot s} w^{-st} \tag{4.68}$$

Para canais sem memória, (4.67) pode ser reescrita como

$$F(r, u) = \prod_{i=0}^{n-1} P(r | v^i w) \prod_{j=0}^{p-1} \int_{Dw} \sum_{i=0}^{p-1} P(r | j) w^{-iu} \tag{4.69}$$

Ficamos então com

$$\prod_{i=0}^{n-1} \prod_{j=0}^{p-1} \int_{Dw} \sum_{i=0}^{p-1} P(r | j) w^{-st} \prod_{j=1}^{n-k} Z \tag{4.70}$$

e assim

$$r_i = \frac{A_m^{c=1} * S_n^m}{p^{c-1}} \quad (4.71)$$

No caso binário, i.e. quando $p=2$, o procedimento para decodificação consiste em escolher

0, se $A(0) > A(1)$

1, em caso contrario

Esta forma comparativa da regra de decisão pode ser apresentada de maneira mais conveniente, com o uso do conceito de razão de semelhança. Nesse caso vamos ter⁽³⁸⁾

$$c_{th} = \begin{cases} 0 & \text{se } \frac{A(0)}{A(1)} > \frac{S_n^m}{S_n^m} \\ 1 & \text{em caso contrario} \end{cases}$$

$c_{th} = 1$, em caso contrario

onde

$$P(r_i | 1)$$

representa a razão de semelhança e c_i é um elemento do código dual $\{n, n-k, d\}$ cujo significado é esclarecido no exemplo a seguir.

Usaremos o código de Hamming (7,4) para exemplificar a regra de decodificação, que neste caso torna-se:

QQ

escolher $c_0 = 0$ se $1 - \dots \setminus "5^*" > 0$
 $1 + \dots$

e $CQ = 1$ & caso contrário.

Para este código, a matriz de teste de paridade e seu espaço-linha são:

$$\begin{array}{l}
 \text{tH3} = \begin{array}{c} \begin{array}{l} 1 \ 1 \ 1 \ 0 \ 1 \ 0 \ 0 \\ 0 \ 1 \ 1 \ 1 \ 0 \ 1 \ 0 \\ 0 \ 0 \ 1 \ 1 \ 1 \ 0 \ 1 \end{array} \left| \begin{array}{l} (a) \\ (b) \\ (c) \end{array} \right. C(c1_i) : \\ \end{array} \quad \begin{array}{l} \begin{array}{l} \cdot 0 \ \cdot 1 \ \cdot 2 \ \cdot 3 \ Cb \ c_s \\ 0 \ 0 \ 0 \ 0 \ 0 \ 0 \ 0 \\ 1 \ 1 \ 1 \ \cdot 0 \ 1 \ 0 \ 0 \ (a) \\ 0 \ 1 \ 1 \ 1 \ 0 \ 1 \ 0 \ (b) \\ 1 \ 0 \ 0 \ 1 \ 1 \ 1 \ 0 \ (a)\otimes(b) \\ 0 \ 0 \ 1 \ 1 \ 1 \ 0 \ 1 \ (c) \\ 1 \ 1 \ 0 \ 1 \ 0 \ 0 \ 1 \ (a)\otimes(c) \ i. \\ 0 \ 1 \ 0 \ 0 \ 1 \ 1 \ 1 \ (b)\otimes(c) \ ; \\ 1 \ 0 \ 1 \ 0 \ 0 \ 1 \ 1 \ (a)\otimes(b)\otimes(c)' \end{array} \end{array}
 \end{array}$$

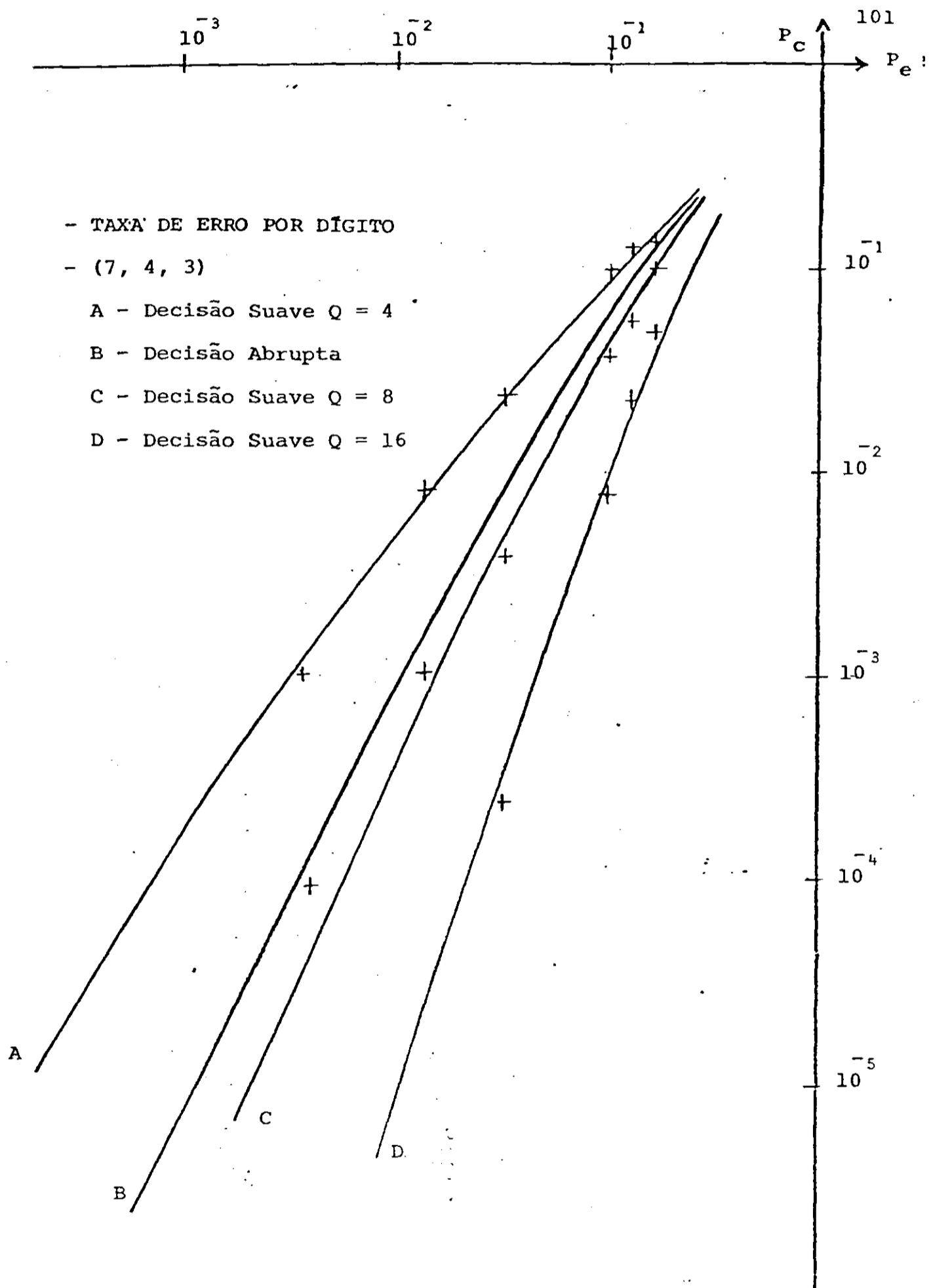
-fazendo $1 - \dots = p$, teremos $1 + \dots$

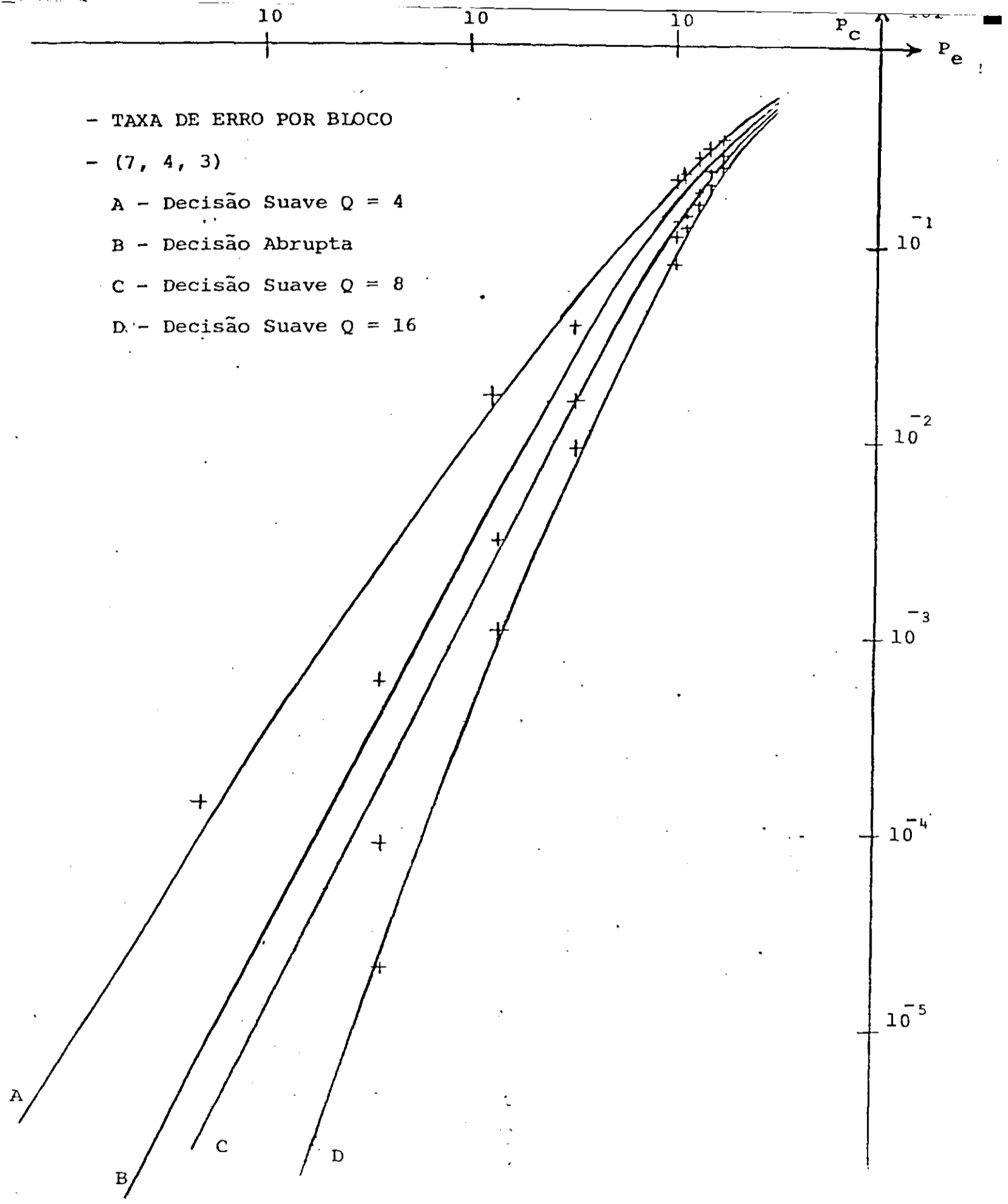
$$\begin{array}{l}
 c_0 = 0 \text{ se } \dots \text{ se } \dots \\
 \dots \text{ se } \dots \text{ se } \dots
 \end{array}$$

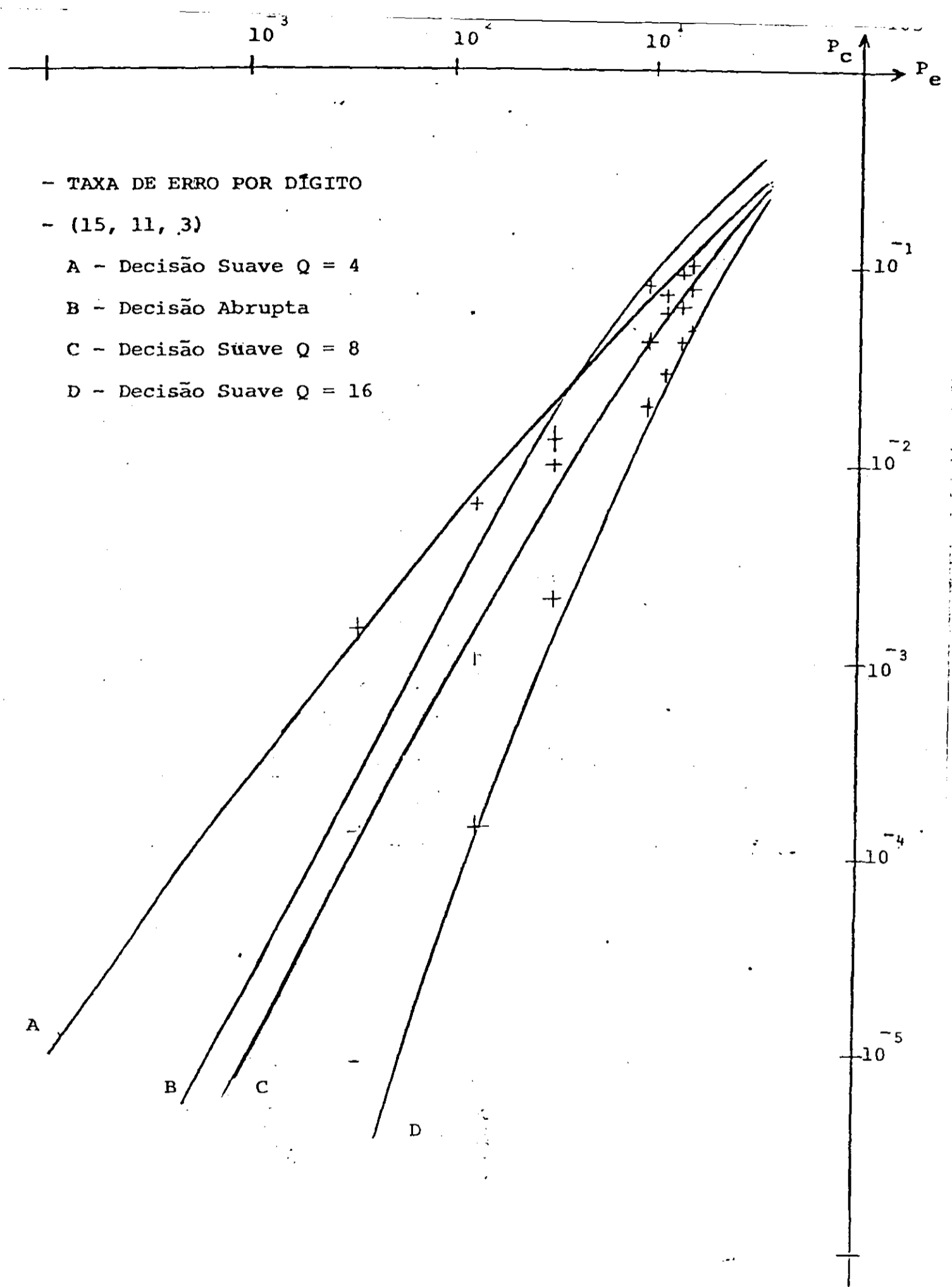
ou seja

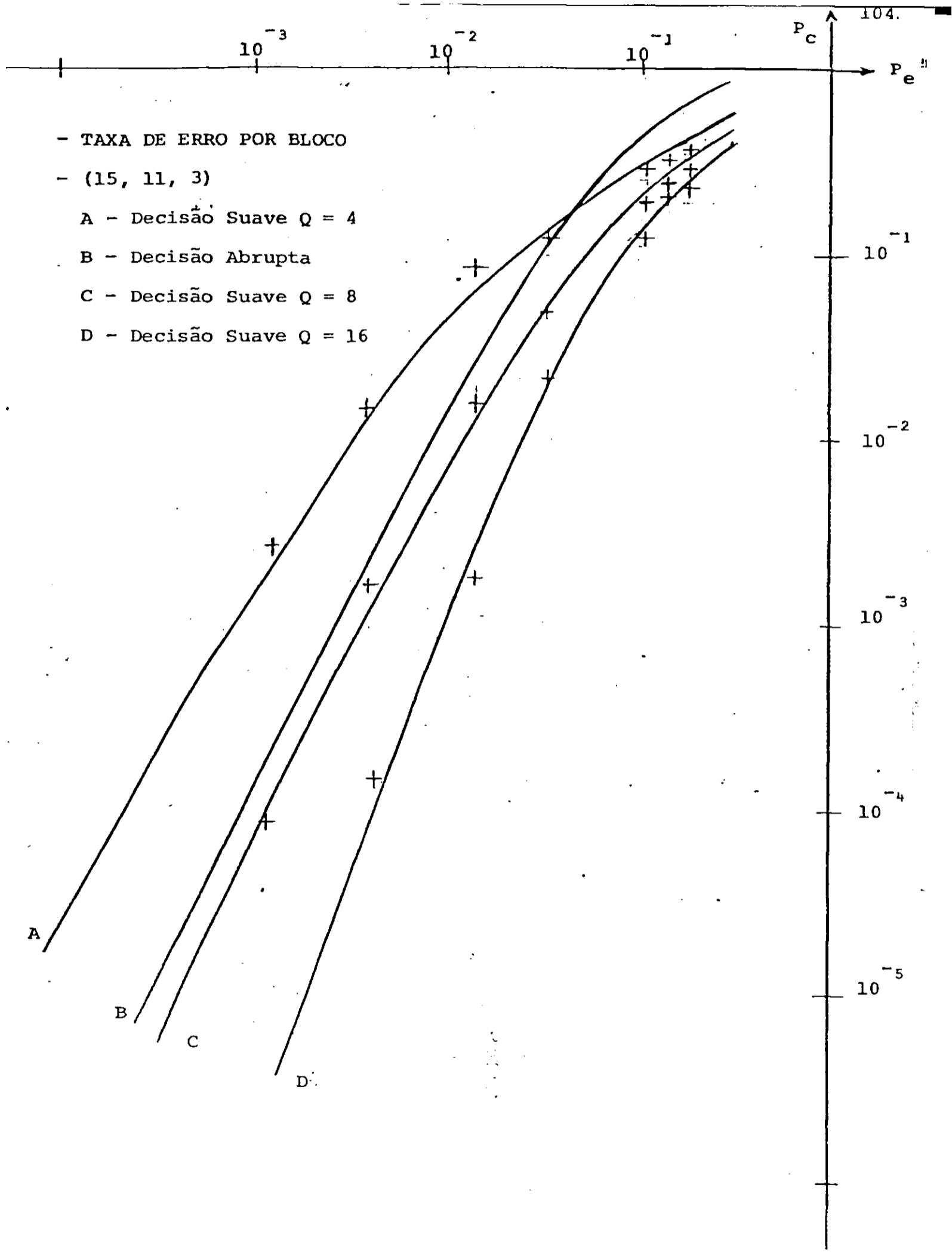
$$\begin{array}{l}
 c_0 = 0 \text{ se } \dots \\
 \dots
 \end{array}$$

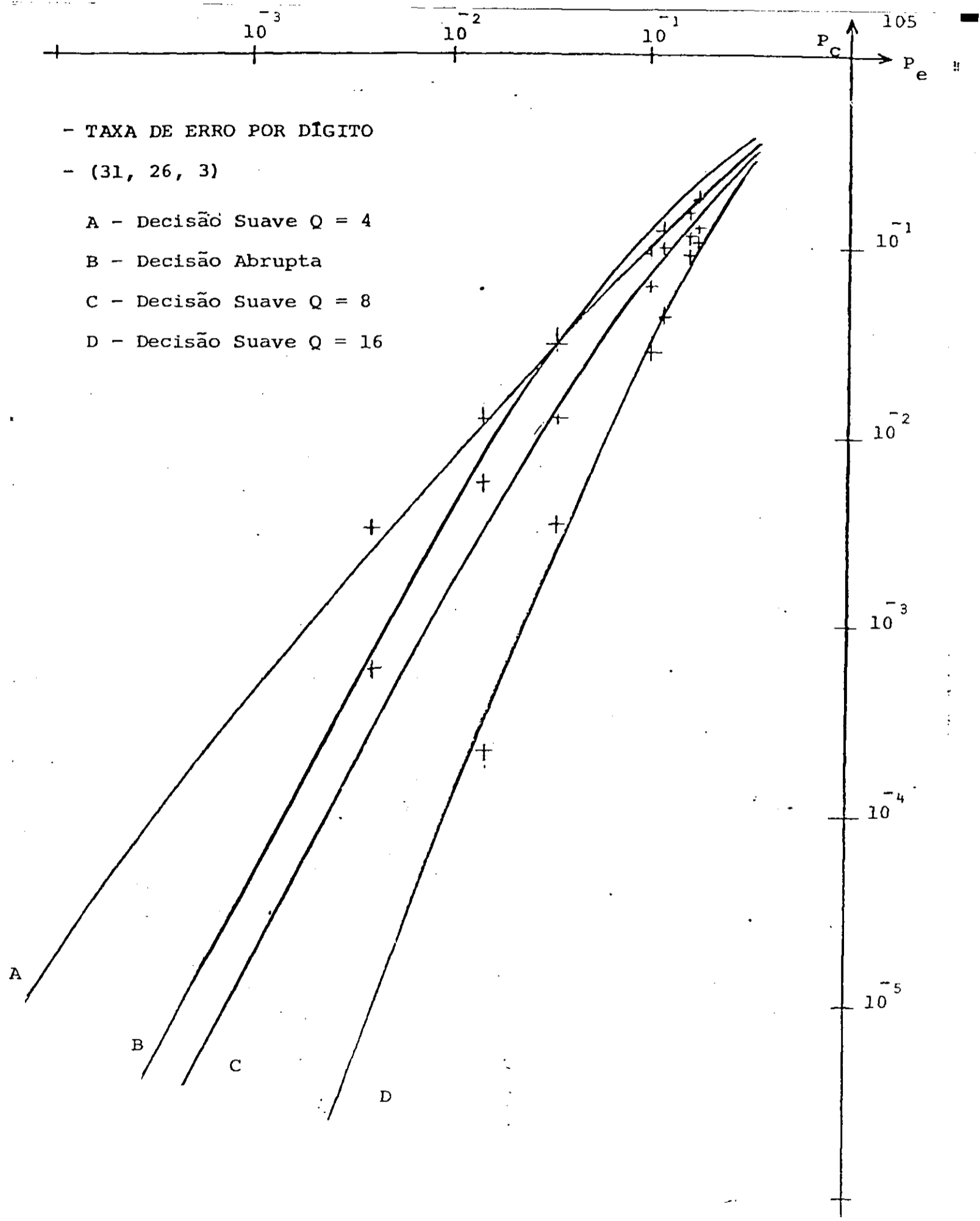
Testados o algoritmo de Hartmann e Rudolph, através de simulação, em computador (Apêndice B), para alguns códigos de bloco lineares. Os gráficos obtidos estão mostrados nas páginas 101 -a 112 . Foram usados três códigos cíclicos $(7,4)$, $(15,11)$ e $(31,26)$, todos com a mesma capacidade de correção. No capítulo seguinte é feita uma análise desses resultados.

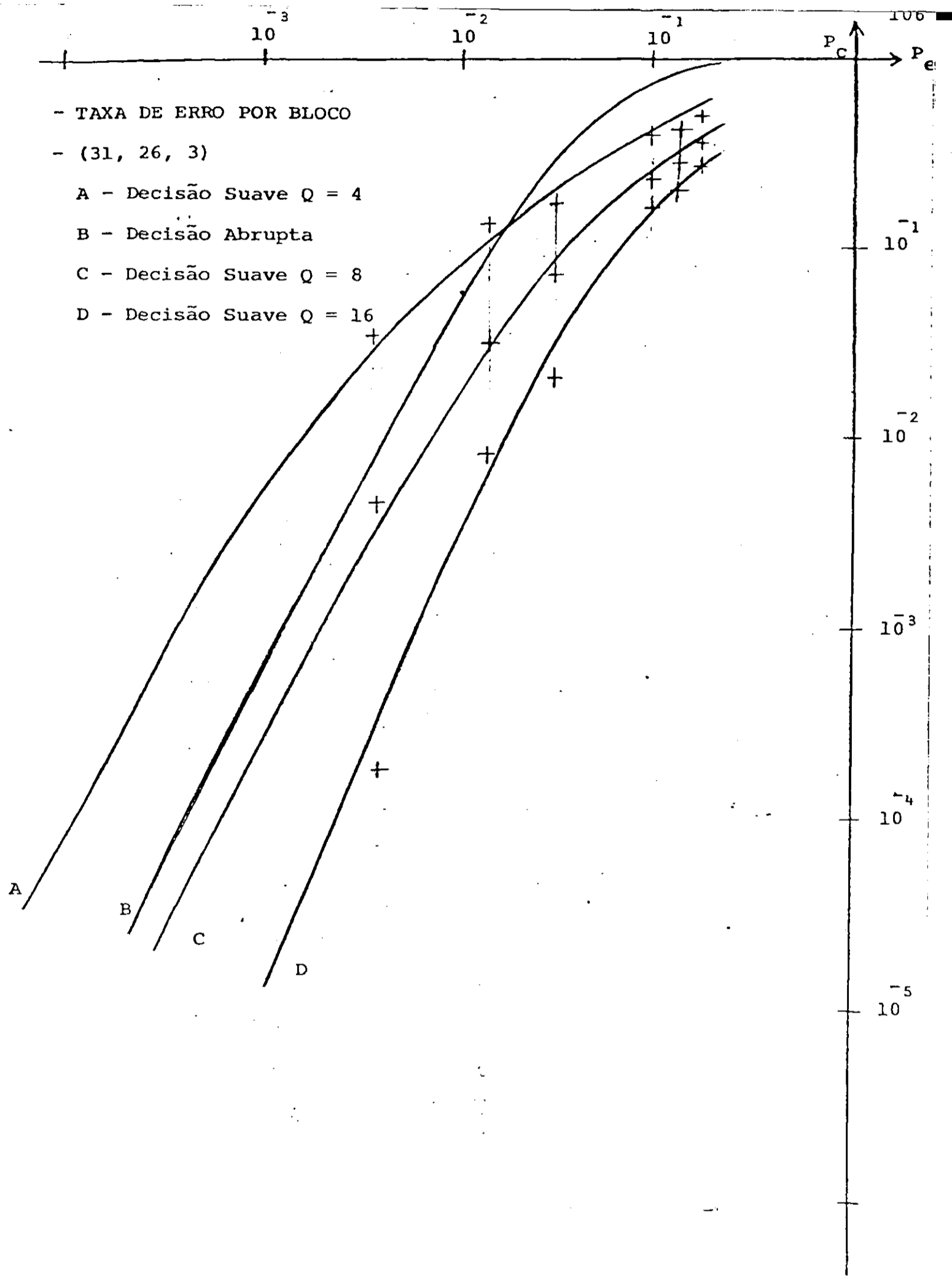


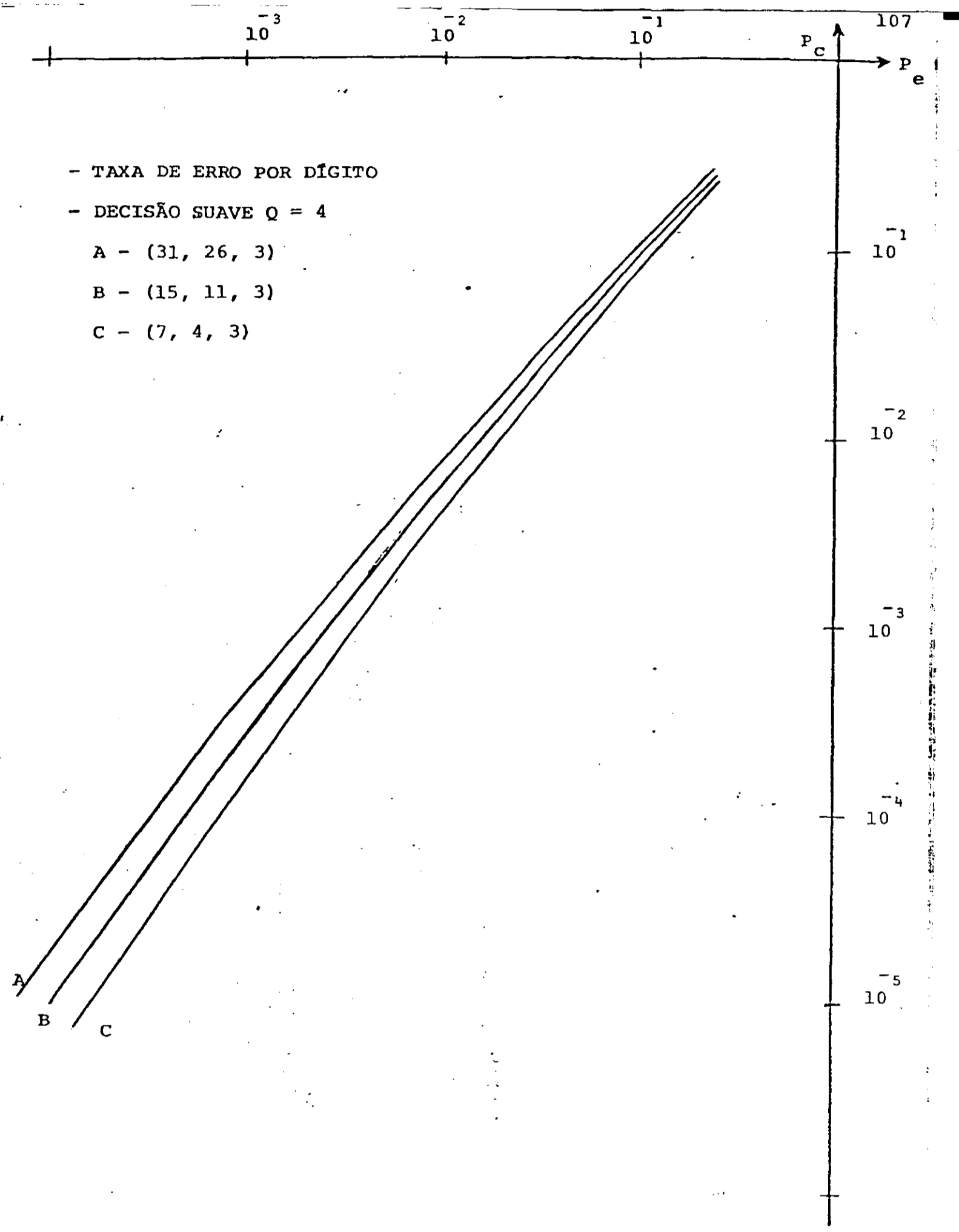


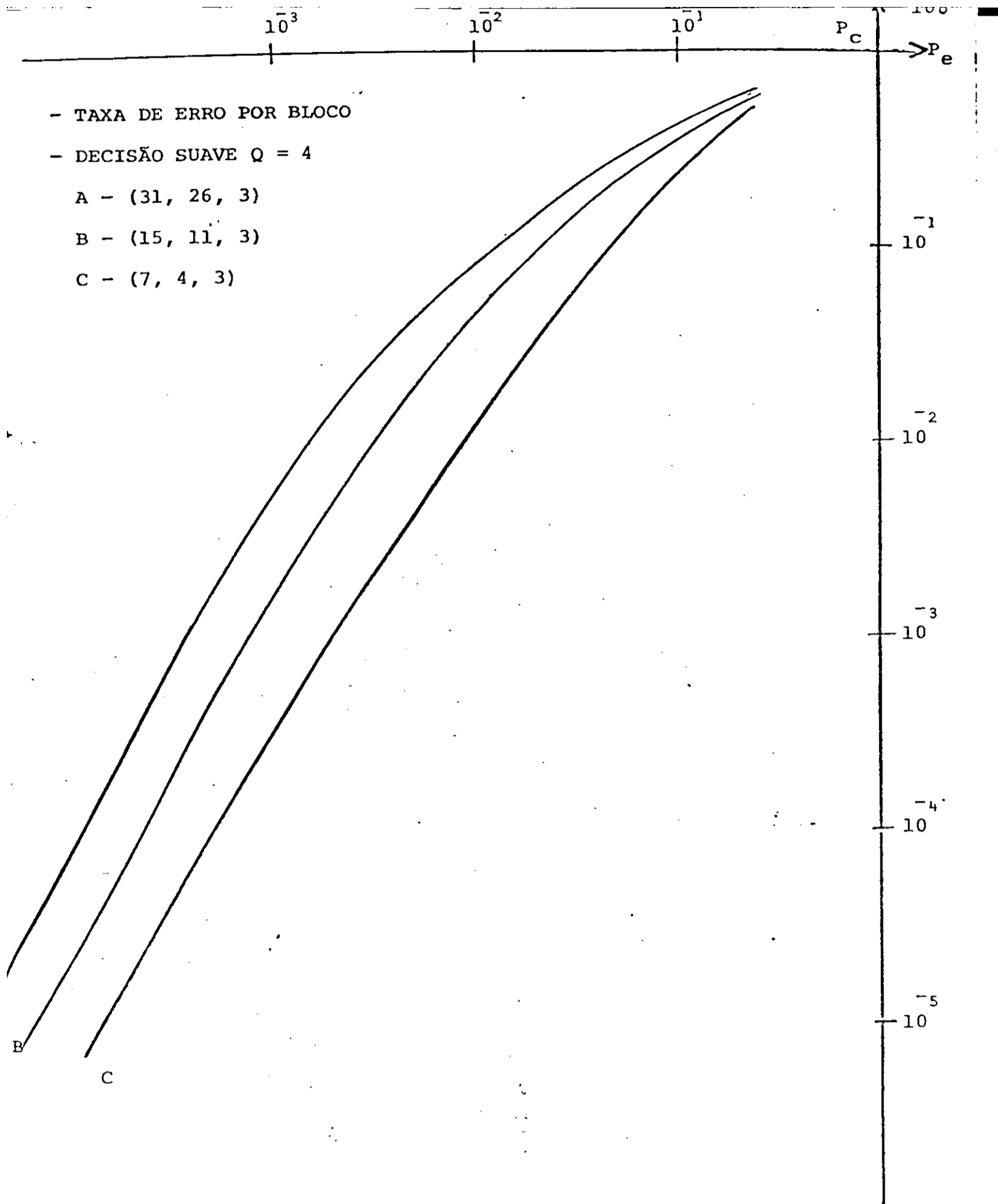


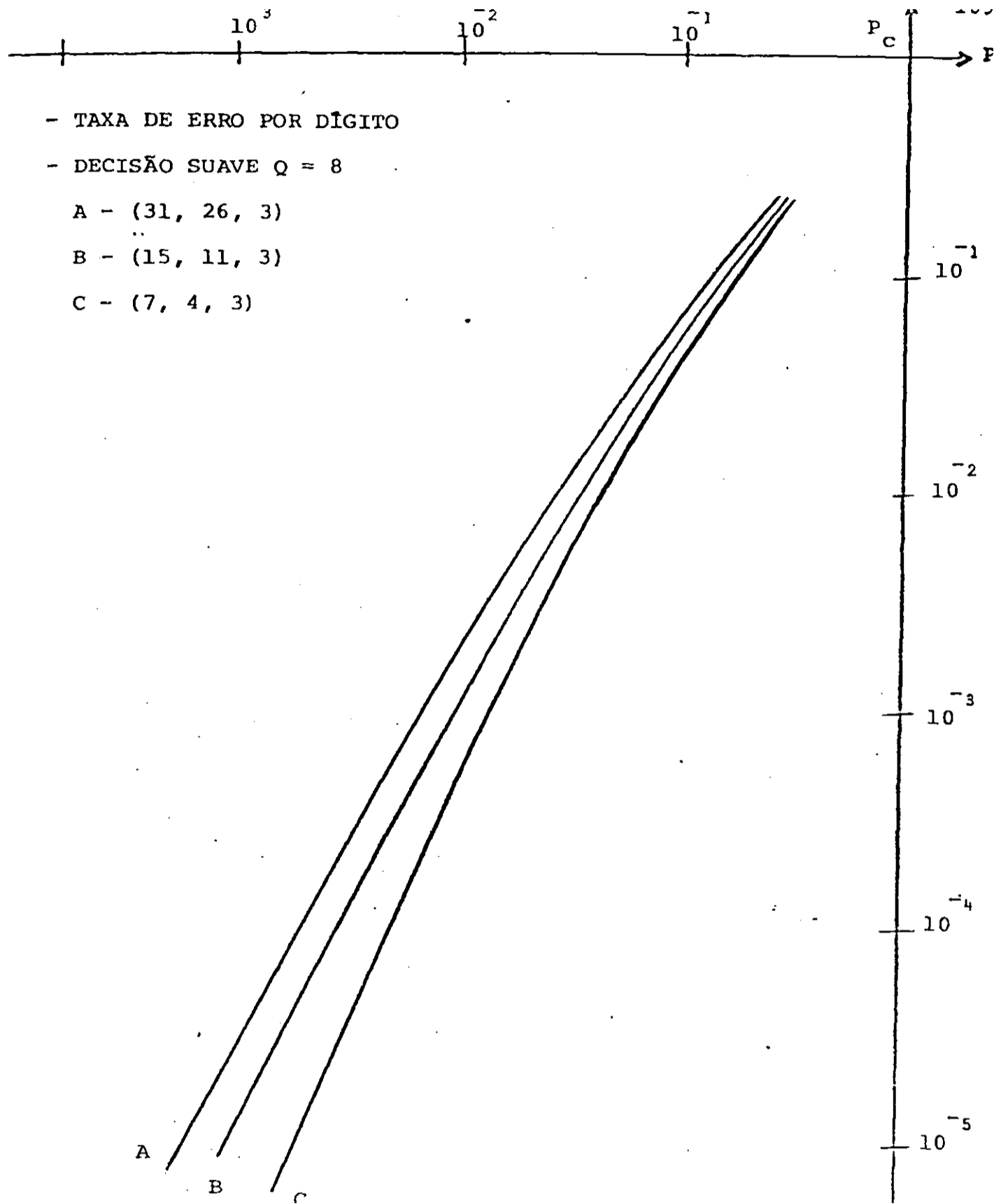


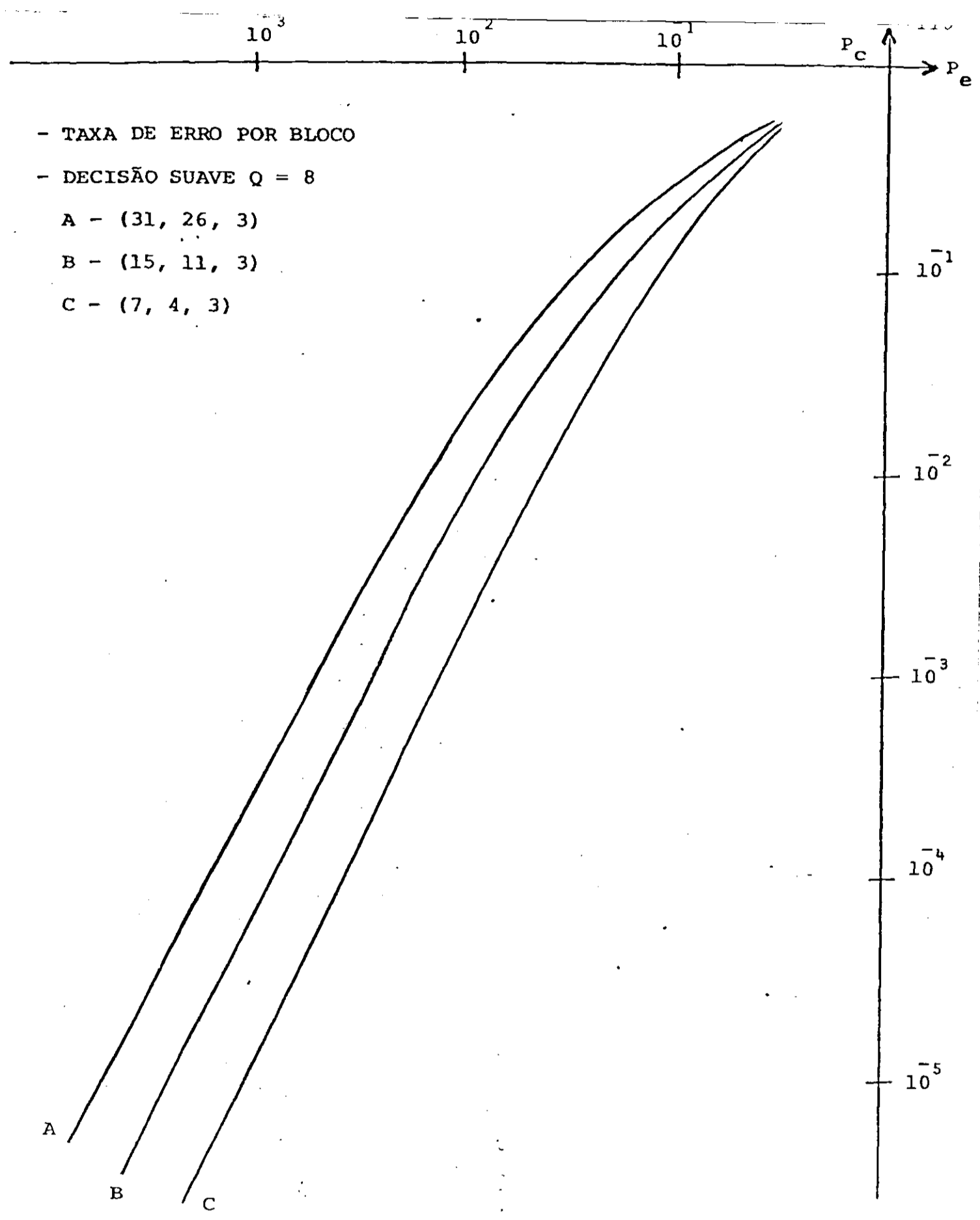


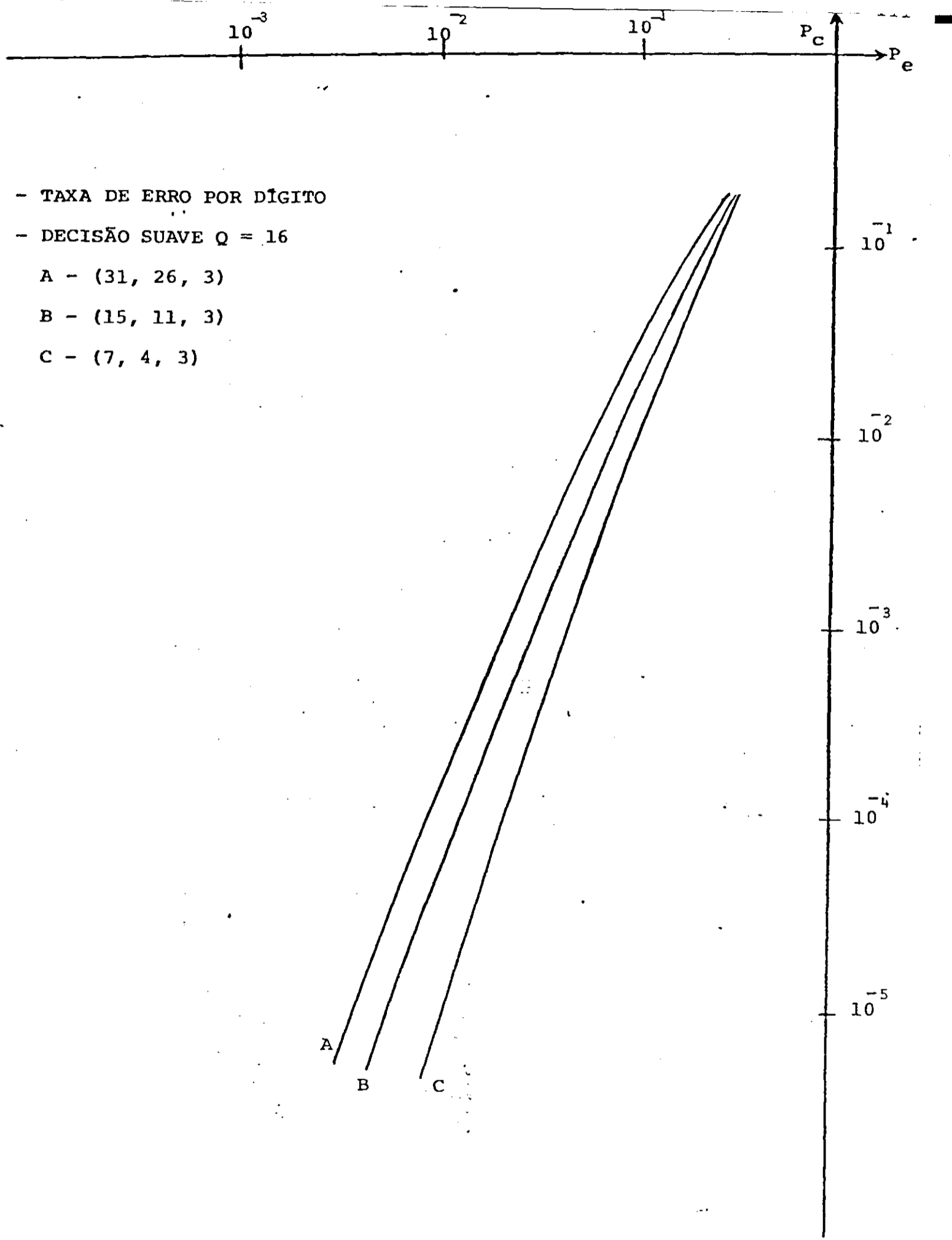


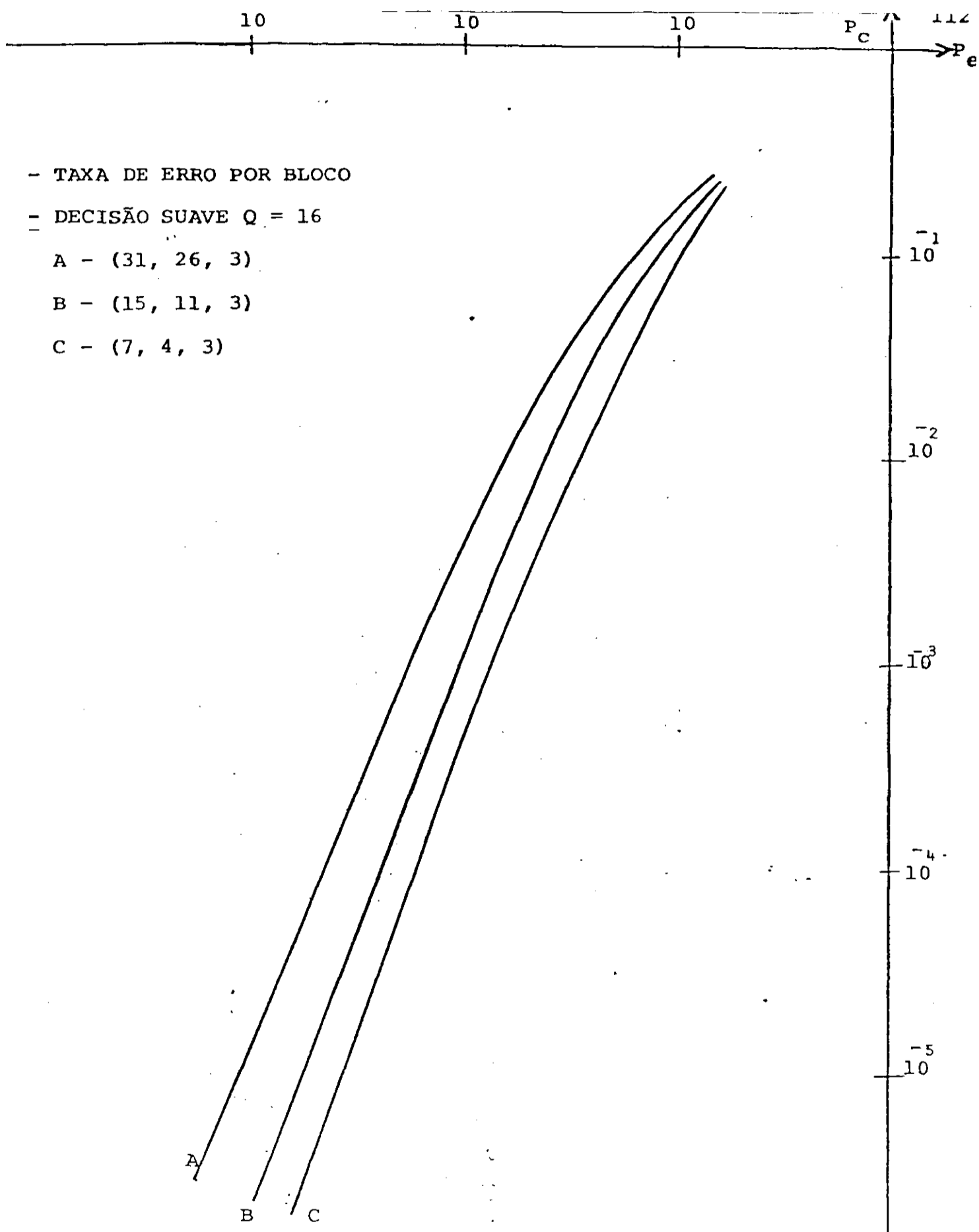












CAPÍTULO V

C O N C L U S Õ E S

Neste capítulo analisamos os resultados obtidos na simulação do algoritmo de Hartmann e Rudolph , comparando e discutindo o desempenho e a complexidade do mesmo em relação aos procedimentos que não empregam decisão suave-

5.1 - ANÁLISE DOS RESULTADOS

Os gráficos das páginas.101 a 106 apresentam as curvas de probabilidade de erro na saída do decodificador (p_e) em função da probabilidade de erro no canal (p_c) para três códigos de bloco cíclicos. Em cada gráfico, as curvas representam um mesmo código, para três valores diferentes de regiões de quantização (Q) . Para efeito de comparação, mostramos também a curva obtida pelas técnicas convencionais de decodificação de códigos cíclicos^{*} (22). Observamos que, tanto para probabilidade de erro por dígito, como para probabilidade de erro por bloco, o algoritmo de Hartmann e Rudolph apresenta um desempenho superior ao método que não emprega decisão suave, quando se usa um número de regiões de quantização superior a quatro. Esta diferença é mais pronunciada nas curvas de probabilidade de erro por dígito, uma vez que o algoritmo testado opera minimizando esta probabilidade. Quando'

Q vale quatro, o método convencional é sempre superior, uma vez que nesse caso pouca informação de confiabilidade sobre as amostras colhidas é utilizada no processo de decisão.

Os gráficos das páginas 107 a 112 apresentam as curvas de P_e em função de P_s de modo a permitir uma comparação entre códigos de diferentes comprimentos, para um mesmo valor de Q . Qualitativamente, o resultado obtido é equivalente aquele que se tem com o procedimento convencional, isto é, os códigos de menor-comprimento apresentam um desempenho melhor. Isto é verdadeiro para todos os valores de Q testados.

5.2 - COMENTÁRIOS.

A técnica de decodificação de Hartmann e Rudolph é ótima no sentido de minimizar a probabilidade de erro por dígito, para palavras código equiprováveis transmitidas através de um canal discreto sem memória, sendo aplicável a códigos lineares de bloco e convolucionais. Em relação a este critério seu desempenho é superior aos procedimentos de decodificação, que são ótimos no sentido de minimizar a probabilidade de erro por palavra, isto é, a decodificação por correlação de códigos de bloco e o algoritmo de Viterbi para códigos convolucionais. Quando se compara a probabilidade de erro por palavra, o contrário acontece⁽³⁸⁾

O principal mérito do procedimento de

Hartmann e Rudolph reside no fato de que para decodificar um código (n, k, d) , seu código dual $(n/n-k/d')$ é empregado. Isto faz com que esta seja, até agora, a única técnica conhecida viável para aplicação com códigos de alta eficiência.

A decodificação probabilística de códigos lineares tem ultimamente recebido maior ênfase na literatura sobre códigos corretores de erro, devido à viabilidade de sua implementação prática por meio de microprocessa-

(39)

dores- Massey, mostrou que um demodulador de decisão abrupta ("hard decision") pode anular grande parte do ganho que resulta da utilização de codificação de canal. Dessa forma esquemas de decisão suave, sempre que possível, devem ser empregados.

Como prosseguimento dos estudos desenvolvidos neste trabalho., sugerimos a investigação de esquemas de decisão suave que utilizem um posicionamento não uniforme das regiões de quantização, em função do tipo de ruído presente no sistema. Em relação ao algoritmo de Hartmann e Rudolph, uma extensão interessante seria a análise dos limites de desempenho do mesmo, principalmente em condições* de ruído adversas com taxas de erro próximas.: de 0,5. Sistemas deste tipo são de interesse para utilização em canais sujeitos a efeitos de multipropagação e desvanecimento seletivo, -como é o caso do canal de HF.

APÊNDICE AÁLGEBRA BÁSICA

A álgebra dos campos finitos desempenha um papel extremamente importante na construção e implementação dos sistemas controladores de erros. Códigos que obedecem a uma estrutura algébrica bem definida apresentam duas características importantes; primeiro, suas propriedades são mais facilmente estabelecidas e, segundo, sua implementação é geralmente simples e prática, em comparação com outros tipos de códigos. Um exemplo marcante deste fato são os códigos BCH.

Neste-apêndice apresentamos alguns conceitos importantes para a teoria dos códigos de grupo, no sentido de dar ao leitor a ferramenta matemática suficiente para a compreensão deste trabalho.

A . 1 GRUPOS

Os grupos tiveram a sua origem na teoria das substituições devido, em parte, aos trabalhos de Lagrange. O verdadeiro iniciador deste capítulo da álgebra, no entanto, foi o matemático francês-Evarist Galois (1812-1832). O desenvolvimento da teoria dos grupos era então condicionado por suas aplicações à teoria das equações algébricas. Mais tarde, os trabalhos de Sophus Lie (1842-1899) mostraram a importância dos-grupos em certos aspectos das equações diferenci

ais, abrindo caminho para a teoria dos chamados grupos de Lie. A ampliação, do campo de aplicação dos grupos veio se dar com os trabalhos de Felix Klein (1849-1925), que introduziu a ideia de se considerar a geometria como o estudo de propriedades invariantes por grupos de transformações determinadas. Essa idéia, introduzida em forma axiomática por Arthur Cayley (1821-1895) envolve dois aspectos: Os grupos aditivos e os grupos multiplicativos. Na verdade, os primeiros constituem, a menos da notação, um caso particular destes últimos, de forma que neste apêndice, vamos usar somente a notação referente aos grupos multiplicativos.

DEFINIÇÃO A.1.1

Um conjunto de objetos G , para os quais esta definida uma operação, que denotaremos por $*$, é um GRUPO, se satisfaz os seguintes axiomas:

1 - Para quaisquer elementos a e b e G , o elemento $a * b$ e G .

2 - Para quaisquer três elementos a , b e c e G , tem-se

$$a * (b * c) = (a * b) * c = a * b * c.$$

3 - Existe no conjunto um e só um elemento n , tal que

$$n * a = a * n = a, \quad \forall a \in G;$$

n é chamado elemento neutro (ou identidade) do grupo. No caso da adição e multiplicação usuais, temos $n = 0$ e $n = 1$, respectivamente.

4 - Todo elemento a do grupo possui um e só um inverso, que

representaremos por i^{-1} o elemento inverso é definido por $a * i^{-1} = i^{-1} * a = n$. No caso da adição e multiplicação usuais temos $i^{-1} = -a$ e $i^{-1} = a^{-1}$ respectivamente.

O grupo que, além de satisfazer os axiomas 1 a 4, satisfaz a propriedade comutativa, isto é,

$$a * b = b * a, \forall a, b \in G,$$

é chamado grupo Abelianou Comutativo. Neste apêndice lidaremos apenas com grupos Abelianos. Vejamos alguns exemplos.

EXEMPLO 1 - O conjunto dos números inteiros é um grupo Abelianou em relação à operação de adição.

EXEMPLO 2 - O conjunto das matrizes quadradas é um grupo em relação à operação de multiplicação de matrizes. Note que este grupo não é Abelianou.

EXEMPLO 3 - Dado um inteiro $p > 1$, consideremos o conjunto $G(p)$ formado pelos inteiros $0, 1, \dots, p-1$. Notemos, desde já que este conjunto não forma um grupo aditivo em relação à operação de adição usual entre inteiros, uma vez que a soma de dois de seus elementos pode ser maior que $(p-1)$. Entretanto, é possível definir uma operação em relação à qual $G(p)$ é um grupo aditivo. Assim, se a e b em $G(p)$, definimos a soma módulo p entre a e b como sendo o resto da divisão por p da adição usual $(a+b)$. Como todo resto de uma divisão por p é igual a um dos inteiros de $G(p)$, vemos que a adição módulo p verifica o primeiro axioma dos grupos aditivos. Os

três axiomas restantes podem ser facilmente verificados, de modo que o conjunto $G(p)$ juntamente com a operação adição módulo p forma um grupo aditivo, o qual também é Abelian.

Os grupos formam a estrutura mais simples na álgebra dos campos finitos. Sobre eles gostaríamos de observar ainda a existência de grupos de um ou dois elementos. No primeiro caso, este elemento deve ser o elemento neutro n , enquanto que no segundo, os membros do grupo devem ser n e a ; desde que " a " precisa ter um inverso

$$a + n = a \quad / \quad n$$

então

$$a + a = 0$$

ou

$$a = -a.$$

Assim, a tabela de adição para este grupo apresenta-se como

+	0	a
0	0	a
a	a	0

O conjunto $\{0, a\}$, juntamente com a tabela de adição acima satisfaz os axiomas 1 a 4, sendo portanto um grupo. Como a operação, definida é comutativa, isto é, $3 + 0 = 0 + 3 = a$, o grupo é Abelian.

Um grupo G pode ter um número finito ou infinito de elementos. No primeiro caso, G é chamado grupo¹ finito e o número de elementos de G é a ordem do grupo. No exemplo dado anteriormente, G é um grupo de ordem 2.

A.2 CAMPOS

DEFINIÇÃO A.2.1 - Consideremos um conjunto F de elementos, sobre os quais estão definidas duas operações: "+" (adição) e "." (multiplicação). A operação adição associa a cada par $a, b \in F$, um elemento $(a+b) \in F$ e a operação multiplicação associa a cada par de elementos $a, b \in F$, um elemento $a \cdot b \in F$. O conjunto F é um campo se e somente se as duas operações definidas acima satisfazem as seguintes propriedades:

1 - A adição é comutativa, ou seja,

$$a + b = b + a, \quad \forall a, b \in F$$

2 - A adição é associativa, ou seja,

$$a + (b+c) = (a+b) + c = a + b + c, \quad \forall a, b, c \in F$$

3 - Existe um único elemento "0" (zero) em F tal que

$$a + 0 = a, \quad \forall a \in F$$

4 - Para cada $a \in F$, existe um e só um elemento $(-a) \in F$, tal que

$$a + (-a) = 0$$

5 - A multiplicação é comutativa, isto é,

$$a \cdot b = b \cdot a, \quad \forall a, b \in F$$

6 - A multiplicação é associativa, isto é,

$$a \cdot (b \cdot c) = (a \cdot b) \cdot c = a \cdot b \cdot c, \quad \forall a, b, c \in F$$

7 - Existe um e só um elemento não nulo, denotado 1 (um), em F , tal que

$$a \cdot 1 = a, \quad \forall a \in F$$

8 - A cada $a \in F$ não nulo, corresponde um único $a^{-1} \in F$, tal que

$$a \cdot a^{-1} = 1$$

9 - A multiplicação é distributiva em relação à adição, ou seja,

$$a \cdot (b + c) = a \cdot b + a \cdot c, \quad \forall a, b, c \in F$$

Vejamos alguns exemplos.

EXEMPLO 4 - O conjunto dos números reais (ou racionais, ou complexos) é um campo em relação às operações de adição e multiplicação da álgebra comum.

EXEMPLO 5 - O conjunto $\{0, 1\}$, juntamente com as operações de

adição módulo 2 e multiplicação **módulo 2**, conforme mostra a tabela a, seguir, forma um campo de dois elementos.

+	0	1	0	1
0	0	1	0	0
1	1	0	1	1

ADIÇÃO MÓDULO 2
 MULTIPLICAÇÃO MÓDULO 2.

Este campo é chamado campo de Galois de dois elementos e é representado por $GF(2)$.

Pode ser mostrado que, para todo número p primo ou potência de um primo, existe um campo com p elementos - o conjunto de inteiros, módulo q , se q é primo, juntamente com as operações de adição e multiplicação módulo q , forma o campo de Galois de q elementos, $GF(q)$.

DEFINIÇÃO A.2.2 - Sejam F^* e F_2 dois campos e suponhamos que F^* está contido em F_2 , isto é, F^* é um subconjunto de F_2 . Então diz-se que F^* é um subcampo de F_2 .

Assim, cada um dos campos que estivemos considerando é um subcampo do campo dos números complexos. Em particular, podemos dizer que \mathbb{R} é um subcampo de \mathbb{C} , e \mathbb{Q} é um subcampo de \mathbb{R} .

A.3 ESPAÇOS VETORIAIS

DEFINIÇÃO A. 3,1 - Um conjunto V de elementos e um espaço vetorial sobre um campo F , se ele satisfaz os seguintes axiomas:

- 1 - V é um grupo Abelian em relação a operação de adição.
- 2 - Existe uma operação chamada multiplicação escalar, que $\forall a \in F$ e $\forall u \in V$ associa o elemento $au \in V$, a qual satisfaz as propriedades:
 - 2.a - $1u = u$.
 - 2.b - $(a_1 a_2)u = a_1(a_2 u)$.
 - 2.c - $a(u + v) = au + av$.
 - 2.d - $(a_1 + a_2)u = a_1 u + a_2 u$.

Os elementos dos conjuntos V e F são chamados, respectivamente, -vetores e escalares. Vejamos alguns exemplos.

EXEMPLO 6 - Consideremos o campo de Galois de dois elementos $GF(2)$ e seja V_n o conjunto de todas as n -uplas

$$(v) = (v_1, v_2, \dots, v_n)$$

de escalares $v_i \in GF(2)$, isto é,

$$v_i = 0, 1, \quad i = 1, \dots, n.$$

A soma de duas n -uplas (u) e (v)

$$|u| = (u_1, u_2, \dots, u_n)$$

$$c \cdot |u| = (cu_1, cu_2, \dots, cu_n)$$

é definida como sendo

$$(|u| + |v|) = (u_1 + v_1, u_2 + v_2, \dots, u_n + v_n)$$

onde $u_i + v_i$ representa a soma módulo 2 entre u_i e v_i . O produto de um escalar c de $GF(2)$ por uma n -upla de V é definido por

$$c \cdot |u| = (c \cdot u_1, c \cdot u_2, \dots, c \cdot u_n)$$

onde $c \cdot u_i$ representa a multiplicação módulo 2 de c por u_i .

É possível mostrar que as operações acima satisfazem os axiomas que definem um espaço vetorial sobre um campo F , de modo que o conjunto de todas as n -uplas binárias, juntamente com as operações de soma e multiplicação módulo 2, constitui um espaço vetorial sobre o campo $GF(2)$.

DEFINIÇÃO A.3.2 - Se V é um espaço vetorial sobre um campo F , então um subconjunto W de V , que é um espaço vetorial sobre F com as operações de adição de vetores e multiplicação escalar é um subespaço vetorial de V .

DEFINIÇÃO A.3.3 - Seja V um espaço vetorial sobre um campo F . Um vetor u em V é dito uma combinação linear dos K vetores

res $v_1, v_2, \dots, v_k \in V$ e $\alpha_1, \alpha_2, \dots, \alpha_k \in \text{escalar}$ em $\text{GF}(2)$ não todos nulos, tais que

$$u = \alpha_1 v_1 + \alpha_2 v_2 + \dots + \alpha_k v_k$$

$$u = \mathbf{L} \begin{pmatrix} \alpha_1 \\ \alpha_2 \\ \vdots \\ \alpha_k \end{pmatrix}$$

EXEMPLO 7 - Sejam v_1, v_2, \dots, v_n o espaço vetorial V de todas as n -uplas sobre $\text{GF}(2)$. Então o conjunto das combinações lineares do tipo

$$\alpha_1 v_1 + \alpha_2 v_2 + \dots + \alpha_n v_n$$

onde $\alpha_i = 0, 1$, é um subespaço W de V . Dizemos que W é o subespaço gerado pelos vetores v_1, \dots, v_n . Se v_1, \dots, v_n seja-se todo elemento de V_n e uma combinação linear dos v_i - então dizemos que estes vetores geram o espaço V_n sobre $\text{GF}(2)$.

EXEMPLO 8 - Consideremos a matriz H de elementos em $\text{GF}(2)$

$$H = \begin{pmatrix} 1 & 1 & 0 & 1 & 0 & 0 \\ 1 & 1 & 1 & 0 & 1 & 0 \\ 0 & 1 & 1 & 0 & 1 & 1 \end{pmatrix} = \begin{pmatrix} a \\ b \\ c \end{pmatrix}$$

O conjunto W formado por todas as combinações lineares dos vetores linhas a, b, c de A , constitui um subespaço do espa-

ço vetorial de todas as setuplas. Este subespaço é chamado o espaço-linha de H .

DEFINIÇÃO A. 3.4 - Seja V um espaço vetorial sobre um campo F . Um subconjunto S de V é dito linearmente dependente se existem vetores v_1, v_2, \dots, v_n em S e escalares $c_1, c_2, \dots, c_n \in F$ não todos nulos, tais que

$$c_1 v_1 + c_2 v_2 + \dots + c_n v_n = 0$$

Em caso contrario, S é dito linearmente independente.

DEFINIÇÃO A. 3.5 - Uma base de um espaço vetorial V é um conjunto de Vetores-linearmente independentes em V que gera V . O numero de elementos de uma base de V é chamado a dimensão de V .

EXEMPLO 9 - Consideremos os vetores $(n$ -uplas binarias) linearmente independentes v_1, v_2, v_3

$$Cv_1) = (1 \ 0 \ 0 \ 1 \ 0 \ 1 \ 1)$$

$$[v_2) = [0 \ 1 \ 0 \ 1 \ 1 \ 0 \ 1]$$

$$Cv_3) = [0 \ 0 \ 1 \ 0 \ 1 \ 1 \ 1)$$

O conjunto formado por todas as combinações lineares de v_1, v_2, v_3 é um subespaço do espaço vetorial das setuplas. Os elementos v_1, v_2, v_3 constituem uma base para este subespaço, o qual tem dimensão 3.

DEFINIÇÃO A. 3.6 - Seja V um espaço vetorial sobre o campo F . Um produto escalar sobre V é uma regra que a cada par u, v de elementos de V associa um escalar em F , indicado por (u, v) . Para u e v do tipo

$$u = (u_1, u_2, \dots, u_n) \\ v = (v_1, v_2, \dots, v_n)$$

o produto escalar é calculado por

$$(u, v) = u_1 v_1 + u_2 v_2 + \dots + u_n v_n$$

Se

$$(u, v) = 0$$

então dizemos que as n -uplas u e v são ortogonais.

Costuma-se representar por C^\perp o conjunto de todos os elementos $E \in V$ que são ortogonais a um subconjunto C de V . Pode-se mostrar que C^\perp é um subespaço de V , denominado o espaço ortogonal a C , e que os elementos de C^\perp são ortogonais a todas as combinações lineares dos elementos de C .

APÊNDICE BPROGRAMA PE COMPUTADOR

```

C  DECODIFICAÇÃO DE CÓDIGOS LINEARES
C  ALGORITMO DE HARTMANN E RUDOLPH
      IMPLICIT REAL*4      (A-H, O-Z)
      INTEGER BIT, W, SM2
      DIMENSION O(8,7), FF(8,7), T(7), R0(7), BEST(7), Y1{7)'
      DATA D/O., 1., 0., 1., 0., 1., 0., 1., '0., 2*1., 2*0., 2*1.,
2 2*0., 2*1., 0., 1., 2*0., 1., 2*0., 4*1., 3*0., 1., 0., 2*1.,
2 0., 1., 3*0., 2*1., 2*0., 2*1., 4*0., 4*1./
      NC = 7
      KC = 4
      W = 8
      SQ2 = SQRT(2.)
      IX = 1
      IW = 9
      A = 10
      DO 50 NJ = 2,4'
      NQ -= 2.**NJ
      DO 45 N = 3,19,4
      SNR = FLOAT ( N - 1 )
      Z = 10.**(SNR/20)
      SIGMA = A/Z
      TBE = 0.
      TPE = 0.
      BIT = 10 ** 6

```

```

      B I = Z * CK + 11 / CNQ * .SQ21
      B2 = Z * K / CNQ * .SQ2]
      PO = 0-5 * CERFCB1) - ERPCB2H
      GO TO 7
6     B = Z / CNQ * SQ2)
      P1 = 0.5 * .11. + ERFÇB) ]
      B = Z * CNQ - 1) / CNQ * SQ2)
      PO = 0.5 * CERFC(B) )
7     T ( I ) = P1 / PO                RAZÃO DE SEMELHANÇA
      RO(I) = CL - T(I) ) / C1. + TU) )
10    CONTINUE
      IF (M.EQ.NC) GO TO 40
      SP = 0.                          ALGORITMO DE. HARTMANN E RUDOLPH
      DO 35 I = 1 , NC
      DO 25 J = 1 , W
      PROD = 1
      DO 20 L = 1 , NC
      DELTIL = 1
      IF ( I - L ) 11 , 12 , 11
11    DELTIL = 0      '
12    CONTINUE
      SM2 ~ 1
      IF (D(J,L)-DELTIL) 17, 15, 17
15    SM2 = 0
17    CONTINUE          "**
      FF (J,L]=RO(L)   ** SM2
20    PROD = PROD * FF(J,L)
25    SP = PROD + SP
      BEST CD = 0.

```

```

DO 40 KDIG = 1, BIT, 7
BLOCO = 0.
M = 0
DO 10 I = 1, NC
CALL RANDU ( IX, IY, YFL)  GERAÇÃO DE RUÍDO GAUSSIANO
IX = IY
VI = 2*YFL - 1
CALL RANDU ( IW, IZ, ZFL)
IW = IZ
V2 = 2*ZFL - 1
S = V1**2 + V2**2
IF (S - 1)57, 55, 55
V = V1*SQRT (-2*ALOG(S)/S)
Y = SIGMA * V
Y1(I) = Y
K = 0
K = K + 1
IF ( ( Y - A*K/NQ ). GT. 0. ) GO TO 2  REGIÕES DE QUANTIZAÇÃO
IF ( ( K - 1 ). GT. 0.) GO TO 4
B = Z * (NQ - 1) / (NQ * SQ2)
P1 = 0.5 * ERFC(B)
B = Z/CNQ * SQ2)
PO = 0.5 * ( 1. + ERFCB) )
M = M + K      .;
GO TO 7
IF ( (K - NQ + 1) . GT. 0. ) GO TO 6
B1 = 7 * (NQ - K) / (NQ * SQ2)
B2 = Z * (NQ - K - 1) / (NQ * SQ2)
P1 = 0.5 * (ERF(B1) - ERF(B2))J

```



```
IF ((SP). GT; 0.) GO TO 29
BEST(I) = 1. " '
29 CONTINUE
TBE = TBE + BEST ( I )
BIOCO = BLOCO + BEST(I)
35 CONTINUE
PEST = 0 .
IF (BLOCO) 38 , 38 , 36
36 PEST = 1. *
38 CONTINUE
TPE = TPE + PEST
40 CONTINUE
PEB = TBE/BIT
PEP = TPE * NC / BIT . .
WRITE ( 6 , 499 ) NQ , SNR , TBE , PEB , TPE , PEP
499 FORMAT ( ' 0 ' , 4X , *NQ = 14 , 4X , 'SNR = ' , E14.8 , 4X ,
2 'TBE = ' , E14.8 , 4X , 'PEB = ' , E14.8 , 4X , 'TPE = ' , E14.8 , 4X
2 'PEP = ' , E14.8 )
45 CONTINUE
50 CONTINUE
STOP
END
```

R E F E R E N C I A S

- 1 - H.NYQUIST, "Certain Factors Affecting Telegraph Speed", Bell System Technical Journal (B.S.,T.J) , 3, N9 2, abril, 1924.
- 2 - N.WIENER, "The Extrapolation, Interpolation, and Smoothing of Stationary Time Series with Engineering Applications", Wiley, N.Y., 1949 (o trabalho original surgiu como um relatório do MIT Radiation Laboratory, em 1942).
- 3 - CLAUDE E.SHANNON e W.WEAVER, "The Mathematical Theory of Communication", Universidade de Illinois, Urbana, 1949.
- 4 - Bell Telephone Laboratories, "Transmission Systems for Communications", 4- ed. Western Electric, North Carolina, 1971.
- 5 - W. R. BENNETT e J.R.DAVEY, "Data Transmisson" , Mc Graw-Hill, New York, 1965.
- 6 - ROBERT G.GALLAGER, "Information Theory and Reliable Communication", John Wiley New York, 1968.
- 7 - N.ABRAMSON, "Information Theory and Coding", Mc Graw-Hill, New York, 1963.

- 8 - F-M.REZA, "An Introduction to Information Theory", Mc Graw-Hill, New York, 1961.
- 9 - B.GOLDBERG, "Communications Channels: Characterization and Behavior", IEEE Press, New York, 1976.
- 10- J.L.MASSEY, "Threshold Decoding", The MIT Press, Cambridge, Massachusetts, 1963.
- 11- E.R.BERLEKAMP, "Algebraic Coding Theory", Mc Graw-Hill, New York, 1968.
- 12- J.M.WOZENCRAFT e B.REIFFEN, "Sequential Decoding", The Technology Press e John Wiley, New York, 1961.
- 13- A.J.VITERBI, "Error bounds for convolutional codes and an asymptotically optimum decoding algorithm", IEEE Trans. Info. Th., vol IT-13, abril 1967.
- 14- R.H.HAMMING, "Error Detecting and Error Correcting Codes", B.S.T.J., 29, Abril, 1950.
- 15- R.C.BOSE e D.K.RAY-CHAUDHURI, "On a Class of Error Correcting Binary Group Codes", Information and Control, 3, 1960.
- 16- A.HOCQUENGHEM, "Codes Correcteurs d'erreurs", Chiffres, 2, 1959.

- 17 - P.ELIAS, "Coding for Noisy Channels", IRE Convention Record, Parte 4, 1955.
- 18 - W.W.PETERSON e E.J.WELDON Jr., "Error-Correcting Codes", The Mit Press, 2- ed., Massachusetts, 1972.
- 19 - K.HOFFMAN e R.KUNZE, "Linear Algebra", Prentice-Hall, New Jersey, 1961.
- 20 - P.G.FARREL, "A survey of Error-Control Codes", The University of Kent Press, Canterbury, 1977.
- 21 - E.PRANGE, "Cyclic Error-Correcting Codes in two Symbols" , AFCRC-TN-57, 103, Massachusetts, 1957.
- 22 - V.C.ROCHA Jr., "Versatile Error-Control Coding Systems" , Ph.D.Thesis, University of Kent at Canterbury, 1976.
- 23 - S.LIN, "An Introduction to Error-Correcting Codes", Prentice-Hall, New Jersey, 1970.
- 24 - J.E.MEGGITT, "Error Correcting Codes for Correcting bursts of Errors", IBM JOURNAL OF RESEARCH AND DEVELOPMENT, 4, julho, 1960.
- 25 - L.D.RUDOLPH, "A Class of Majority Logic Decodable Codes" , IEEE Trans. Info. Th., Vol. IT-13, abril 1967.

- 26- L..D.RUDOLPH e M.E-MITCHELL, "Implementation **of**, Decoders for Cyclic Codes", XEEE Trans. Info. Th., Vol. IT-10, Julho, 1964.
- 27- W.W.PETERSON, "Encoding and Error-Correction Procedures for the Bose-Chaudhuri Codes", IRE Trans. Info. Th., Vol. IT-16, setembro, 1960.
- 28- R.T.CHIEN , "Cyclic Decoding Procedure for the Bose-Chaudhuri-Hocquenghem Codes",. IEEE Trans. Info. Th. , Vol. IT-10, outubro/ 1969.
- 29- E.R.BERLEKAMP, "On Decoding Binary Bose-Chaudhuri-Hocquenghem Codes", IEEE Trans. Info. Th. , Vol. IT-11, outubro 1965.
- 30- J.L.MASSEY, "Step-by-Step Decoding of the Bose-Chaudhuri-Hocquenghem Codes", IEEE Trans. Info. Th., Vol. IT-11, outubro, 1965.
- 31- J.M.WOZENCRAFT e I-M.JACOBS, "Principles of Communication Engineering", John Wiley, 1965.
- 32- J.H.VAN LINT, "Nonexistence Theorems for Perfect Error-Correcting Codes", Computers in Algebra and Number Theory, SIAM AMS Proc./Vol. 45, 1970..
- 33- N.KALLIGEROS, "Soft-Decision Error-Correction", M.Sc. Dissertation, University of Kent at Canterbury, -England, 1977.

- 34-M.SCHWARTZ, "Information Transmission, Modulation, and Noise"., Mc Graw-Kill, New York, 1970.
- 35-C.N.HARRISON, "Application of Soft Decision Techniques to Block Codes", Proc. IERE Conference on Digital Processing of Signals in Communications, Loughborough, England, N9 37, 1977.
- 36-P.G. FARREL, E.MUNDAY e N.KALLIGEROS, "Digital Communications Using Soft Decision Detection Techniques", University of Kent at Canterbury, England, 1978.
- 37- F.J.BLOOM et al, "Improvement of Binary Transmission by Null-Zone Reception", Proc. IRE, Vol. 45, 1957.
- 38- C.R.P.HARTMANN e L.D.RUDOLPH, "An Optimum Symbol-by-Symbol Decoding Rule for Linear Codes", IEEE Trans.Info.Th., Vol. IT-22, Settembre 1976.
- 39-J.L.MASSEY, "Coding and Modulation in Digital Communications", Proc. Zurich Int. Seminar on Digital Communications, 1974.
- 40- C.B.BOYER, "A History of Mathematics", John Wiley, New York, 1968.